

Regione Piemonte

Provincia di Torino



COMUNITA' MONTANA DEL PINEROLESE

PIANO REGOLATORE GENERALE INTERCOMUNALE

*VARIANTE STRUTTURALE DI ADEGUAMENTO AL P.A.I.
redatta ai sensi della L.R. 1/2007*

SUB AREA: CENTRO VAL CHISONE

COMUNE: PEROSA ARGENTINA

RESPONSABILE DEL PROCEDIMENTO

COMMITTENTE

RELAZIONE IDRAULICA

| | | |
|-------------------------|-------|---|
| Elaborato | Scala | <i>Elaborazione indagini idrauliche (maggio 2012):</i> |
| 2.22 | — | <i>Elaborazione integrazioni geomorfologiche e idrauliche (Rif. Prot. Reg. n. 48497 del 12-07-2013) (febbraio 2014):</i> |
| CODICE: 13009-C206-0 | | <i>EDes Ingegneri Associati</i> <i>Dott. Ing. Bartolomeo VISCONTI</i> |
| REVISIONE | DATA | <i>Dott. Ing. Luca GATTIGLIA</i> |
| | | <i>Collaborazione:</i> <i>Dott. Geol. Sara CASTAGNA</i> |
| | |  |
| | | EDes Ingegneri Associati P.IVA 10759750010 Corso Peschiera 191, 10141 Torino Tel. +39 011.0262900 Fax. +39 011.0262902 www.edesconsulting.eu edes@edesconsulting.eu |

REGIONE PIEMONTE

PROVINCIA DI TORINO

COMUNITA' MONTANA
VALLI CHISONE GERMANASCA PELLICE
PINEROLESE PEDEMONTANO

VERIFICHE DI COMPATIBILITA' IDRAULICA DA EFFETTUARSI
AI SENSI DELL'ART. 18 COMMA 2 DELLA DELIBERAZIONE N.
1/99 DELL'AUTORITA' DI BACINO PER I COMUNI INSERITI
NELLE CLASSI DI RISCHIO R2 E R3

CENTRO VAL CHISONE

COMUNE DI PEROSA ARGENTINA
RELAZIONE IDRAULICA

Indice:

| | | |
|---------|--|----|
| 1 | PREMESSA..... | 3 |
| 2 | METODOLOGIA DI STUDIO..... | 3 |
| 3 | STUDIO IDROLOGICO | 4 |
| 3.1 | INQUADRAMENTO GENERALE DELLE AREE OGGETTO DI STUDIO..... | 4 |
| 3.2 | METODOLOGIA E CRITERI D'ELABORAZIONE | 4 |
| 3.3 | DETERMINAZIONE DELLA PORTATA DI MASSIMA PIENA..... | 5 |
| 3.3.1 | METODO RAZIONALE | 5 |
| 3.3.1.1 | DEFINIZIONE DEI VALORI DI PORTATA CON IL METODO RAZIONALE | 8 |
| 3.3.2 | MODELLO AFFLUSSI – DEFLUSSI | 10 |
| 3.3.2.1 | LA SCELTA DELLE PRECIPITAZIONI DI RIFERIMENTO | 11 |
| 3.3.2.2 | LA DEFINIZIONE DEI SOTTOBACINI E DEI LORO PARAMETRI. | 12 |
| 3.3.2.3 | LA VALUTAZIONE DELLA SOTTRAZIONE PER INFILTRAZIONE | 13 |
| 3.3.2.4 | DESCRIZIONE DEL MODELLO DI CALCOLO | 16 |
| 3.3.2.5 | PORTATE DEL MODELLO AFFLUSSI DEFLUSSI..... | 18 |
| 3.3.3 | ADOZIONE DEI VALORI DI PORTATA PER LE SUCCESSIVE VERIFICHE..... | 20 |
| 4 | STUDIO IDRAULICO..... | 21 |
| 4.1 | L'ASSETTO GEOMETRICO DELL'ALVEO E CARATTERE GENERALE DEI CORSI D'ACQUA . | 21 |
| 4.2 | METODO DI CALCOLO IN MOTO PERMANENTE | 23 |
| 4.3 | LE CONDIZIONI AL CONTORNO | 23 |
| 4.4 | COEFFICIENTE DI SCABREZZA | 23 |
| 4.5 | VALUTAZIONE DEL TRASPORTO SOLIDO POTENZIALE..... | 24 |
| 4.6 | LE VERIFICHE IN MOTO UNIFORME | 24 |
| 5 | ANALISI DEGLI INVASI..... | 25 |
| 6 | ANALISI DEI RISULTATI | 26 |
| 6.1 | TORRENTE CHISONE | 27 |
| 6.2 | RETE MINORE | 28 |
| 6.2.1 | RIO DI SELVAGGIO..... | 28 |
| 6.2.2 | IMPLUVIO DI LEGEARD | 28 |

| | | |
|--------|---|----|
| 6.2.3 | <i>RIO DI JARTOUSIERE</i> | 28 |
| 6.2.4 | <i>IMPLUVIO A JARTOUSIERE (B PAR 11)</i> | 28 |
| 6.2.5 | <i>RII DI BRANDONEUGNA (B PAR 09 - 10)</i> | 28 |
| 6.2.6 | <i>RIO AGREVO</i> | 29 |
| 6.2.7 | <i>IMPLUVI TRA RIO AGREVO E COMBA CIAMPIANO (B PAR 04.1 – 04.2)</i> | 29 |
| 6.2.8 | <i>COMBA CIAMPIANO</i> | 29 |
| 6.2.9 | <i>ABITATO DI PEROSA ARGENTINA</i> | 29 |
| 6.2.10 | <i>RIO AD OVEST DELLA FRAZ. CASTELNUOVO (BPAR 01)</i> | 29 |
| 6.3 | <i>TABELLE RIASSUNTIVE DEI FRANCHI IDRAULICI</i> | 29 |

1 PREMESSA

Il presente studio ha per oggetto la verifica di compatibilità idraulica e idrogeologica delle previsioni degli strumenti urbanistici in vigore con le condizioni di dissesto presenti o potenziali rilevate nella cartografia di Piano Stralcio per l'Assetto Idrogeologico (PAI) – Legge 10 maggio 1999, n° 183, art. 17 comma 6 ter), relativamente alle aste dei rii nella porzione urbanizzata del territorio del Comune di Perosa Argentina .

Lo scopo dello studio è fornire all'Amministrazione un quadro delle condizioni di pericolosità idraulica ed idrogeologica delle aree limitrofe alle aste in esame, al fine di verificare e dove possibile definire in maggiore dettaglio le condizioni di criticità individuate nel PAI; infatti le cartografie allegata al citato Piano riportano una indicazione simbolica di pericolosità connessa con le aree oggetto di studio, senza definire in dettaglio, data la scala di restituzione del Piano stesso (1:25.000), una perimetrazione delle aree direttamente interessate dai fenomeni di dissesto.

Allegata al presente studio viene pertanto fornita una cartografia in scala 1:5.000 con l'individuazione delle aree esondabili e dei punti critici dal punto di vista idraulico, redatta sulla base delle risultanze degli studi idrologici ed idraulici e delle verifiche di dettaglio in sito utilizzando la medesima simbologia del PAI. In Particolare metodologia di lavoro, grafie e codici fanno riferimento a quanto indicato negli indirizzi per l'attuazione del PAI nel settore urbanistico DGR del 15/7/2002 n°45-6656 e relativi allegati.

2 METODOLOGIA DI STUDIO

Lo studio è stato condotto secondo la seguente metodologia:

- Acquisizione dei rilievi topografici a terra: Sono state rilevate o acquisite sezioni trasversali nell'area in esame per quanto riguarda il reticolo di deflusso presente nel territorio comunale ed oggetto del presente studio. In particolare i rilievi hanno interessato l'asta del Torrente Chisone puntualmente in quei siti ove il Torrente interferisce con i manufatti di attraversamento o presenta evidenti criticità. Sono state inoltre rilevate le aste dei principali rii di versante e del reticolo minore in considerazione delle priorità legate alla definizione del rischio. In particolare nel rilievo delle problematiche esistenti sul territorio si sono tenuti in conto l'importanza dal punto di vista urbanistico, la gravità del dissesto, l'importanza idrologica delle superfici drenate. Per quanto riguarda l'ubicazione delle sezioni rilevate, indicata nella tavola grafica 3, è stata effettuata in modo da garantire l'acquisizione dei dati geometrici necessari alla modellizzazione idraulica dei fenomeni; in particolare per il comune di Perosa Argentina appaiono importanti i rilievi delle sezioni apicali dei conoidi urbanizzati in particolare del Rio Agrevo e della Comba Ciampiano. sono stati infine rilevati tutti i manufatti di attraversamento esistenti lungo le aste esaminate per censire in dettaglio l'iterazione dei deflussi con la rete viaria presente sul territorio.
- Studio idrologico dei torrenti e dell'asta dei corsi d'acqua in esame, al fine di determinare i valori delle portate al colmo, con riferimento ai valori corrispondenti a tempi di ritorno 100, 200 e 500 anni.
- Studio idraulico dei rii esteso ai tratti rilevati, oppure localizzato al manufatto. E' stato realizzato mediante il codice HEC-RAS che consente il calcolo del profilo idraulico in

moto permanente e la determinazione dei livelli idrometrici nelle diverse ipotesi di calcolo oltre che valutazioni relative al trasporto solido. Per la verifica puntuale di alcuni manufatti ove non sia presente la necessità di descrivere la geometria in maniera più approfondita si sono utilizzate delle formulazioni di moto uniforme.

- Lo studio idraulico dell'asta del Torrente Chisone e dei rii laterali ha inoltre tenuto conto della base conoscitiva fornita dal "Piano di Bacino del Torrente Chisone", redatto su incarico della Comunità Montana Valli Chisone e Germanasca su finanziamento della Provincia di Torino.
- Perimetrazione (ove possibile) delle aree esondabili e definizione delle criticità puntuali sulla base dei risultati numerici del modello Hec Ras, delle verifiche di moto uniforme effettuate, di considerazioni morfologiche e della valutazioni relative al trasporto solido.
- Individuazione delle aree a maggior pericolosità, sulla base dei risultati numerici delle verifiche effettuate, di considerazioni morfologiche e della valutazioni effettuate in seguito a verifiche di dettaglio in loco delle situazioni a maggior criticità.
- Classificazione dei dissesti ai sensi del DGR 15/7/2002 n°45-6656.

3 STUDIO IDROLOGICO

3.1 INQUADRAMENTO GENERALE DELLE AREE OGGETTO DI STUDIO

L'area in esame oggetto di studio è drenata dall'asta principale del torrente Chisone, nel tratto in esame il reticolo minore risulta costituito per lo più dai rii di versante che non presentano un proprio apparato vallivo. Da tale classificazione sono da escludersi il rio di Brandoneugna, il rio Agrevo, la Comba Ciampiano. Tali rii risultano di maggiore importanza e sottendono infatti superfici maggiori. risultano tutti affluenti di Chisone ed in particolare la comba Ciampiano presenta nella parte terminale un evidente conoide antropizzato dall'abitato omonimo; Il rio Agrevo presenta apparato di conoide meno antropizzato ma non privo di importanza. I restanti rii presenti sono certamente di minore rilevanza e sono stati classificati e studiati principalmente per la loro iterazione con la rete viaria. In totale i sottobacini studiati risultano 14. i manufatti classificati e studiati risultano invece 28.

3.2 METODOLOGIA E CRITERI D'ELABORAZIONE

La determinazione della portata di massima piena di un corso d'acqua in una assegnata sezione richiede di conoscere l'esatto bilancio idrologico del bacino imbrifero sotteso, tenendo conto di un periodo di tempo generalmente molto breve (alcune ore o al massimo pochi giorni) e di una serie di condizioni iniziali ed al contorno numerose e talvolta di difficile determinazione.

Tale bilancio dovrebbe essere valutato per tutti i fenomeni di piena prevedibili, nell'ipotesi di conoscere a priori la distribuzione e l'intensità dei deflussi.

Date le difficoltà intrinseche ad effettuare un rigoroso bilancio idrologico sono state definite da tempo delle metodologie sufficientemente attendibili per determinare dei valori di portata di riferimento utili per i dimensionamenti idraulici delle opere o le verifiche da effettuare.

In sostanza, la mancanza d'osservazioni dirette di portata nel bacino considerato rende indispensabile il ricorso a metodi indiretti per la valutazione delle portate di progetto. I metodi d'uso corrente sono riconducibili a tre gruppi:

formule «regionali» che permettono di calcolare la portata per regressione utilizzando parametri morfometrici e climatici;

metodi deterministici che individuano la portata in funzione della precipitazione d'assegnata durata e probabilità (per esempio, il metodo razionale);

modelli concettuali «afflussi-deflussi» per la determinazione dell'idrogramma conseguente ad assegnate precipitazioni in funzione di parametri morfometrici del bacino, di dati sulla copertura vegetale e sulle caratteristiche del suolo.

Nel seguito si è fatto riferimento ai secondi due metodi indicati, poiché consentono valutazioni più accurate, consone con gli scopi del presente studio; il primo metodo infatti consente, tramite l'utilizzo di formule empiriche o derivate da correlazioni, comunque piuttosto semplificate, di stimare il valore di portata in una data sezione di chiusura a partire da pochi parametri, e risultano attendibili per valutazioni di massima, sia pur piuttosto grezze.

Lo scopo finale dell'indagine idrologica prevede di fornire portate d'assegnata probabilità alla sezione di chiusura dei sottobacini.

Pertanto la metodologia adottata per la valutazione della portata di massima piena nelle sezioni in esame prevede l'elaborazione dei dati disponibili mediante l'impiego di metodi concettualmente diversi tra loro. Tale scelta è dettata dal fine di stimare il valore di massima piena dal confronto critico dei risultati ottenuti.

3.3 DETERMINAZIONE DELLA PORTATA DI MASSIMA PIENA

Per la determinazione delle portate di massima piena, come detto, si sono utilizzati alcuni diversi metodi di calcolo e successivamente si è operata la scelta in base al raffronto critico dei risultati ottenuti.

I metodi presi in considerazione nel presente studio sono i seguenti:

Elaborazioni di tipo deterministico effettuate secondo il metodo razionale a partire dalle curve di possibilità pluviometrica proposte dal Piano Stralcio per L'Assetto Idrogeologico (PAI) – Indirizzi per l'attuazione del PAI nel settore urbanistico- ALLEGATO 1 Direttiva sulla piena di progetto da assumere per la progettazione e le verifiche di compatibilità idraulica. (Regione Piemonte 2002)

Modello fisico afflussi/deflussi Hec Hms (Hydrologic Engineering Center – U.S. Army Corp).

Ancora prima di entrare nei dettagli di ogni singolo metodo occorre precisare che i tempi di ritorno scelti sono 100, 200 e 500 anni.

Sono stati considerati questi tre valori poiché al primo fanno riferimento un gran numero di formulazioni empiriche nonché la tabella 7.16 del PS45 redatto dall'Autorità di Bacino come valore di portata di riferimento per valutare la non interferenza o la messa in sicurezza delle infrastrutture primarie; il secondo è il valore di riferimento per il tracciamento della fascia B utilizzato nel Piano Stralcio Fasce Fluviali, redatto dall'Autorità di Bacino stessa, e indicato quale valore di calcolo per la verifica e la messa in sicurezza di centri abitati e infrastrutture di rilevante importanza; il terzo è infine un valore di riferimento tipico in caso di opere che richiedono un massimo livello di protezione per le quali una rottura, o un non corretto funzionamento comporti seri rischi di vite umane (ad esempio le dighe).

3.3.1 METODO RAZIONALE

Come indicato in precedenza nel presente paragrafo si procede alla valutazione della portata di piena con tempo di ritorno di 100, 200, 500 anni con riferimento alle curve di possibilità pluviometrica proposte dalla suddetta Direttiva sulla piena di progetto.

Ai fini dell'individuazione dei parametri progettuali di assetto idrogeologico ed idraulico si è fatto riferimento alle curve di possibilità climatica della Tabella 1 della Direttiva. La stazione più vicina alle aree in esame risulta certamente la stazione di Perosa Argentina alla quale si è fatto riferimento.

La curva di possibilità climatica assume la forma seguente:

$$h = a \cdot t^n$$

dove:

h = rappresenta l'altezza di precipitazione espressa in mm

t = rappresenta la durata della precipitazione espressa in ore

a ed n = rappresentano parametri corrispondenti alle caratteristiche pluviometriche.

per la suddetta stazione i precedenti parametri assumono i seguenti valori con riferimento ai tempi di ritorno indicati:

| TR (anni) | a | n |
|-----------|-------|-------|
| 100 | 40.06 | 0.472 |
| 200 | 43.68 | 0.472 |
| 500 | 48.46 | 0.472 |

Sulla base delle curve individuate, la determinazione della portata mediante l'adozione del modello cinematico o di corrivazione, prevede la determinazione del tempo di corrivazione per quanto attiene la modellazione della trasformazione degli afflussi meteorici nel fenomeno di formazione della piena. Tale modello infatti individua come durata critica della precipitazione quella corrispondente ad un tempo pari a quello di corrivazione.

La letteratura fornisce alcune formulazioni per il calcolo del tempo di corrivazione t_c ; per bacini con caratteristiche analoghe a quelle in esame, in termini di estensione e altitudine, si ritiene particolarmente adatta la formulazione proposta da Giandotti:

$$T_c = \frac{4 \cdot \sqrt{S} + 1,5 \cdot L}{0,8 \cdot \sqrt{(H - h)}} \text{ (ore)}$$

dove.

S = rappresenta l'estensione del bacino (Km²)

L = rappresenta la lunghezza dell'asta principale (km)

H = rappresenta l'altitudine media del bacino imbrifero sotteso, (m.s.m).

h = rappresenta la quota della sezione considerata (m.s.m).

Il calcolo della portata di piena deriva dalla seguente formulazione:

$$Q_{max} = C \cdot h \cdot S/t_c$$

dove:

c = coefficiente di deflusso

h = altezza di pioggia per un tempo $t = t_c$

S = superficie del bacino in Km²

I valori di intensità pluviometrica calcolati per la precipitazione di durata pari al tempo di corrivazione ed i conseguenti valori di portata vengono pertanto riportati nelle seguenti tabelle relative ai bacini considerati: Le sigle BPAR N° fanno riferimento alla tavola di definizione dei sottobacini ed alla corografia. Nel seguito si riassumono inoltre le principali caratteristiche geometriche dei bacini in esame che sono state utilizzate per gli scopi idrologici dello studio.

Al fondo della tabella sono riportate inoltre le caratteristiche dei bacini che derivano dalla somma di più sottobacini. I coefficienti di deflusso adottati risultano mediamente pari a 0.5 in considerazione della copertura presente e all'estensione dei sottobacini presenti.

| SIGLA BACINO | Lunghezze aste principali (km) | Superficie (km²) | Quota media (msm) | Quota sezione di chiusura (msm) | Tempo di corrivazione (ore) |
|---------------------|---|--|------------------------------|--|--|
| PAR 01 | 2.52 | 0.97 | 825 | 570 | .6 |
| PAR 02 | 3.51 | 2.52 | 1025 | 605 | .71 |
| PAR 03 | 2.67 | 3.24 | 1330 | 1050 | .84 |
| PAR 04 - 1 | 1.8 | 0.35 | 750 | 645 | .62 |
| PAR 04 - 2 | 2.12 | 0.69 | 770 | 645 | .73 |
| PAR 05 | 3.91 | 4.2 | 1350 | 800 | .75 |
| PAR 06 | 4.31 | 2.98 | 1400 | 800 | .68 |
| PAR 07 | 1.27 | 0.58 | 750 | 666 | .68 |
| PAR 08 | 1.31 | 0.93 | 1070 | 701 | .38 |
| PAR 09 | 1.45 | 0.48 | 810 | 669 | .52 |
| PAR 10 | 3.67 | 2.1 | 1260 | 670 | .58 |
| PAR 11 | 1.07 | 0.25 | 870 | 705 | .35 |
| PAR 12 | 2.93 | 1.19 | 1190 | 703 | .5 |
| PAR 13 | 2.16 | 1.52 | 1120 | 704 | .5 |
| PAR 14 | 0.6 | 0.14 | 900 | 724 | .23 |
| PAR 02+03 | 6.18 | 5.76 | 1197 | 605 | .97 |
| PAR 04 | 2.12 | 1.04 | 763 | 645 | .83 |
| PAR 5+6 | 4.31 | 7.18 | 1371 | 800 | .9 |
| PAR 5+6+7 | 5.59 | 7.76 | 1325 | 666 | .95 |

3.3.1.1 DEFINIZIONE DEI VALORI DI PORTATA CON IL METODO RAZIONALE

Tempo di ritorno 100 anni

| SIGLA BACINO | Precipitazione per $T_p=T_c$ (mm) | Intensità per $T_p=T_c$ (mm/h) | Portata di massima piena m³/s |
|---------------------|---|--|---|
| PAR 01 | 32 | 52 | 7.0 |
| PAR 02 | 34 | 48 | 16.8 |
| PAR 03 | 37 | 44 | 19.8 |
| PAR 04-1 | 32 | 52 | 2.5 |
| PAR 04-2 | 34 | 47 | 4.5 |
| PAR 05 | 35 | 47 | 27.2 |
| PAR 06 | 33 | 49 | 20.3 |
| PAR 07 | 33 | 49 | 4.0 |
| PAR 08 | 25 | 67 | 8.6 |
| PAR 09 | 29 | 57 | 3.8 |
| PAR 10 | 31 | 53 | 15.6 |
| PAR 11 | 24 | 70 | 2.4 |
| PAR 12 | 29 | 58 | 9.6 |
| PAR 13 | 29 | 58 | 12.2 |
| PAR 14 | 20 | 88 | 1.7 |
| PAR 02+03 | 39 | 41 | 32.6 |
| PAR 04 | 37 | 44 | 6.4 |
| PAR 5+6 | 38 | 42 | 42.3 |
| PAR 5+6+7 | 39 | 41 | 44.3 |

Tempo di ritorno 200 anni

| SIGLA BACINO | Precipitazione per $T_p=T_c$ (mm) | Intensità per $T_p=T_c$ (mm/h) | Portata di massima piena m^3/s |
|---------------------|---|--|--|
| PAR 01 | 34 | 57 | 7.7 |
| PAR 02 | 37 | 52 | 18.3 |
| PAR 03 | 40 | 48 | 21.6 |
| PAR 04-1 | 35 | 56 | 2.7 |
| PAR 04-2 | 38 | 52 | 5.0 |
| PAR 05 | 38 | 51 | 29.7 |
| PAR 06 | 36 | 53 | 22.1 |
| PAR 07 | 36 | 54 | 4.3 |
| PAR 08 | 28 | 73 | 9.4 |
| PAR 09 | 32 | 62 | 4.1 |
| PAR 10 | 34 | 58 | 17.0 |
| PAR 11 | 27 | 76 | 2.6 |
| PAR 12 | 31 | 63 | 10.5 |
| PAR 13 | 32 | 63 | 13.3 |
| PAR 14 | 22 | 96 | 1.9 |
| PAR 02+03 | 43 | 44 | 35.5 |
| PAR 04 | 40 | 48 | 6.9 |
| PAR 5+6 | 42 | 46 | 46.1 |
| PAR 5+6+7 | 43 | 45 | 48.3 |

Tempo di ritorno 500 anni

| SIGLA BACINO | Precipitazione per $T_p=T_c$ (mm) | Intensità per $T_p=T_c$ (mm/h) | Portata di massima piena m^3/s |
|---------------------|---|--|--|
| PAR 01 | 38 | 63 | 8.5 |
| PAR 02 | 41 | 58 | 20.3 |
| PAR 03 | 45 | 53 | 24.0 |
| PAR 04-1 | 39 | 62 | 3.0 |
| PAR 04-2 | 42 | 57 | 5.5 |
| PAR 05 | 42 | 56 | 32.9 |
| PAR 06 | 40 | 59 | 24.5 |
| PAR 07 | 40 | 60 | 4.8 |
| PAR 08 | 31 | 81 | 10.4 |
| PAR 09 | 36 | 68 | 4.6 |
| PAR 10 | 38 | 65 | 18.8 |
| PAR 11 | 30 | 84 | 2.9 |
| PAR 12 | 35 | 70 | 11.6 |
| PAR 13 | 35 | 70 | 14.7 |
| PAR 14 | 24 | 106 | 2.1 |
| PAR 02+03 | 48 | 49 | 39.4 |
| PAR 04 | 44 | 53 | 7.7 |
| PAR 5+6 | 46 | 51 | 51.1 |
| PAR 5+6+7 | 47 | 50 | 53.6 |

3.3.2 MODELLO AFFLUSSI – DEFLUSSI

Il modello afflussi deflussi utilizzato è HEC HMS – sviluppato da U.S. Army Corps of Engineers Hydrologic Engineering Center. Si tratta di un modello idrologico che consente di simulare l'idrogramma di deflusso di un bacino in risposta ad un afflusso meteorico sufficientemente intenso. La simulazione della piena è effettuata sintetizzando le risposte idrografiche di unità areali del bacino o sottobacini a caratteristiche fisiche e meteorologiche omogenee. Per ciascuno dei sottobacini vengono modellizzate tre componenti schematiche.

simulazione del sistema idrografico

simulazione del deflusso superficiale

simulazione della propagazione

E' intuitivo constatare che quanto più la suddivisione del bacino è vincolata all'ipotesi di omogeneità, tanto maggiore è il numero di sottobacini da considerare, il grado di approssimazione del modello è dunque, sotto questo aspetto, dipendente dalle scelte effettuate dall'utente.

I tre procedimenti di calcolo sopra introdotti, richiedono la conoscenza preliminare di numerosi parametri relativi al bacino, in particolare se non si dispongono di misure dirette di afflussi e deflussi sono necessari i parametri geomorfologici e le estensioni dei sottobacini, le condizioni

di imbibizione e le caratteristiche di permeabilità dei suoli, la forma le lunghezze e le caratteristiche dei tratti fluviali o di vaso considerati per la propagazione. Per il calcolo della portata è infine necessaria la definizione delle precipitazioni di riferimento.

Naturalmente nel caso in esame la scelta dei parametri successivamente dettagliata, è effettuata con lo scopo di stimare il valore di piena al colmo, a partire da valori di precipitazione prefissati; pertanto le assunzioni dei parametri stessi saranno sufficientemente cautelative. Diversa la situazione nel caso in cui lo scopo della modellazione fosse la simulazione di un evento reale di piena. Nel seguito vedremo pertanto dettagliatamente esplicitate tali scelte

3.3.2.1 LA SCELTA DELLE PRECIPITAZIONI DI RIFERIMENTO

Circa le precipitazioni da assumere alla base del calcolo della portata di progetto si sono assunte di base le curve di possibilità pluviometrica proposte dal Piano Stralcio per L'Assetto Idrogeologico (PAI) –Indirizzi per l'attuazione del PAI nel settore urbanistico- ALLEGATO 1 Direttiva sulla piena di progetto da assumere per la progettazione e le verifiche di compatibilità idraulica. (Regione Piemonte 2002). Tali curve possono essere valutate per vari tempi di pioggia e sulla base d'utilizzo del modello afflussi-deflussi, di cui si tratterà di seguito, si è individuata, secondo un metodo di approssimazione successive, la durata di pioggia critica per i bacini in esame; tale durata è risultata pari a 4 ore, tale durata è stata trovata confrontando i valori relativi ai tempi di corrivazione pari a 2, 4, 6 e 8 ore. Il tempo individuato risulta molto diverso dal tempo di corrivazione in quanto per la modellazione afflussi deflussi risulta molto importante la modalità di infiltrazione delle precipitazioni e la saturazione del suolo che non viene considerata attraverso il metodo razionale. In tabella sono riportate le altezze di pioggia calcolate per i vari tempi di pioggia di interesse:

| CURVE DI POSSIBILITA' CLIMATICA DI PEROSA ARGENTINA | | | |
|--|--------------------|--------------------|--------------------|
| tempi di pioggia (ore) | TR=100 (mm) | TR=200 (mm) | TR=500 (mm) |
| 2 | 55.56 | 60.59 | 67.22 |
| 4 | 77.07 | 84.03 | 93.23 |
| 6 | 93.33 | 101.76 | 112.89 |
| 8 | 106.90 | 116.56 | 129.31 |

Tali valori sono riferibili al "centro di pioggia"; in presenza di areali estesi, occorre operare un abbattimento di tali valori per tener conto della diversa distribuzione della pioggia in funzione dell'area interessata dalla precipitazione stessa, tale abbattimento non è stato operato nel caso in esame a favore di sicurezza ed in considerazione dell'estensione ridotta dei bacini considerati.

La curva di probabilità pluviometrica per assegnato tempo medio di ritorno TR contiene una parte dell'informazione necessaria per l'analisi pluviometrica, ma richiede di stabilire a priori la distribuzione temporale dell'intensità di pioggia. L'informazione ricavata dall'equazione della curva segnalatrice di possibilità pluviometrica $h=at^n$ può essere completata dalla scelta della forma della distribuzione temporale degli afflussi. E' noto, infatti, che la distribuzione degli afflussi costituisce un fattore rilevante per la determinazione dei valori di portata al colmo nelle reti drenanti sia artificiali sia naturali.

In un'indagine sulla caratterizzazione empirica degli eventi di pioggia (Ferrari, 1994) sono state fornite informazioni sulle forme dello ietogramma di progetto attraverso l'analisi di registrazioni

relative a circa 17 mila eventi di pioggia sul territorio italiano, divisi per gruppi di durata totale e ridotti in forma normalizzata rispetto ai valori totali d'altezza e durata. Divisa la durata dell'evento in quattro, sono stati ricavati per ogni quarto di durata della precipitazione i valori percentuali d'altezza aventi assegnata frequenza nell'ambito del campione disponibile. Successivamente sono stati ricostruiti nubifragi di progetto aventi stessa durata ed altezza di pioggia, ma aventi differente posizione temporale dello scroscio (vale a dire una diversa distribuzione dell'intensità di pioggia). Dall'esperienza delle conseguenze di numerosi eventi gravosi e dai risultati di semplici modelli afflussi-deflussi, si è ricavata la prova che la distribuzione d'intensità che prevede il massimo scroscio nell'ambito dell'ultimo quarto della durata dell'evento rappresenta la distribuzione maggiormente cautelativa. E' intuitivo, infatti, osservare che, in tali condizioni, indipendentemente dalle condizioni antecedenti di contenuto idrico del suolo, la rete idrografica è già interessata dalle precipitazioni iniziali allorché si verifica l'apporto finale caratterizzato da maggiore intensità; le precipitazioni dei primi tre quarti della durata dell'evento avranno colmato le capacità d'invaso e soddisfatto le sottrazioni iniziali per infiltrazione.

Dalla suddetta curva di possibilità pluviometrica sono stati dedotti gli ietogrammi di progetto riferiti proprio ad uno scroscio di maggiore intensità al termine dell'evento. L'altezza di pioggia (mm) è dedotta quale percentuale della precipitazione totale in funzione della durata di pioggia. Si adotta pertanto il criterio per cui il rapporto della precipitazione nell'ultimo quarto rispetto al totale risulta il 55%. Per tempi di pioggia superiori alle 3 ore, per tempi inferiori o uguali tale percentuale risulta invece del 50%.

I dati relativi agli ietogrammi derivati sono pertanto riportati nella seguente tabella in funzione dei tempi di ritorno e di pioggia di interesse.

| Tempo di pioggia (ore) | Durata dell'ultimo quarto (ore) | Valore di precipitazione (mm) da attribuire per i primi $\frac{3}{4}$ dell'evento | | | Valore di precipitazione (mm) da attribuire per l'ultimo quarto dell'evento | | |
|------------------------|---------------------------------|---|-------------|-------------|---|-------------|-------------|
| | | TR=100 (mm) | TR=200 (mm) | TR=500 (mm) | TR=100 (mm) | TR=200 (mm) | TR=500 (mm) |
| 2.00 | 0.5 | 27.78 | 30.29 | 33.61 | 27.78 | 30.29 | 33.61 |
| 4.00 | 1 | 42.39 | 46.22 | 51.28 | 34.68 | 37.82 | 41.95 |
| 6.00 | 1.5 | 51.33 | 55.97 | 62.09 | 42.00 | 45.79 | 50.80 |
| 8.00 | 2 | 58.79 | 64.11 | 71.12 | 48.10 | 52.45 | 58.19 |

3.3.2.2 LA DEFINIZIONE DEI SOTTOBACINI E DEI LORO PARAMETRI.

L'intero bacino viene diviso in sottobacini sulla base di una ripartizione uniforme dell'area totale, tenendo conto degli spartiacque interni del bacino maggiore e dell'uniformità di ogni singolo sottobacino, il numero di sottobacini scelto appare un buon compromesso tra la necessità di aderire quanto più possibile alla realtà fisica del reticolo fluviale rispetto alla rapidità di elaborazione, alla qualità dei dati disponibili ed al grado di approssimazione richiesto dal calcolo. Le dimensioni areali dei sottobacini scelte inoltre permettono l'applicazione della formulazione di Giandotti per la stima dei tempi di corrivazione di questi. Occorre ricordare infine che le distribuzioni di pioggia calcolate in precedenza sono state attribuite uniformemente a tutti i sottobacini.

Le caratteristiche morfologiche e geometriche principali di ogni sottobacino sono state definite nel paragrafo relativo al calcolo delle portate con il metodo razionale.

Per ogni tratto del reticolo idrografico modellizzato occorre definire delle sezioni caratterizzanti affinché il modello possa calcolare la propagazione dell'onda di piena.

Le sezioni di deflusso caratteristiche per ciascun sottobacino sono desunte dai rilievi topografici attualmente a disposizione; negli altri casi a partire da sopralluoghi lungo l'asta e integrati con l'utilizzo della cartografia a disposizione; si è definita tratto per tratto una sezione media di deflusso a tutta larghezza in modo da simulare compiutamente durante il processo di propagazione dell'onda di piena anche il fenomeno dell'esondazione dall'alveo inciso. Occorre precisare che in considerazione della dimensione delle sezioni, delle pendenze in gioco che sono comunque rilevanti, l'assenza di invasi naturali o ampie golene, il fenomeno della laminazione risulta piuttosto limitato, come è possibile constatare nei tabulati di calcolo.

Si precisa inoltre che vista la complessità relativamente limitata dei bacini in esame l'analisi è stata effettuata sui bacini di maggiore interesse considerando i restanti sufficientemente definiti dal punto di vista delle massime portate attraverso il metodo razionale, in termini peraltro cautelativi.

3.3.2.3 LA VALUTAZIONE DELLA SOTTRAZIONE PER INFILTRAZIONE

La valutazione della sottrazione per infiltrazione nei singoli sottobacini è stata effettuata in base al metodo noto come SCS, in funzione del tipo di suolo, di copertura e in funzione delle precipitazioni antecedenti. Il parametro che sintetizza le caratteristiche del suolo prende il nome di CN.

Il metodo assume che, nel corso di un evento, il volume del deflusso superficiale per unità di superficie R sia proporzionale a quello della precipitazione P depurato della perdita iniziale per assorbimento del suolo P_a . Il rapporto è assunto pari a quello esistente fra infiltrazione I e un volume S che caratterizza la massima ritenzione potenziale del terreno. La relazione diventa

per tanto $\frac{R}{P - P_a} = \frac{I}{S}$ che, tenendo conto dell'equazione della conservazione della massa

esprimibile con $I = P - P_a - R$ permette di giungere alla relazione $R = \frac{(P - P_a)^2}{P - P_a + S}$ la quale mostra il volume del ruscellamento in funzione di quello della precipitazione e di due parametri caratteristici del suolo: la capacità d'assorbimento iniziale e la massima ritenzione potenziale.

La massima ritenzione potenziale dipende quindi dalla natura del suolo e dalla copertura, il cui effetto combinato è rappresentato dal parametro adimensionale CN.

Il metodo SCS distingue quattro gruppi di suolo in base al loro comportamento idrologico, che è sommariamente e qualitativamente descritto nella seguente tabella (Boss & Ass., 1995).

| Gruppo | Deflusso potenziale | Descrizione |
|--------|---|---|
| A | Basso 7,5–11,25 mm/ora | Suoli con elevata velocità d'infiltrazione anche quando completamente inumiditi, consistenti principalmente in sabbie profonde da bene a fortemente drenate, loess potente o silt. |
| B | Da basso a moderato 3,75 – 7,5 mm/ora | Suoli con moderata velocità d'infiltrazione anche quando completamente inumiditi e consistenti in suoli moderatamente profondi, ben drenati e con tessitura da moderatamente fine a moderatamente grossolana. Il gruppo comprende il loess poco spesso e le marne sabbiose. |
| C | da moderato a alto 1,25 – 3,75 mm/ora | Suoli con bassa velocità di infiltrazione quando completamente inumiditi consistenti principalmente in suoli con uno strato che impedisce il movimento dell'acqua verso il basso o suoli con tessitura da fine a moderatamente fine. Tale gruppo comprende molte marne argillose, marne sabbiose poco spesse, suoli con scarso contenuto organico, e suoli usualmente ad alto contenuto di argilla. |
| D | alto 0,0 – 1,25 mm/ora | Suoli con molto bassa velocità di infiltrazione quando completamente inumiditi consistenti principalmente in suoli argillosi con elevato potenziale di rigonfiamento, suoli con falda superficiale permanente, suoli con strati di argilla in superficie, suoli sottili sopra strati impermeabili, alcuni suoli salificati. |

In base alle indicazioni della tabella, sono stati ascritti al tipo di suolo della classe B tutti i sottobacini considerati.

Si assume che il valore di CN possa variare in funzione delle condizioni iniziali di imbibimento del terreno quantificate mediante l'entità delle precipitazioni cadute nei cinque giorni precedenti l'evento; si definisce in tal modo la classe AMC (Antecedent soil Moisture Condizion).

| Classe AMC | Pioggia totale nei 5 giorni antecedenti l'evento | |
|------------|--|---------------------------------|
| | Stagione di riposo vegetativo | Stagione di crescita vegetativa |
| I | < 13 mm | < 36 mm |
| II | 13 ÷ 28 mm | 36 ÷ 53 mm |
| III | > 28 mm | > 53 mm |

Apposite tabelle forniscono i valori di CN per la classe AMC-II e si può passare dall'una all'altra classe mediante le relazioni:

$$CN_I = \frac{CN_{II}}{2.3 - 0.013 CN_{II}} \qquad CN_{III} = \frac{CN_{II}}{0.43 + 0.0057 CN_{II}}$$

In base ai valori indicati da Ranzi & Rosso (FLEA, 1994), sono stati selezionati i seguenti valori di CN per suolo attribuito al tipo idrologico A e in condizioni AMC-II.

| | |
|---------------|--------|
| Suolo tipo B | AMC II |
| Bosco | 60 |
| Prati-coltivi | 67 |
| Zona imperme. | 100 |
| Zona nuda | 79 |
| Zona urbana | 82 |

Per ciascun sottobacino, i valori di CN sono stati calcolati come valore medio ponderato in funzione dell'area di ciascun tipo di copertura presente (zone impermeabili escluse e conteggiate a parte); tale suddivisione è stata effettuata in base all'analisi della cartografia disponibile; si è considerata nei calcoli solo la condizione di AMCII, in quanto ritenuta più aderente alla situazione reale sia per quanto riguarda la natura e le dimensioni del bacino, sia per quanto concerne la distribuzione temporale delle piogge in un tempo antecedente eventi caratterizzati da tali tempi di ritorno.

La tabella riassuntiva seguente riporta le condizioni di suolo idrologico tipo, i valori di CN calcolati e le percentuali d'uso del suolo per tutti i sottobacini nelle già citate condizioni AMC-II.

| bacino | bosco % | prato coltivo % | zona urbana % | zona imperme. % | Numero di CN |
|---------------|----------------|------------------------|----------------------|------------------------|---------------------|
| PAR 01 | 70% | 22% | 3% | 5% | 62.32 |
| PAR 02 | 65% | 25% | 5% | 5% | 63.00 |
| PAR 03 | 43% | 42% | 0% | 15% | 63.46 |
| PAR 04 | 32% | 60% | 3% | 5% | 65.12 |
| PAR 05 | 40% | 45% | 0% | 15% | 63.71 |
| PAR 06 | 35% | 50% | 0% | 15% | 64.12 |
| PAR 07 | 60% | 34% | 1% | 5% | 62.74 |
| PAR 08 | 80% | 15% | 0% | 5% | 61.11 |
| PAR 09 | 64% | 30% | 1% | 5% | 62.44 |
| PAR 10 | 50% | 40% | 0% | 10% | 63.11 |
| PAR 11 | 50% | 40% | 0% | 10% | 63.11 |
| PAR 12 | 45% | 45% | 0% | 10% | 63.50 |
| PAR 13 | 75% | 20% | 0% | 5% | 61.47 |
| PAR 14 | 50% | 40% | 0% | 10% | 63.11 |

Un altro parametro indispensabile al calcolo della portata di progetto è il TL; per TL s'intende il tempo di concentrazione della portata alla sezione di chiusura.

Quel tempo che intercorre cioè tra il baricentro del pluviogramma di precipitazione efficace ed il picco di piena. Tale tempo può essere determinato con la formula di Mockus che tuttavia essendo d'origine anglosassone mal si adatta ai nostri complessi bacini montani; di conseguenza il valore di TL può essere agevolmente determinato mediante la relazione di natura semiempirica :

$$TL = 0,6 \cdot TC$$

3.3.2.4 DESCRIZIONE DEL MODELLO DI CALCOLO

In più sedi e da diversi anni è stato sottolineato che la definizione delle portate di riferimento trova i primi ostacoli nel ridotto numero di stazioni idrometrografiche nei bacini medio-piccoli; le citate carenze di stazioni di misura hanno fortemente condizionato la taratura di modelli idrologici.

Nell'ambito del calcolo delle portate come detto è stato qui utilizzato il noto modello HEC HMS (U.S. Army Corps of Engineers)

Le capacità del modello Hec comunemente utilizzate sono:

Calcolo della distribuzione delle precipitazioni su un bacino per eventi da cinque minuti a dieci giorni di durata.

Calcolo della portata schematizzando il processo d'infiltrazione nel terreno;

Generazione dell'idrogramma completo ad ogni sezione di chiusura dei sottobacini;

Calcolo degli effetti di laminazione e invaso lungo i corsi d'acqua ed in determinati siti entro il bacino.

Si segnala per completezza che tale modello comporta alcune semplificazioni e limitazioni, che consistono essenzialmente nella limitazione a studiare un evento singolo, nell'analisi del solo moto permanente, nell'impiego di una forma semplificata delle equazioni del moto donde lo spiccato carattere monodirezionale.

L'applicazione pratica del modello al caso in esame si è sviluppata nelle seguenti fasi:

Suddivisione in sottobacini dell'area in esame con misurazione e calcolo dei diversi parametri morfometrici;

Studio dell'uso del suolo nell'ambito di ciascun sottobacino ai fini dell'assegnazione del valore di perdita per infiltrazione;

Applicazione degli ietogrammi di progetto;

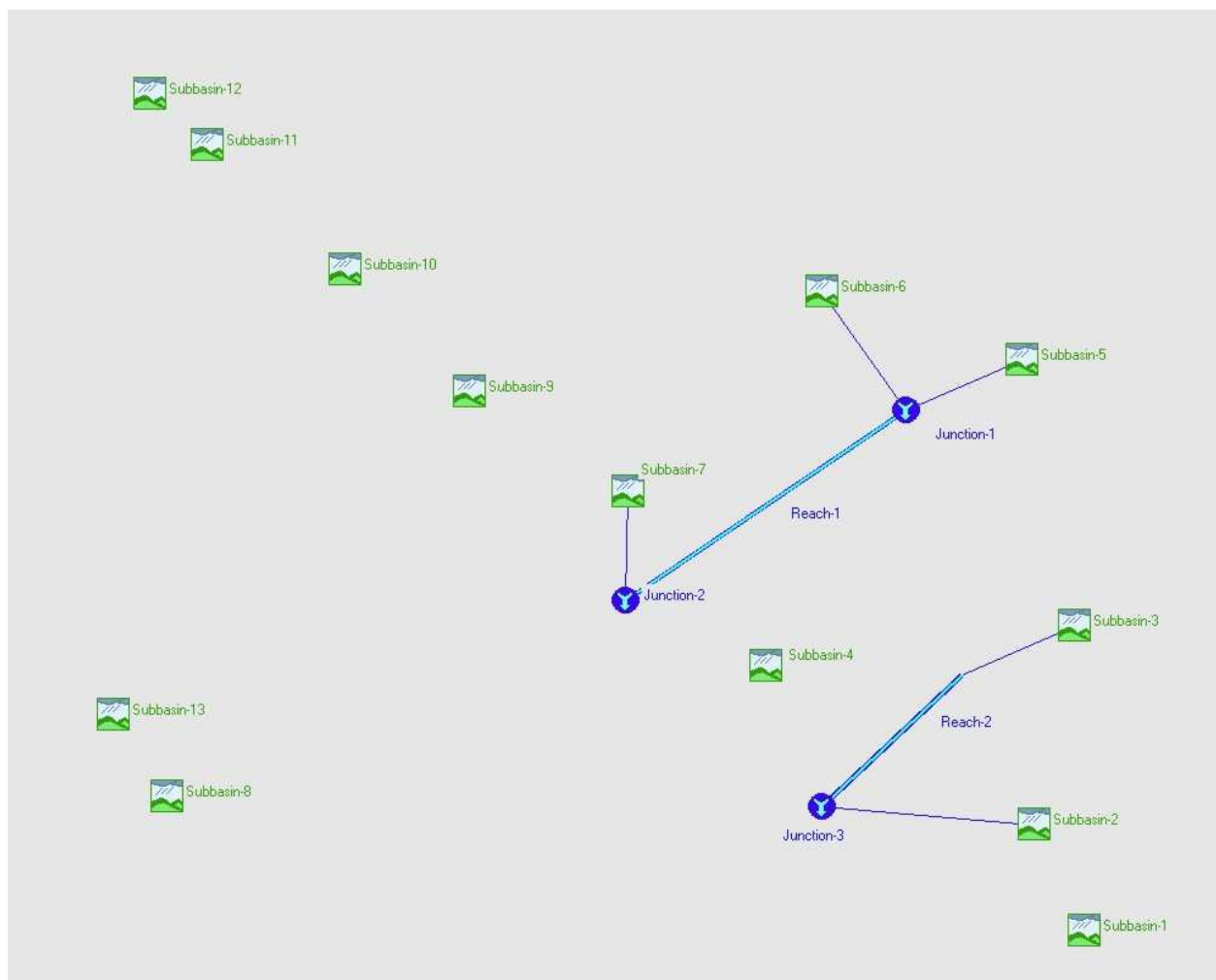
Applicazione di un eventuale coefficiente di abbattimento dell'altezza di pioggia, in base all'estensione dell'area in esame e alla durata della stessa; (nel caso in esame le estensioni dei bacini non prevedono tale coefficiente).

Simulazione della sezione bagnata interessante i tratti di alveo nei singoli sottobacini.

Calcolo della portata di progetto e dei relativi idrogrammi alla chiusura di ogni sottobacino.

Il codice di calcolo HEC HMS fornisce una valutazione delle portate di progetto valida dal punto di vista idrologico, ossia in dipendenza dei caratteri morfometrici dei bacini in esame e delle caratteristiche pluviometriche. Si deve ritenere, a questo proposito, che lo ietogramma di progetto adottato sia cautelativo in quanto più gravoso dell'ipotesi, tipica del metodo razionale, d'uniforme intensità di precipitazione per tutta la durata della pioggia. La procedura è pertanto da ritenersi affidabile, a fronte dei metodi disponibili.

La rete idraulica utilizzata dal modello di calcolo completa delle gerarchie dei sottobacini viene individuata nell'elaborato n° 2 del presente studio. Nel seguito si riporta una schematizzazione concettuale della simulazione effettuata



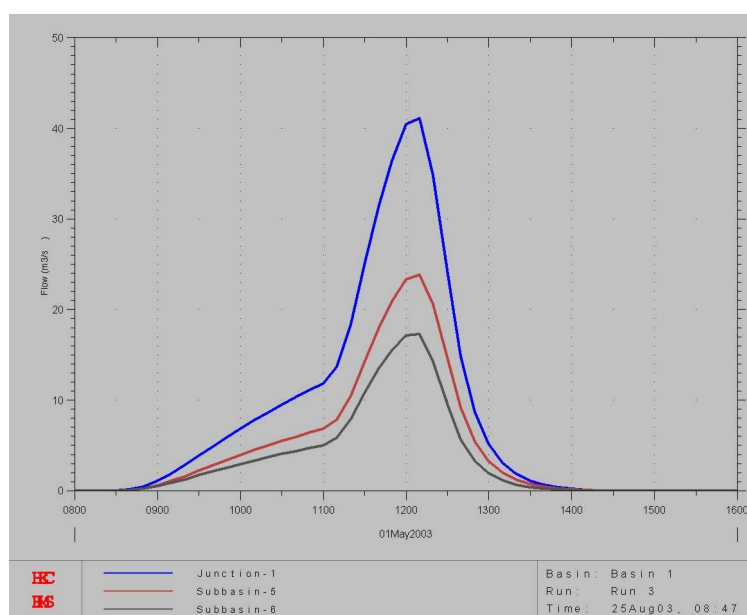
In conclusione il modello HEC HMS fornisce gli idrogrammi completi sia dei sottobacini che dell'intero bacino di interesse, nelle seguenti tabelle si riportano i valori di portata in corrispondenza del picco di piena in funzione del tempo di pioggia scelto e del tempo di ritorno relativi alle sezioni di chiusura di interesse per le successive verifiche idrauliche.

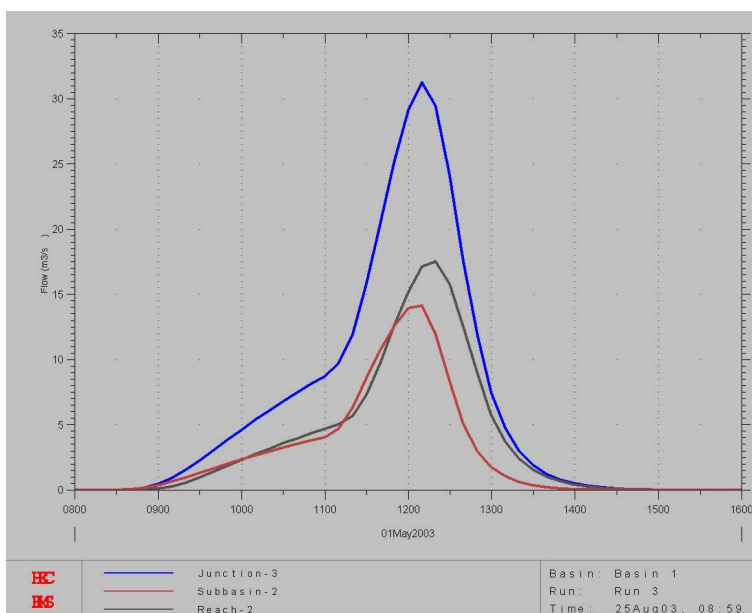
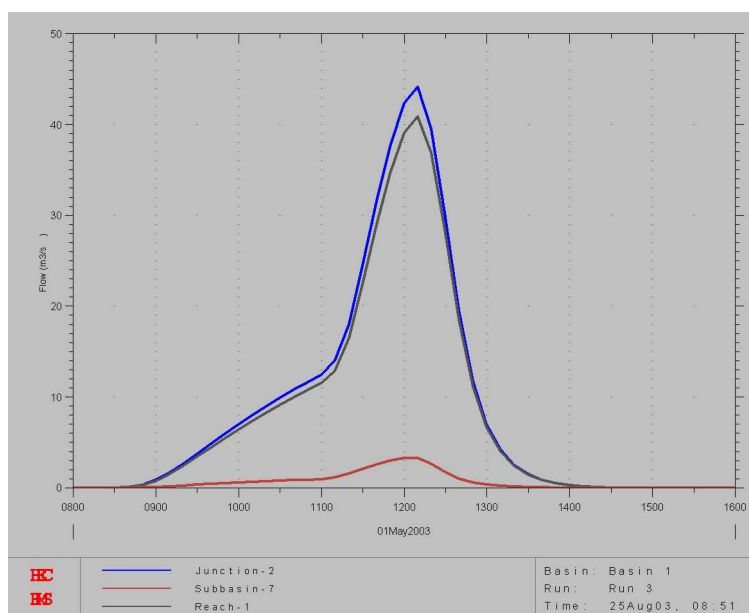
Con riferimento alla precedente immagine si ha:

3.3.2.5 PORTATE DEL MODELLO AFFLUSSI DEFLUSSI

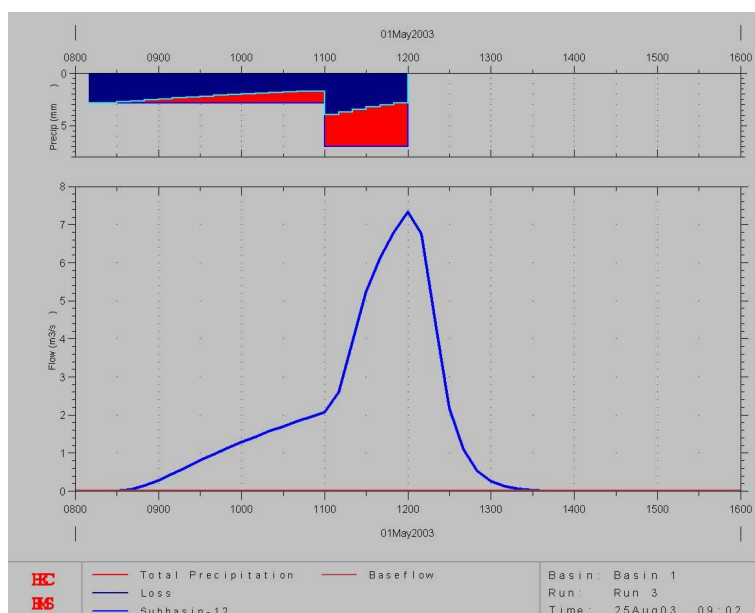
(subbasin n° PAR N°)

| Single Bacini | tr 100 anni (m ³ /s) | tr 200 anni (m ³ /s) | tr 500 anni (m ³ /s) |
|---------------|---------------------------------|---------------------------------|---------------------------------|
| Subbasin-1 | 4.04 | 4.68 | 5.55 |
| Subbasin-3 | 13.02 | 15.05 | 17.84 |
| Reach-2 | 12.86 | 14.75 | 17.51 |
| Subbasin-2 | 10.33 | 11.94 | 14.14 |
| Junction-3 | 22.59 | 26.26 | 31.24 |
| Subbasin-4 | 4.44 | 5.13 | 6.06 |
| Subbasin-6 | 12.65 | 14.60 | 17.26 |
| Subbasin-5 | 17.42 | 20.13 | 23.82 |
| Junction-1 | 30.08 | 34.73 | 41.08 |
| Reach-1 | 29.85 | 34.50 | 40.86 |
| Subbasin-7 | 2.39 | 2.76 | 3.27 |
| Junction-2 | 32.24 | 37.26 | 44.13 |
| Subbasin-8 | 4.10 | 4.74 | 5.62 |
| Subbasin-9 | 2.08 | 2.40 | 2.85 |
| Subbasin-10 | 9.04 | 10.45 | 12.39 |
| Subbasin-11 | 1.17 | 1.35 | 1.60 |
| Subbasin-12 | 5.36 | 6.19 | 7.32 |
| Subbasin-13 | 6.49 | 7.51 | 8.91 |
| Subbasin-14 | 0.58 | 0.67 | 0.79 |





Nelle precedenti immagini sono riportati gli andamenti temporali delle portate in ingresso ed in uscita ai nodi (Junction) dove gli idrogrammi in uscita dai sottobacini o dai rami (reach) di propagazione vengono sommati. Nel seguito un esempio per il bacino 12 di precipitazione con perdite iniziali pari a 7 mm e di idrogramma di piena conseguentemente prodotto. (tempo di ritorno di riferimento 200 anni).



3.3.3 ADOZIONE DEI VALORI DI PORTATA PER LE SUCCESSIVE VERIFICHE

Il valore finale delle portate utilizzate per lo studio si assume mediando ed interpretando tutti i valori calcolati in precedenza con i diversi metodi proposti: Nel seguito si riporta per chiarezza una tabella riassuntiva dei valori adottati in sede di verifica: Si segnala che i risultati relativi al modello afflussi deflussi sono inferiori a quelli calcolati con il metodo razionale soprattutto quelli relativi ai piccoli bacini. Pertanto risultando i secondi in generale più cautelativi risulteranno quelli adottati.

| SIGLA BACINO | Portata (m ³ /s) per tempo di ritorno 100 anni | Portata (m ³ /s) per tempo di ritorno 200 anni | Portata (m ³ /s) per tempo di ritorno 500 anni |
|--------------|---|---|---|
| PAR 01 | 7.0 | 7.7 | 8.5 |
| PAR 02 | 16.8 | 18.3 | 20.3 |
| PAR 03 | 19.8 | 21.6 | 24.0 |
| PAR 04-1 | 2.5 | 2.7 | 3.0 |
| PAR 04-2 | 4.5 | 5.0 | 5.5 |
| PAR 05 | 27.2 | 29.7 | 32.9 |
| PAR 06 | 20.3 | 22.1 | 24.5 |
| PAR 07 | 4.0 | 4.3 | 4.8 |
| PAR 08 | 8.6 | 9.4 | 10.4 |
| PAR 09 | 3.8 | 4.1 | 4.6 |
| PAR 10 | 15.6 | 17.0 | 18.8 |
| PAR 11 | 2.4 | 2.6 | 2.9 |
| PAR 12 | 9.6 | 10.5 | 11.6 |
| PAR 13 | 12.2 | 13.3 | 14.7 |
| PAR 14 | 1.7 | 1.9 | 2.1 |
| PAR 02+03 | 32.6 | 35.5 | 39.4 |

| SIGLA BACINO | Portata (m³/s) per tempo di ritorno 100 anni | Portata (m³/s) per tempo di ritorno 200 anni | Portata (m³/s) per tempo di ritorno 500 anni |
|---------------------|--|--|--|
| PAR 04 | 6.6 | 7.2 | 8.0 |
| PAR 5+6 | 42.3 | 46.1 | 51.1 |
| PAR 5+6+7 | 44.3 | 48.3 | 53.6 |

Per quanto riguarda la determinazione dei valori di massima piena per il Torrente Chisone si ritengono valide le assunzioni idrologiche fatte in sede di redazione del Piano di Bacino del Torrente Chisone (Martina, Visconti, Anselmo, Zanella, Terzolo 2000) che risultano certamente valide nel caso in esame.

Per la verifica del manufatto Mpar 20 che si trova in comune di Perosa Argentina ma di fatto alla fine del bacino del rio di selvaggio proveniente da Roure si adotteranno i seguenti valori di portata desunti dai calcoli svolti nella relazione idraulica a supporto degli studi di PRGC per il bacino BROU 07 del comune di Roure cui si rimanda per il dettaglio dei calcoli eseguiti.

| SIGLA BACINO | Portata (m³/s) per tempo di ritorno 100 anni | Portata (m³/s) per tempo di ritorno 200 anni | Portata (m³/s) per tempo di ritorno 500 anni |
|---------------------|--|--|--|
| BROU 07 | 38.9 | 42.6 | 47.5 |

I valori di portata riportati nel suddetto piano di bacino sono stati desunti utilizzando il modello ideologico hec1 che consente di simulare l'idrogramma di deflusso da un bacino in risposta ad un afflusso meteorico sufficientemente intenso. La simulazione della piena è effettuata sintetizzando le risposte idrografiche di unità areali del bacino o sottobacini a caratteristiche fisiche e meteorologiche omogenee. Tale approccio modellistico risulta equivalente in termini di potenzialità di calcolo a quello adottato nel presente lavoro. In conclusione per il comune di Perosa Argentina si hanno i seguenti valori di portata:

| Descrizione | Area (km²) | Tempo di ritorno 20 (anni) (m³/s) | Tempo di ritorno 100 (anni) (m³/s) | Tempo di ritorno 200 (anni) (m³/s) | Tempo di ritorno 500 (anni) (m³/s) |
|---|------------------------------|---|--|--|--|
| T. Chisone a monte confluenza del T. Germanasca | 270.4 | 343 | 572 | 675 | 691 |
| T. Chisone a valle confluenza del T. Germanasca | 475.6 | 580 | 1011 | 1195 | 1241 |

4 STUDIO IDRAULICO

4.1 L'ASSETTO GEOMETRICO DELL'ALVEO E CARATTERE GENERALE DEI CORSI D'ACQUA

Lo studio dei rii del comune ha comportato la definizione dei manufatti oggetto di studio e di quei tratti di corso d'acqua che necessitano di una completa modellazione, nel caso in esame e

con riferimento alla planimetria dei nodi critici (tavola 3) si osserva che ogni manufatto è stato siglato con la sigla MPAR n°. Gli attraversamenti più importanti sul Chisone e sui rii laterali sono stati modellati in moto permanente. Alcuni manufatti trattandosi per lo più di scatolari o tubazioni rientrano nell'ambito delle verifiche effettuate in moto uniforme.

Per ciascun modello si sono inserite le opportune sezioni a monte ed a valle dei manufatti al fine di descrivere compiutamente il comportamento idraulico degli stessi.

4.2 METODO DI CALCOLO IN MOTO PERMANENTE

Il problema idraulico consiste nel calcolo del profilo liquido corrispondente all'assegnata portata di piena.

Lo schema di calcolo adottato è quello del moto permanente, che consente di considerare la variazione graduale delle sezioni d'alveo e la presenza di manufatti, restringimenti e rapide variazioni di sezione.

La determinazione del profilo di moto permanente è realizzata utilizzando il codice HECRAS "River Analysis System" Versione 3.1.1 (U.S. Army Corps of Engineers Hydrologic Engineering Center).

Il calcolo del profilo idraulico della corrente avviene in condizioni di moto unidimensionale gradualmente vario a portata costante, mediante la risoluzione delle equazioni di bilancio energetico; il codice applicato consente anche di calcolare rapide variazioni di profilo (dovute alla presenza d'ostacoli al deflusso, restringimenti di sezione, passaggio di stato di una corrente).

Le elaborazioni relative ai rii in esame sono riportate in allegato al termine della relazione. Il significato dei dati riportati nelle tabelle risulta il seguente:

River Sta = codice della sezione d'elaborazione. La numerazione procede in ordine decrescente da monte a valle. Per il posizionamento delle sezioni si può far riferimento alla tavola di ubicazione delle sezioni oltre che ai tabulati allegati.

| | | |
|--------------|---|----------------------------------|
| Qtotal | = | portata di calcolo |
| Min Ch El | = | quota di fondo alveo |
| W.S. Elev. | = | altezza idrometrica calcolata |
| E.G. Slope | = | pendenza motrice |
| Vel Chnl | = | velocità di deflusso |
| Froude # Chl | = | numero di Froude della corrente |
| Area | = | sezione interessata dal deflusso |
| Top Width | = | larghezza pelo libero in sommità |
| Lenght Chnl | = | distanza tra le sezioni |

4.3 LE CONDIZIONI AL CONTORNO

Le ipotesi di calcolo (comuni a tutte le elaborazioni effettuate) relative alle condizioni al contorno introdotte nei modelli di simulazione numerica di moto permanente sono le seguenti:

portate al colmo costanti in tutti i tratti studiati sulla base dei valori adottati ed in corrispondenza ai tempi di ritorno indicati.

altezze idrometriche utilizzate come condizioni iniziali nelle sezioni a monte ed a valle calcolate in condizioni di moto uniforme indisturbato.

4.4 COEFFICIENTE DI SCABREZZA

In condizioni di rilievo e cautelativamente anche in condizioni di progetto, il coefficiente di scabrezza (n di Manning) risulta variabile tra alveo e sponda: in alveo e posto pari a $0.04 \text{ m}^{-1/3} \text{ s}$ corrispondente ad una c di Strickler di $25 \text{ m}^{1/3} \text{ s}^{-1}$ che nella già citata direttiva sui criteri di

compatibilità idraulica corrisponde ad una condizione di corso d'acqua minore con fondo alveo in prevalenza di ghiaia e ciottoli vegetazione erbacea ed alveo con irregolarità.

Sulle sponde, in golena o paleo alvei (quando presenti) si ha una n di Manning pari a $0,05 \text{ m}^{-1/3}$ s corrispondente ad una c di Strickler di $20 \text{ m}^{1/3} \text{ s}^{-1}$.

Le scelte effettuate appaiono le più rispondenti alle varie situazioni riscontrate. Per il Torrente Chisone la simulazione risulta certamente cautelativa in termini di scabrezza.

4.5 VALUTAZIONE DEL TRASPORTO SOLIDO POTENZIALE

La valutazione del possibile apporto in termini di trasporto solido di corsi d'acqua a carattere torrentizio alpino, quali quelli oggetto di studio, risulta di estrema complessità, sia per il gran numero di parametri in gioco e per l'estrema difficoltà a darne una corretta valutazione, sia per il carattere discontinuo dei fenomeni, legati a processi di monte e alle condizioni dei bacini tributari; nel presente studio pertanto si è tralasciata una trattazione teorica di tali fenomeni, valida ai fini accademici ma di difficile applicabilità nella pratica.

Tuttavia, con riferimento alle indicazioni fornite dalla Regione Piemonte a seguito degli eventi alluvionali del settembre 1993 e del novembre 1994, valide per i corsi d'acqua minori, i livelli calcolati vanno incrementati di un termine pari ad $1/3$ del tirante idrometrico, riservando in pratica al trasporto solido una quota di sezione pari ad $1/3$ della sezione necessaria per il deflusso della portata idrologica.

Per la definizione delle considerazioni finali sui risultati ottenuti si è quindi tenuto conto qualitativamente dei reali livelli idraulici di riferimento.

Tale assunzione, pur grezza nella sua applicazione, consente di effettuare alcune considerazioni nella pratica, altrimenti difficilmente realizzabili.

4.6 LE VERIFICHE IN MOTO UNIFORME

Le verifiche in moto uniforme si faccia riferimento alla seguente formulazione proposta da Chezy.

$$u = X \cdot \sqrt{(R_m \cdot i_f)}$$

ovvero:

$$Q = u \cdot \Omega = X \cdot \Omega \cdot \sqrt{(R_m \cdot i_f)}$$

dove:

u = è la velocità in m/s;

Ω = è la sezione di deflusso in m^2

R_m = è il raggio idraulico in m

i_f = è la pendenza della sezione considerata

$X = C R_m^{1/6}$ adottando la scabrezza di Strickler C ($\text{m}^{1/3} \text{ s}^{-1}$)

Le sezioni hanno di volta in volta forma rettangolare, trapezia o circolare per i tratti intubati e pertanto verranno nel seguito fornite per ciascuno dei manufatti interessati le scale di deflusso sulla base delle quali è possibile desumere se il manufatto sia in grado di smaltire le portate di progetto.

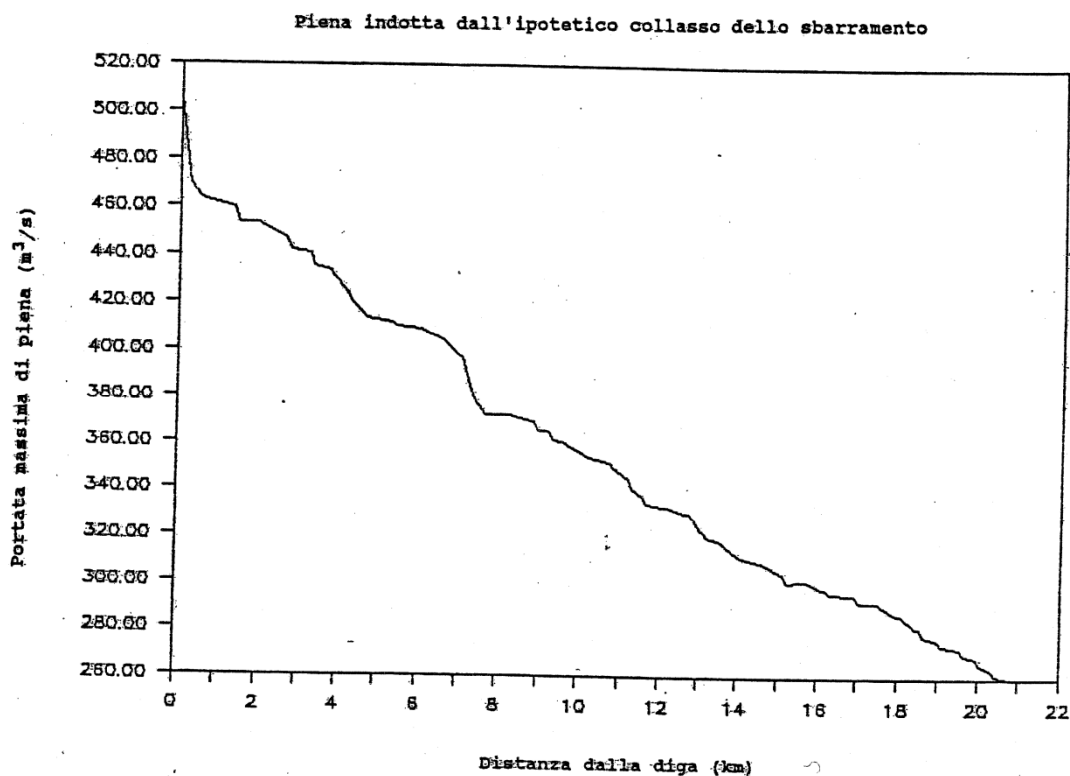
5 ANALISI DEGLI INVASI

In base alle richieste inoltrate dalla Comunità Montana al settore Difesa del Suolo della Regione Piemonte è stato possibile visionare lo studio sul Dam Break del bacino di Pourrieres .

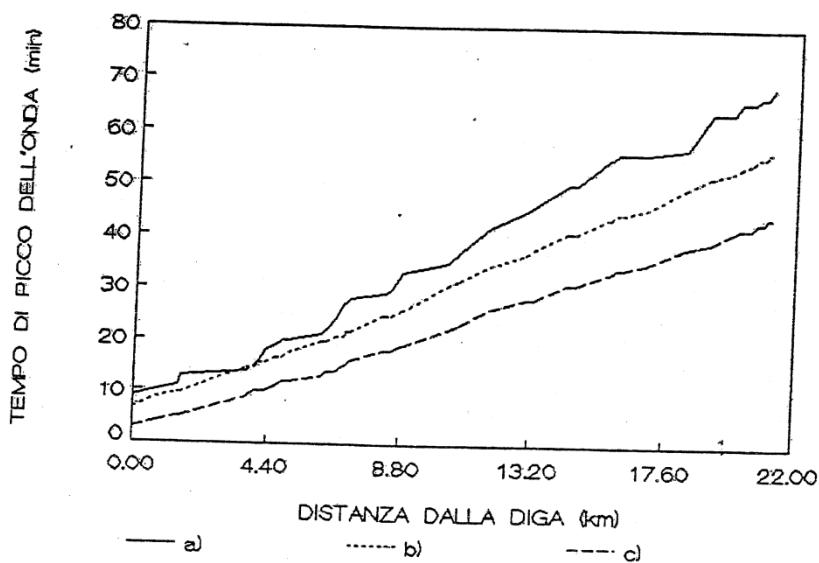
Titolare dell'impianto è la società ENERGIE Spa e la Perizia Tecnica Definitiva ai sensi del Regolamento Regionale 9/11/04 n° 12/R è stata redatta nell'ottobre 2005. Lo specifico studio di Dam Break allegato alla perizia risulta redatto da Hydrodata ancora nel Luglio 1991.

Senza entrare nel merito dei calcoli effettuati si prende atto dello studio redatto e si riporta in allegato (appendice C) la copia della perimetrazione dell'area esondabile che è stata redatta in scala 1:20000 a partire da Pourriere sino a Perosa Argentina. La scala del disegno, la base utilizzata e la precisione dell'analisi effettuata non consentono di confrontare significativamente le aree esondabili riportate con le perimetrazioni delle carte di individuazione dei dissesti legati alla dinamica torrentizia dove comunque sono state rappresentate.

Per quanto attiene ai valori di portata rilasciati ed ai tempi di percorrenza dell'onda di piena in caso di rottura dello sbarramento si riportano nel seguito due grafici sintetici e rappresentativi desunti dal suddetto studio. Il primo rappresenta il valore di portata al picco in funzione della distanza dal Dam Break



ed un secondo diagramma riporta il tempo intercorso dal Dam Break e l'arrivo dell'onda di piena in funzione della distanza dalla diga



Legenda:

- a) Piena artificiale connessa con la manovra di apertura della paratoia piana di sghiaimento.
- b) Piena artificiale connessa con la manovra di apertura della paratoia a settore.
- c) Piena indotta dall'ipotetico collasso dello sbarramento.

Tempi di picco delle onde di piena in funzione della distanza dalla diga.

si ritiene comunque segnalare i seguenti dati salienti: la portata di massima piena di rottura risulta di 506 m³/s, già dopo 1 km dall'invaso (ovvero all'ingresso nelle gorge di Usseaux) è ridotta a circa 460 m³/s che risulta comparabile con la piena cinquecentennale adottata nel presente studio; a valle della confluenza con il rio di Usseaux risulta analoga alla piena duecentennale e successivamente inferiore a questa pertanto vista la profondità d'analisi del presente studio si può affermare che l'area perimetrata sulle tavole di individuazione dei dissesti legati alla dinamica torrentizia siano comprensive e cautelative rispetto all'eventuale evento di rottura.

Per il lago di Villaretto sebbene di competenza dell'ufficio settore sbarramenti fluviali di ritenuta non è mai stata richiesta in precedenza detta analisi.

6 ANALISI DEI RISULTATI

Le analisi idrauliche effettuate hanno consentito di individuare le maggiori criticità idraulica lungo i Rii minori e sul Chisone; nella tavola grafica allegata sono riportate le aree potenzialmente esondabili e la classificazione relativa al dissesto secondo la simbologia del

PAI; sono indicate inoltre le principali direzioni di esondazione e segnalati i manufatti interferenti con i deflussi calcolati.

Il lavoro svolto è da intendersi a supporto degli studi geologici in corso da parte del Dott. Zanella e propedeutici alla redazione della "Carta di Sintesi della pericolosità urbanistica"; a tal fine i risultati dello studio idraulico realizzato sono stati interpretati ed integrati alla luce degli studi geomorfologici redatti.

In sintesi i risultati emergenti dalle valutazioni effettuate sono i seguenti:

6.1 TORRENTE CHISONE

Il corso d'acqua risulta generare condizioni di rischio areale molto elevato sulla maggior parte del fondo valle. Le condizioni morfologiche consentono tuttavia di definire zone a differente pericolosità per quei tratti di fondo valle ove il torrente risulta meno incassato.

Per quanto riguarda le zone a molto elevata pericolosità areale queste competono all'alveo di massima piena del Chisone e non interessano areali urbanizzati.

Per quanto riguarda le aree a pericolosità medio-moderata si segnalano differenti zone aventi tali caratteristiche che interessano anche zone abitate. In particolare in sponda sinistra tra gli abitati di Legeard e Jartousiere ed inoltre L'abitato di Brandoneugna.

Lungo il corso del torrente si segnala infine l'attraversamento verso Pomaretto che non risulta verificato e costituisce un possibile ostacolo al deflusso in condizioni di massima piena duecentennale. Tale ostacolo crea un notevole rigurgito a monte, quest'ultimo, sebbene non si propaghi a lunghe distanze verso monte a causa delle forti pendenze, potrebbe interessare le abitazioni subito a ridosso del ponte sia in sponda destra che in sponda sinistra.

Si evidenzia infine che la classificazione del livello di dissesto su tutto il tratto del torrente è fortemente condizionata non solo dai fenomeni di allagamento valutabili con la modellistica idraulica, ma anche, ed in alcuni casi principalmente, da fenomeni di dinamica torrentizia.

6.2 RETE MINORE

L'intensità del dissesto è stata valutata in considerazione della morfologia dell'incisione, dello stato complessivo del bacino in esame, degli interventi di protezione e lo stato di questi, della pendenza dell'asta.

In assenza di analisi puntuali, per tutti i rii considerati la classificazione del dissesto risulta di tipo lineare molto elevata (Eel).

Considerazioni relative al trasporto solido in condizioni di debris flow esulano dalle successive considerazioni di carattere prettamente idraulico con trasporto solido di natura ordinaria.

Per quanto riguarda i rii laterali affluenti di Chisone a partire da monte si ha:

6.2.1 RIO DI SELVAGGIO.

Nell'area comunale interessa la strada di accesso all'omonima borgata, tale attraversamento risulta privo di un adeguato franco idraulico ma comunque in grado di smaltire le portate di massima piena.

6.2.2 IMPLUVIO DI LEGEARD

Sebbene raccolga una porzione di versante secondario presenta dei manufatti d'attraversamento insufficienti a smaltirne le portate in caso di massima piena. L'insufficienza dal punto di vista idraulico può creare dei locali disagi in corrispondenza dei manufatti stessi.

6.2.3 RIO DI JARTOUSIERE

Dalle verifiche idrauliche svolte si osserva che i manufatti interferenti con il rio in esame non sono in grado di smaltire le portate di massima piena creando inoltre un possibile ostacolo al deflusso. L'influenza di tali esondazioni risulta comunque localizzata ai manufatti e crea disagi o inaccessibilità agli attraversamenti in condizioni di massima piena.

6.2.4 IMPLUVIO A JARTOUSIERE (B PAR 11)

Anche tale rio raccoglie una porzione di versante secondario ma presenta in corrispondenza della borgata un manufatto d'attraversamento insufficiente a smaltirne le portate in caso di massima piena. Lo stato di fatto può creare dei disagi in corrispondenza della borgata stessa in quanto l'impluvio naturalmente convoglia le acque in tale direzione.

6.2.5 RII DI BRANDONEUGNA (B PAR 09 - 10)

Interessano la SS23 nei pressi della Borgata e presentano in corrispondenza dell'attraversamento dei manufatti insufficienti. Soprattutto il BPAR 09 è un bacino di discreta estensione che può creare esondazioni localizzate, in particolare su tale rio oltre all'attraversamento della SS23 si segnala il manufatto MPAR 29 ed il seguente tratto canalizzato che sono un restringimento notevole (trattandosi di un tubo del 600) ed interessano una zona con abitazioni. Il rio BPAR 10 interessa maggiormente zone non abitate tuttavia crea problemi di natura idraulica in corrispondenza della SS 23.

6.2.6 RIO AGREVO

Drena un notevole superficie rispetto agli altri rii considerati, e presenta sezioni apicali sufficienti al contenimento delle massime portate, Anche i manufatti di attraversamento appaiono in grado di smaltire le massime portate con franco adeguato se si esclude il manufatto MPAR07 che comunque non crea ostacolo al deflusso tale da generare esondazioni.

6.2.7 IMPLUVI TRA RIO AGREVO E COMBA CIAMPIANO (B PAR 04.1 – 04.2)

Per il Rio BPAR04- 02 l'attraversamento con la SS23 crea disagi in quanto il manufatto non appare correttamente dimensionato dal punto di vista idraulico. Per quanto riguarda il PAR04.01 tale impluvio risulta piuttosto modesto, risulta tuttavia da segnalare il fatto che il rio una volta giunto ai piedi del versante perde l'alveo inciso, tale situazione non risulta sicura per le abitazioni e le viabilità presenti in corrispondenza della naturale acclività del terreno che ivi convoglia le acque. Il manufatto BPAR 30 e la successiva tratta canalizzata risultano invece verificate.

6.2.8 COMBA CIAMPIANO

La Comba attraversa l'abitato di Perosa Argentina, risulta pertanto importante non solo per l'ampiezza della superficie drenata ma anche per l'elevata antropizzazione. I manufatti di attraversamento sono numerosi ed in generale appaiono in grado di smaltire le massime portate, alcuni attraversamenti tuttavia presentano un franco idraulico non adeguato.

6.2.9 ABITATO DI PEROSA ARGENTINA

Presenta una porzione di versante che insiste direttamente sulle abitazioni, non si segnalano particolari problemi anche se tale superficie evidentemente insiste direttamente sulla rete artificiale di raccolta delle acque superficiali.

6.2.10 RIO AD OVEST DELLA FRAZ. CASTELNUOVO (BPAR 01)

In generale non interessa abitazioni tuttavia lungo il suo corso risultano numerose viabilità verso le borgate presenti sui versanti ed a mezza costa. I manufatti che risultano insufficienti e creano ostacolo al deflusso sono tali da consentire l'invasione delle acque sul piano stradale impedendo di fatto l'accesso alle borgate in caso di afflusso di massima piena. Nel caso di insufficienza grave sussiste inoltre il rischio di effetto sbarramento oppure di danneggiamento della viabilità medesima.

6.3 TABELLE RIASSUNTIVE DEI FRANCHI IDRAULICI

Sulla base delle precedenti considerazioni sul trasporto solido e secondo la vigente normativa quale la direttiva "Criteri per la valutazione della compatibilità idraulica delle infrastrutture pubbliche e di interesse pubblico all'interno delle fasce A e B"; si richiede che il franco minimo tra quota di massima piena di progetto (comprensiva del trasporto solido) e quota d'intradosso del ponte sia pari a 0,5 volte l'altezza cinetica della corrente e comunque non inferiore a 1,00 m.

L'altezza cinetica della corrente é pari a:

$$h_{cin} = \alpha \cdot \frac{V^2}{2g}$$

dove:

- V = velocità media della corrente m/s (valore desunto dalle tabelle allegate)
 α = coefficiente di ragguglio per tenere conto della non uniforme distribuzione della velocità nella sezione; a favore di sicurezza si assume α = 1,2.

La quota di intradosso è stata definita dal rilievo e compare a seconda delle tabelle o in quote assolute oppure relative considerata a 0 la quota di fondo. Per i ponti ad arco si definisce una altezza equivalente di intradosso definita sul compenso delle aree tra sezione ad arco e rettangolare.

Per ciascuno dei manufatti definiti nella tavola delle criticità si riportano pertanto le seguenti tabelle riassuntive

Per quanto riguarda le tubazioni non si è considerato il sovrizzo di 1/3 dei livelli ma un incremento di 1/3 del riempimento per il trasporto solido. In ogni caso le tubazioni non possono ritenersi verificate come gli attraversamenti (ovvero con franco di almeno 1 m) trattandosi quasi sempre di diametri piuttosto ridotti. Di conseguenza il franco non nullo sul riempimento accettabile per tali tubazioni non è garanzia di verifica positiva. Per tubazioni di grosso diametro il franco viene calcolato con lo stesso accorgimento utilizzato per i ponti ad arco.

MPAR 01

| quota di fondo (msm) | Livello Idrometrico (m) | Livello comprensivo del Trasporto solido (m) | Franco richiesto (m) | Quota intradosso (m) | Franco esistente (m) |
|----------------------|-------------------------|--|----------------------|----------------------|----------------------|
| 787.43 | 788.44 | 788.77 | 1.60 | 789.53 | 0.76 |
| 787.43 | 788.49 | 788.84 | 1.70 | 789.53 | 0.69 |
| 787.43 | 788.54 | 788.91 | 1.80 | 789.53 | 0.62 |

MPAR 02

| quota di fondo (msm) | Livello Idrometrico (m) | Livello comprensivo del Trasporto solido (m) | Franco richiesto (m) | Quota intradosso (msm) | Franco esistente (m) |
|----------------------|-------------------------|--|----------------------|------------------------|----------------------|
| 673.28 | 674.26 | 674.58 | 1.00 | 675.38 | 0.80 |
| 673.28 | 674.31 | 674.65 | 1.03 | 675.38 | 0.73 |
| 673.28 | 674.36 | 674.72 | 1.10 | 675.38 | 0.66 |

MPAR03

| quota di fondo (msm) | Livello Idrometrico (m) | Livello comprensivo del Trasporto solido (m) | Franco richiesto (m) | Quota intradosso (msm) | Franco esistente (m) |
|----------------------|-------------------------|--|----------------------|------------------------|----------------------|
| 661.86 | 662.67 | 662.94 | 1.04 | 664.56 | 1.62 |
| 661.86 | 662.72 | 663.00 | 1.11 | 664.56 | 1.56 |
| 661.86 | 662.77 | 663.07 | 1.19 | 664.56 | 1.49 |

MPAR04 (il franco negativo indica che il livello risulta maggiore dell'intradosso)

| quota di fondo (msm) | Livello Idrometrico (m) | Livello comprensivo del Trasporto solido (m) | Franco richiesto (m) | Quota intradosso (msm) | Franco esistente (m) |
|----------------------|-------------------------|--|----------------------|------------------------|----------------------|
| 644.49 | 645.53 | 645.87 | 1.00 | 647.69 | 1.82 |
| 644.49 | 645.56 | 645.91 | 1.00 | 647.69 | 1.78 |
| 644.49 | 645.60 | 645.97 | 1.00 | 647.69 | 1.72 |

MPAR05 (non si tratta di un manufatto ma di una sezione fortemente insufficiente)

| quota di fondo (msm) | Livello Idrometrico (m) | Livello comprensivo del Trasporto solido (m) | Franco richiesto (m) | Quota intradosso (msm) | Franco esistente (m) |
|----------------------|-------------------------|--|----------------------|------------------------|----------------------|
| 632.91 | 633.79 | 634.08 | 1.12 | 635.11 | 1.03 |
| 632.91 | 633.85 | 634.16 | 1.19 | 635.11 | 0.95 |
| 632.91 | 633.91 | 634.24 | 1.25 | 635.11 | 0.87 |

MPAR06

| quota di fondo (msm) | Livello Idrometrico (m) | Livello comprensivo del Trasporto solido (m) | Franco richiesto (m) | Quota intradosso (msm) | Franco esistente (m) |
|----------------------|-------------------------|--|----------------------|------------------------|----------------------|
| 624.06 | 624.97 | 625.27 | 1.04 | 625.76 | 0.49 |
| 624.06 | 625.02 | 625.34 | 1.12 | 625.76 | 0.42 |
| 624.06 | 625.08 | 625.42 | 1.18 | 625.76 | 0.34 |

MPAR07 (il franco negativo indica che il livello risulta maggiore dell'intradosso)

| quota di fondo (msm) | Livello Idrometrico (m) | Livello comprensivo del Trasporto solido (m) | Franco richiesto (m) | Quota intradosso (msm) | Franco esistente (m) |
|----------------------|-------------------------|--|----------------------|------------------------|----------------------|
| 800 | 0.98 | 1.30 | 1.61 | 2.45 | 1.15 |
| 800 | 1.04 | 1.38 | 1.72 | 2.45 | 1.07 |
| 800 | 1.11 | 1.48 | 1.84 | 2.45 | 0.97 |

MPAR08

| quota di fondo (msm) | Livello Idrometrico (m) | Livello comprensivo del Trasporto solido (m) | Franco richiesto (m) | Quota intradosso (msm) | Franco esistente (m) |
|----------------------|-------------------------|--|----------------------|------------------------|----------------------|
| 720 | 0.89 | 1.18 | 1.53 | 3.5 | 2.32 |
| 720 | 0.94 | 1.25 | 1.64 | 3.5 | 2.25 |
| 720 | 1.02 | 1.36 | 1.79 | 3.5 | 2.14 |

MPAR09 (il franco negativo indica che il livello risulta maggiore dell'intradosso)

| quota di fondo (msm) | Livello Idrometrico (m) | Livello comprensivo del Trasporto solido (m) | Franco richiesto (m) | Quota intradosso (msm) | Franco esistente (m) |
|----------------------|-------------------------|--|----------------------|------------------------|----------------------|
| 666 | 0.35 | 0.47 | 1 | 3.5 | 3.03 |
| 666 | 0.37 | 0.49 | 1 | 3.5 | 3.01 |
| 666 | 0.39 | 0.52 | 1 | 3.5 | 2.98 |

MPAR 10

| quota di fondo (m) | Livello Idrometrico (m) | riempimento h/D (%) | riempimento maggiorato per trasporto solido (%) | riempimento accettabile (%) | Franco esistente sul riempimento accettabile (%) |
|--------------------|-------------------------|---------------------|---|-----------------------------|--|
| 645 | h>D | 100% | - | 80% | - |
| 645 | h>D | 100% | - | 80% | - |
| 645 | h>D | 100% | - | 80% | - |

MPAR11

| quota di fondo (m) | Livello Idrometrico (m) | riempimento h/D (%) | riempimento maggiorato per trasporto solido (%) | riempimento accettabile (%) | Franco esistente sul riempimento accettabile (%) |
|--------------------|-------------------------|---------------------|---|-----------------------------|--|
| 670 | h>D | 100% | - | 80% | - |
| 670 | h>D | 100% | - | 80% | - |
| 670 | h>D | 100% | - | 80% | - |

MPAR12 è una raccolta stradale, tubazione (non verificata) del 400 in grado di smaltire la portata.

MPAR13 e 14

| quota di fondo (msm) | Livello Idrometrico (m) | Livello comprensivo del Trasporto solido (m) | Franco richiesto (m) | Quota intradosso (msm) | Franco esistente (m) |
|----------------------|-------------------------|--|----------------------|------------------------|----------------------|
| 703 | > int | > int | 1 | 1 | - |
| 703 | > int | > int | 1 | 1 | - |
| 703 | > int | > int | 1 | 1 | - |

MPAR15

| quota di fondo (m) | Livello Idrometrico (m) | riempimento h/D (%) | riempimento maggiorato per trasporto solido (%) | riempimento accettabile (%) | Franco esistente sul riempimento accettabile (%) |
|--------------------|-------------------------|---------------------|---|-----------------------------|--|
| 724 | h>D | 100% | - | 80% | - |
| 724 | h>D | 100% | - | 80% | - |
| 724 | h>D | 100% | - | 80% | - |

MPAR16 e MPAR17

| quota di fondo (m) | Livello Idrometrico (m) | riempimento h/D (%) | riempimento maggiorato per trasporto solido (%) | riempimento accettabile (%) | Franco esistente sul riempimento accettabile (%) |
|--------------------|-------------------------|---------------------|---|-----------------------------|--|
| 705 | h>D | 100% | - | 80% | - |
| 705 | h>D | 100% | - | 80% | - |
| 705 | h>D | 100% | - | 80% | - |

MPAR18

| quota di fondo (msm) | Livello Idrometrico (m) | Livello comprensivo del Trasporto solido (m) | Franco richiesto (m) | Quota intradosso (msm) | Franco esistente (m) |
|-----------------------------|--------------------------------|---|-----------------------------|-------------------------------|-----------------------------|
| 670 | > int | > int | 1 | 1.4 | - |
| 670 | > int | > int | 1 | 1.4 | - |
| 670 | > int | > int | 1 | 1.4 | - |

MPAR19

| quota di fondo (msm) | Livello Idrometrico (m) | Livello comprensivo del Trasporto solido (m) | Franco richiesto (m) | Quota intradosso (msm) | Franco esistente (m) |
|-----------------------------|--------------------------------|---|-----------------------------|-------------------------------|-----------------------------|
| 669 | > int | > int | 1 | 0.8 | - |
| 669 | > int | > int | 1 | 0.8 | - |
| 669 | > int | > int | 1 | 0.8 | - |

MPAR20 (trattandosi di ponte ad arco la quota di intradosso è determinata ai 2/3 della luce)

| quota di fondo (msm) | Livello Idrometrico (m) | Livello comprensivo del Trasporto solido (m) | Franco richiesto (m) | Quota intradosso (msm) | Franco esistente (m) |
|-----------------------------|--------------------------------|---|-----------------------------|-------------------------------|-----------------------------|
| 1090.00 | 1092.50 | 1093.33 | 1.00 | 1092.74 | -0.60 |
| 1090.00 | 1092.67 | 1093.56 | 1.00 | 1092.74 | -0.82 |
| 1090.00 | 1092.90 | 1093.87 | 1.00 | 1092.74 | -1.13 |

MPAR21

| quota di fondo (msm) | Livello Idrometrico (m) | Livello comprensivo del Trasporto solido (m) | Franco richiesto (m) | Quota intradosso (msm) | Franco esistente (m) |
|-----------------------------|--------------------------------|---|-----------------------------|-------------------------------|-----------------------------|
| 570 | 0.82 | 1.07 | 1.00 | 1.30 | 0.23 |
| 570 | 0.89 | 1.16 | 1.00 | 1.30 | 0.14 |
| 570 | 0.95 | 1.26 | 1.00 | 1.30 | 0.04 |

MPAR22

| quota di fondo (msm) | Livello Idrometrico (m) | Livello comprensivo del Trasporto solido (m) | Franco richiesto (m) | Quota intradosso (msm) | Franco esistente (m) |
|----------------------|-------------------------|--|----------------------|------------------------|----------------------|
| 571 | > int | > int | 1 | 0.80 | - |
| 571 | > int | > int | 1 | 0.80 | - |
| 571 | > int | > int | 1 | 0.80 | - |

MPAR23

| quota di fondo (m) | Livello Idrometrico (m) | riempimento h/D (%) | Rempimneto maggiorato per trasporto solido (%) | riempimento accettabile (%) | Franco esistente sul riempimento accettabile (%) |
|--------------------|-------------------------|---------------------|--|-----------------------------|--|
| 571 | h>D | 100% | - | 80% | - |
| 571 | h>D | 100% | - | 80% | - |
| 571 | h>D | 100% | - | 80% | - |

MPAR24

| quota di fondo (msm) | Livello Idrometrico (m) | Livello comprensivo del Trasporto solido (m) | Franco richiesto (m) | Quota intradosso (msm) | Franco esistente (m) |
|----------------------|-------------------------|--|----------------------|------------------------|----------------------|
| 575 | 0.73 | 0.95 | 1.00 | 1.50 | 0.55 |
| 575 | 0.76 | 0.99 | 1.00 | 1.50 | 0.51 |
| 575 | 0.83 | 1.10 | 1.00 | 1.50 | 0.40 |

MPAR25

| quota di fondo (msm) | Livello Idrometrico (m) | Livello comprensivo del Trasporto solido (m) | Franco richiesto (m) | Quota intradosso (msm) | Franco esistente (m) |
|----------------------|-------------------------|--|----------------------|------------------------|----------------------|
| 576 | 0.60 | 0.78 | 1.00 | 1.40 | 0.62 |
| 576 | 0.63 | 0.82 | 1.00 | 1.40 | 0.58 |
| 576 | 0.67 | 0.89 | 1.00 | 1.40 | 0.51 |

MPAR26

| quota di fondo (msm) | Livello Idrometrico (m) | Livello comprensivo del Trasporto solido (m) | Franco richiesto (m) | Quota intradosso (msm) | Franco esistente (m) |
|----------------------|-------------------------|--|----------------------|------------------------|----------------------|
| 660 | > int | > int | 1 | 0.70 | - |
| 660 | > int | > int | 1 | 0.70 | - |
| 660 | > int | > int | 1 | 0.70 | - |

MPAR27

| quota di fondo (msm) | Livello Idrometrico (m) | Livello comprensivo del Trasporto solido (m) | Franco richiesto (m) | Quota intradosso (msm) | Franco esistente (m) |
|----------------------|-------------------------|--|----------------------|------------------------|----------------------|
| 660 | > int | > int | 1 | 0.50 | - |
| 660 | > int | > int | 1 | 0.50 | - |
| 660 | > int | > int | 1 | 0.50 | - |

MPAR28 (il franco negativo indica che il livello risulta maggiore dell'intradosso).

| quota di fondo (msm) | Livello Idrometrico (m) | Livello comprensivo del Trasporto solido (m) | Franco richiesto (m) | Quota intradosso (msm) | Franco esistente (m) |
|----------------------|-------------------------|--|----------------------|------------------------|----------------------|
| 600.46 | 607.26 | 609.50 | 1.00 | 604.25 | -5.25 |
| 600.46 | 607.98 | 610.46 | 1.00 | 604.25 | -6.21 |
| 600.46 | 608.09 | 610.61 | 1.00 | 604.25 | -6.36 |

MPAR29

| quota di fondo (msm) | Livello Idrometrico (m) | riempimento h/D (%) | riempimento maggiorato per trasporto solido (%) | riempimento accettabile (%) | Franco esistente sul riempimento accettabile (%) |
|----------------------|-------------------------|---------------------|---|-----------------------------|--|
| 708 | h>D | 100% | - | 80% | - |
| 708 | h>D | 100% | - | 80% | - |
| 708 | h>D | 100% | - | 80% | - |

MPAR30

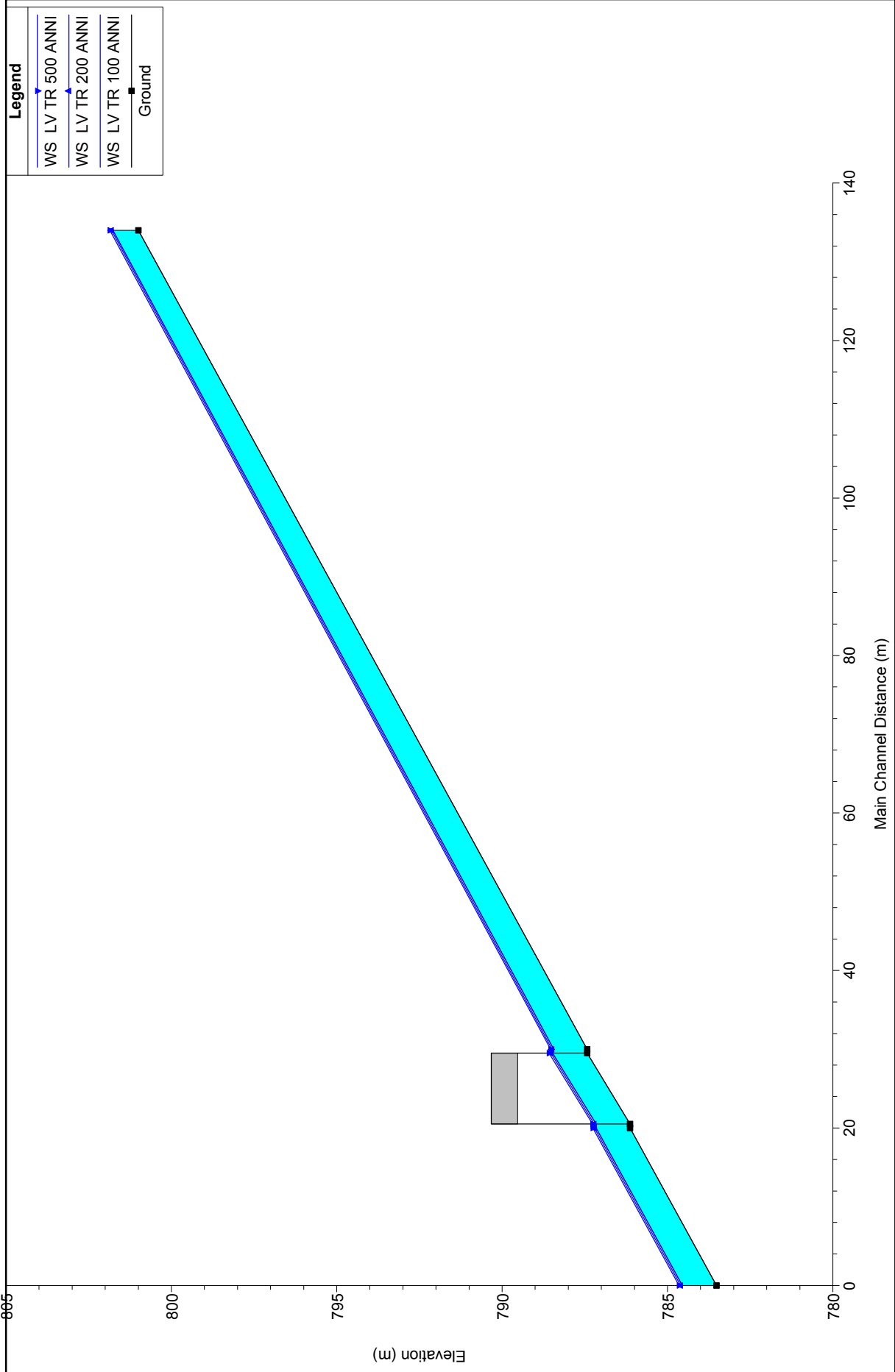
| quota di fondo (msm) | Livello Idrometrico (m) | Livello comprensivo del Trasporto solido (m) | Franco richiesto (m) | Quota intradosso (msm) | Franco esistente (m) |
|---------------------------------|------------------------------------|---|---------------------------------|---------------------------------------|---------------------------------|
| 650 | 0.80 | 1.07 | 1 | 1.00 | -0.07 |
| 650 | 0.84 | 1.12 | 1 | 1.00 | -0.12 |
| 650 | 0.92 | 1.23 | 1 | 1.00 | -0.23 |

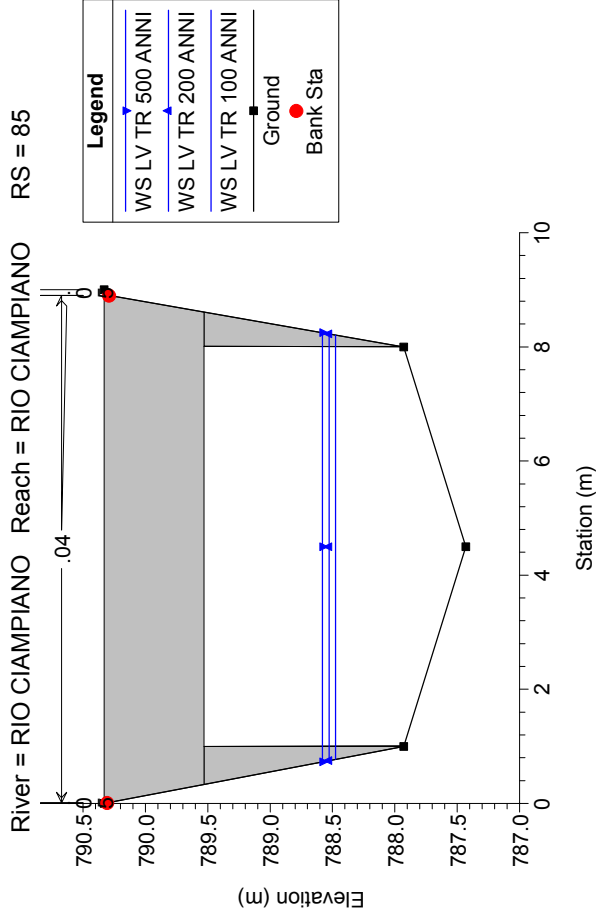
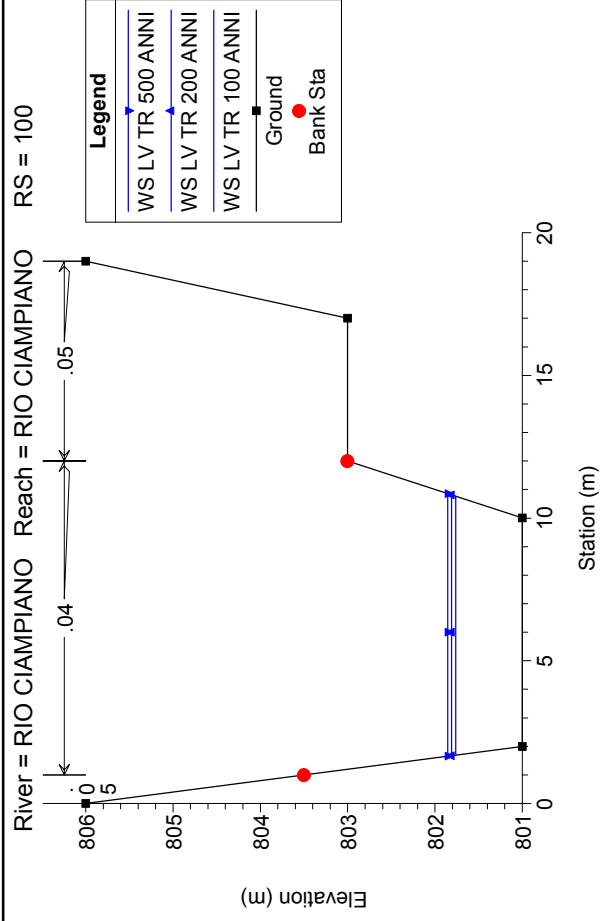
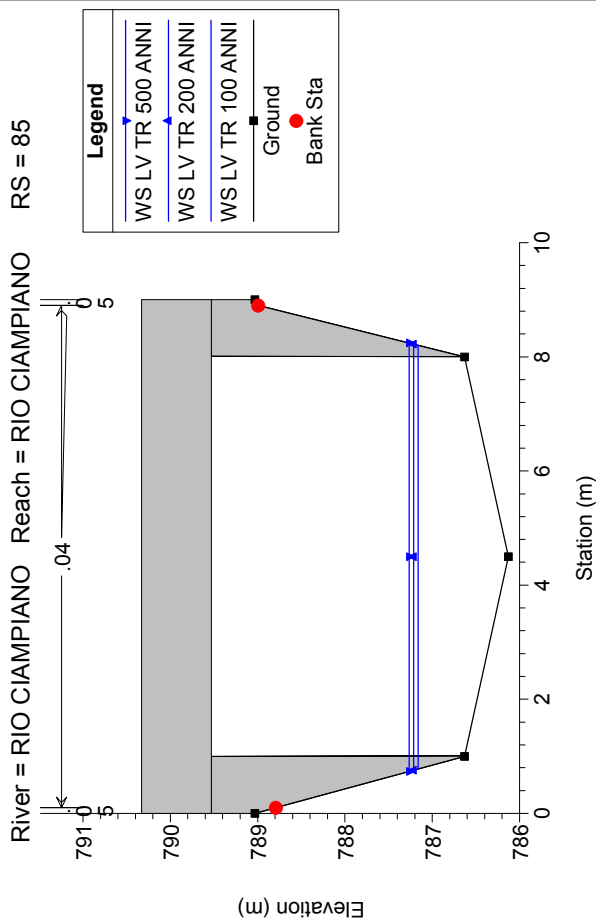
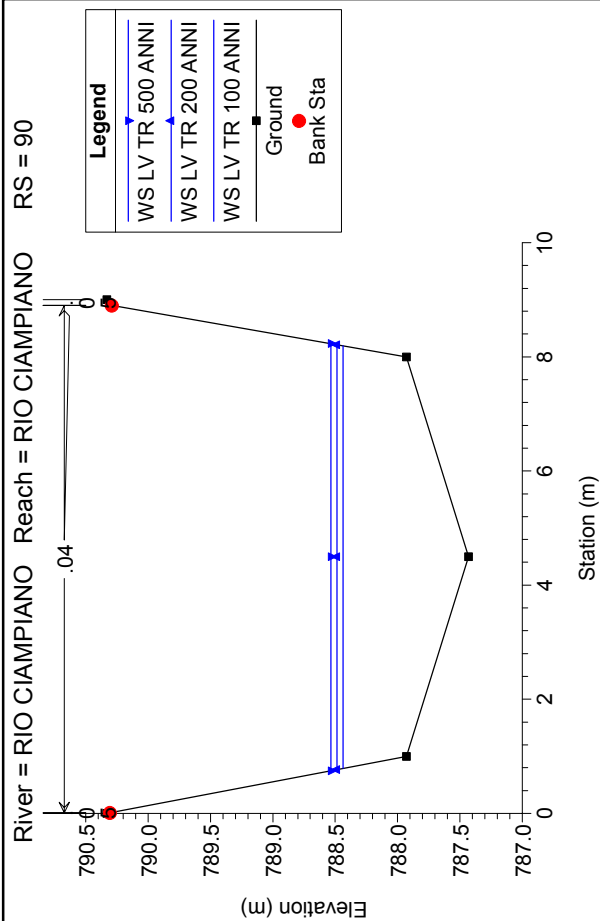
APPENDICE A output tabulati e grafici modello idraulico HEC – RAS

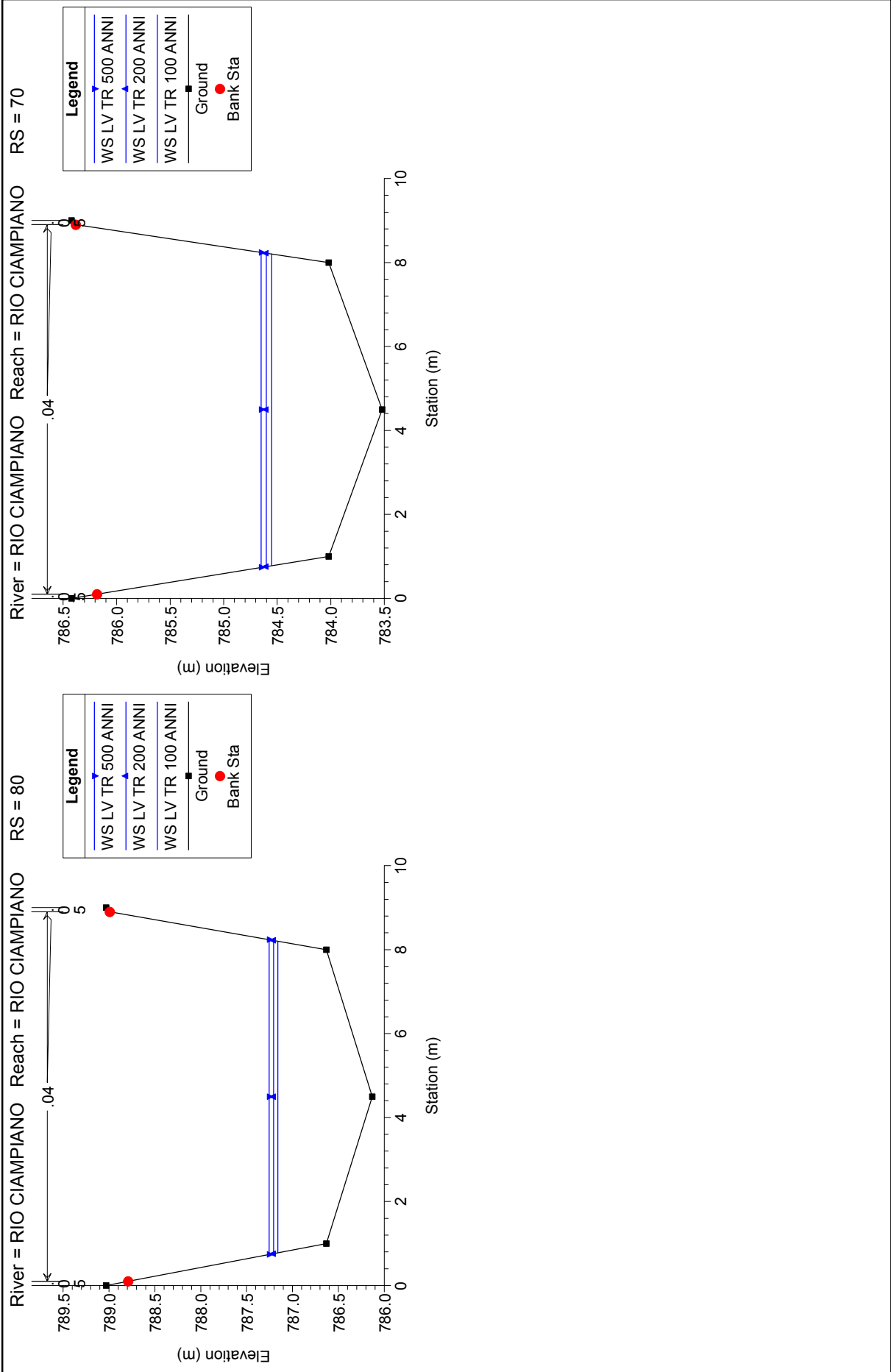
MANUFATTO CON SIGLA MPAR01 (Rio CIAMPIANO E SEZ APICALE)

HEC-RAS Plan: Plan 01 River: RIO CIAMPIANO Reach: RIO CIAMPIANO

| Reach | River Sta | Q Total (m3/s) | Min Ch El (m) | W.S. Elev (m) | Crit W.S. (m) | E.G. Elev (m) | E.G. Slope (m/m) | Vel Chnl (m/s) | Flow Area (m2) | Top Width (m) | Froude # Chl |
|---------------|-----------|-------------------|------------------|------------------|------------------|------------------|---------------------|-------------------|-------------------|------------------|--------------|
| RIO CIAMPIANO | 100 | 39.00 | 801.00 | 801.76 | 802.29 | 803.59 | 0.100052 | 5.98 | 6.52 | 9.07 | 2.25 |
| RIO CIAMPIANO | 100 | 43.00 | 801.00 | 801.81 | 802.37 | 803.76 | 0.100035 | 6.19 | 6.94 | 9.13 | 2.27 |
| RIO CIAMPIANO | 100 | 47.00 | 801.00 | 801.86 | 802.45 | 803.93 | 0.100037 | 6.39 | 7.36 | 9.20 | 2.28 |
| RIO CIAMPIANO | 90 | 39.00 | 787.43 | 788.44 | 789.12 | 791.09 | 0.144820 | 7.22 | 5.40 | 7.40 | 2.70 |
| RIO CIAMPIANO | 90 | 43.00 | 787.43 | 788.49 | 789.22 | 791.32 | 0.143536 | 7.45 | 5.77 | 7.44 | 2.70 |
| RIO CIAMPIANO | 90 | 47.00 | 787.43 | 788.54 | 789.31 | 791.53 | 0.142398 | 7.66 | 6.13 | 7.48 | 2.70 |
| RIO CIAMPIANO | 85 | Bridge | | | | | | | | | |
| RIO CIAMPIANO | 80 | 39.00 | 786.13 | 787.16 | 787.83 | 789.66 | 0.132126 | 7.01 | 5.56 | 7.42 | 2.58 |
| RIO CIAMPIANO | 80 | 43.00 | 786.13 | 787.21 | 787.92 | 789.89 | 0.132500 | 7.26 | 5.92 | 7.46 | 2.60 |
| RIO CIAMPIANO | 80 | 47.00 | 786.13 | 787.25 | 788.02 | 790.11 | 0.132516 | 7.49 | 6.28 | 7.50 | 2.61 |
| RIO CIAMPIANO | 70 | 39.00 | 783.52 | 784.55 | 785.21 | 787.03 | 0.130211 | 6.98 | 5.59 | 7.42 | 2.57 |
| RIO CIAMPIANO | 70 | 43.00 | 783.52 | 784.60 | 785.31 | 787.26 | 0.130172 | 7.22 | 5.96 | 7.46 | 2.58 |
| RIO CIAMPIANO | 70 | 47.00 | 783.52 | 784.65 | 785.40 | 787.47 | 0.130245 | 7.44 | 6.31 | 7.50 | 2.59 |







MANUFATTI CON SIGLA da MPAR02 a MPAR06 (Rio CIAMPIANO E SEZ MEDIA-
TERMINALE)

HEC-RAS Plan: Plan 01 River: CIAMPIANO Reach: CIAMPIANO

| Reach | River Sta | Q Total (m3/s) | Min Ch El (m) | W.S. Elev (m) | Crit W.S. (m) | E.G. Elev (m) | E.G. Slope (m/m) | Vel Chnl (m/s) | Flow Area (m2) | Top Width (m) | Froude # Chl |
|-----------|-----------|-------------------|------------------|------------------|------------------|------------------|---------------------|-------------------|-------------------|------------------|--------------|
| CIAMPIANO | 200 | 39.00 | 676.50 | 677.49 | 677.95 | 679.05 | 0.080036 | 5.52 | 7.06 | 9.46 | 2.04 |
| CIAMPIANO | 200 | 43.00 | 676.50 | 677.54 | 678.03 | 679.21 | 0.080045 | 5.72 | 7.52 | 9.50 | 2.05 |
| CIAMPIANO | 200 | 47.00 | 676.50 | 677.59 | 678.12 | 679.37 | 0.080035 | 5.90 | 7.96 | 9.54 | 2.06 |
| CIAMPIANO | 190 | 39.00 | 673.28 | 674.26 | 674.73 | 675.87 | 0.079823 | 5.61 | 6.95 | 9.45 | 2.09 |
| CIAMPIANO | 190 | 43.00 | 673.28 | 674.31 | 674.81 | 676.03 | 0.079720 | 5.81 | 7.41 | 9.49 | 2.10 |
| CIAMPIANO | 190 | 47.00 | 673.28 | 674.36 | 674.90 | 676.19 | 0.079640 | 5.99 | 7.84 | 9.53 | 2.11 |
| CIAMPIANO | 185 | Bridge | | | | | | | | | |
| CIAMPIANO | 180 | 39.00 | 672.56 | 673.56 | 674.01 | 675.11 | 0.079813 | 5.52 | 7.07 | 9.46 | 2.04 |
| CIAMPIANO | 180 | 43.00 | 672.56 | 673.60 | 674.09 | 675.28 | 0.080681 | 5.73 | 7.50 | 9.50 | 2.06 |
| CIAMPIANO | 180 | 47.00 | 672.56 | 673.65 | 674.18 | 675.44 | 0.080995 | 5.93 | 7.93 | 9.54 | 2.07 |
| CIAMPIANO | 170 | 39.00 | 661.86 | 662.67 | 663.18 | 664.40 | 0.088615 | 5.82 | 6.70 | 8.47 | 2.09 |
| CIAMPIANO | 170 | 43.00 | 661.86 | 662.72 | 663.27 | 664.58 | 0.088963 | 6.03 | 7.13 | 8.49 | 2.10 |
| CIAMPIANO | 170 | 47.00 | 661.86 | 662.77 | 663.35 | 664.75 | 0.089475 | 6.24 | 7.54 | 8.52 | 2.12 |
| CIAMPIANO | 165 | Bridge | | | | | | | | | |
| CIAMPIANO | 160 | 39.00 | 661.14 | 661.98 | 662.46 | 663.61 | 0.081466 | 5.66 | 6.89 | 8.48 | 2.01 |
| CIAMPIANO | 160 | 43.00 | 661.14 | 662.03 | 662.54 | 663.78 | 0.081954 | 5.87 | 7.32 | 8.51 | 2.02 |
| CIAMPIANO | 160 | 47.00 | 661.14 | 662.08 | 662.63 | 663.96 | 0.082580 | 6.08 | 7.74 | 8.53 | 2.04 |
| CIAMPIANO | 154.5 | 39.00 | 653.56 | 654.70 | 655.18 | 656.20 | 0.067655 | 5.43 | 7.18 | 8.93 | 1.93 |
| CIAMPIANO | 154.5 | 43.00 | 653.56 | 654.76 | 655.26 | 656.35 | 0.067766 | 5.58 | 7.70 | 9.20 | 1.95 |
| CIAMPIANO | 154.5 | 47.00 | 653.56 | 654.81 | 655.34 | 656.48 | 0.068034 | 5.73 | 8.21 | 9.45 | 1.96 |
| CIAMPIANO | 154 | 39.00 | 652.06 | 652.95 | 653.68 | 655.95 | 0.176341 | 7.67 | 5.08 | 7.77 | 3.03 |
| CIAMPIANO | 154 | 43.00 | 652.06 | 653.01 | 653.76 | 656.09 | 0.170172 | 7.79 | 5.52 | 8.03 | 3.00 |
| CIAMPIANO | 154 | 47.00 | 652.06 | 653.06 | 653.84 | 656.23 | 0.164879 | 7.89 | 5.95 | 8.27 | 2.97 |
| CIAMPIANO | 152 | 39.00 | 649.02 | 650.23 | 650.56 | 651.30 | 0.058536 | 4.60 | 8.49 | 12.55 | 1.78 |
| CIAMPIANO | 152 | 43.00 | 649.02 | 650.28 | 650.62 | 651.41 | 0.058937 | 4.72 | 9.11 | 13.00 | 1.80 |
| CIAMPIANO | 152 | 47.00 | 649.02 | 650.32 | 650.68 | 651.52 | 0.059332 | 4.84 | 9.71 | 13.41 | 1.82 |

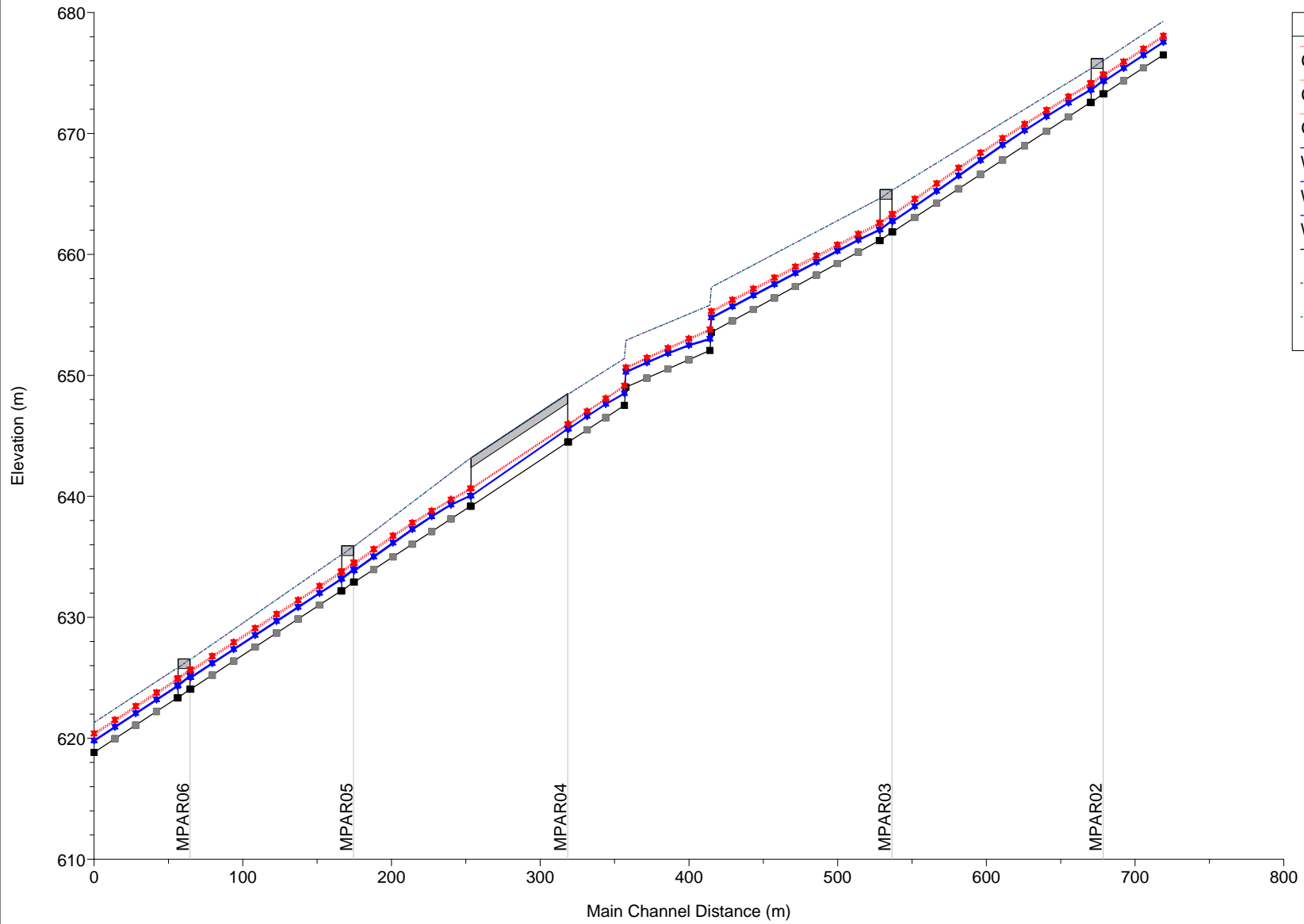
HEC-RAS Plan: Plan 01 River: CIAMPIANO Reach: CIAMPIANO (Continued)

| Reach | River Sta | Q Total (m3/s) | Min Ch El (m) | W.S. Elev (m) | Crit W.S. (m) | E.G. Elev (m) | E.G. Slope (m/m) | Vel Chnl (m/s) | Flow Area (m2) | Top Width (m) | Froude # Chl |
|-----------|-----------|-------------------|------------------|------------------|------------------|------------------|---------------------|-------------------|-------------------|------------------|--------------|
| CIAMPIANO | 151.8 | 39.00 | 647.52 | 648.46 | 649.06 | 651.06 | 0.190026 | 7.14 | 5.47 | 10.11 | 3.10 |
| CIAMPIANO | 151.8 | 43.00 | 647.52 | 648.51 | 649.12 | 651.17 | 0.183531 | 7.22 | 5.96 | 10.54 | 3.07 |
| CIAMPIANO | 151.8 | 47.00 | 647.52 | 648.55 | 649.18 | 651.27 | 0.178003 | 7.30 | 6.44 | 10.96 | 3.04 |
| CIAMPIANO | 150 | 39.00 | 644.49 | 645.53 | 645.87 | 646.72 | 0.087175 | 4.84 | 8.07 | 15.03 | 2.11 |
| CIAMPIANO | 150 | 43.00 | 644.49 | 645.56 | 645.93 | 646.84 | 0.086010 | 5.00 | 8.60 | 15.05 | 2.11 |
| CIAMPIANO | 150 | 47.00 | 644.49 | 645.60 | 645.99 | 646.96 | 0.086020 | 5.17 | 9.09 | 15.07 | 2.12 |
| CIAMPIANO | 145 | Bridge | | | | | | | | | |
| CIAMPIANO | 140 | 39.00 | 639.18 | 640.02 | 640.56 | 642.83 | 0.285986 | 7.43 | 5.25 | 12.55 | 3.67 |
| CIAMPIANO | 140 | 43.00 | 639.18 | 640.05 | 640.62 | 642.98 | 0.283018 | 7.59 | 5.67 | 13.04 | 3.67 |
| CIAMPIANO | 140 | 47.00 | 639.18 | 640.08 | 640.68 | 643.08 | 0.274456 | 7.67 | 6.13 | 13.56 | 3.64 |
| CIAMPIANO | 130 | 39.00 | 632.91 | 633.79 | 634.34 | 635.66 | 0.089428 | 6.05 | 6.45 | 7.59 | 2.09 |
| CIAMPIANO | 130 | 43.00 | 632.91 | 633.85 | 634.44 | 635.83 | 0.088560 | 6.24 | 6.90 | 7.63 | 2.09 |
| CIAMPIANO | 130 | 47.00 | 632.91 | 633.91 | 634.52 | 636.00 | 0.087522 | 6.40 | 7.34 | 7.67 | 2.09 |
| CIAMPIANO | 125 | Bridge | | | | | | | | | |
| CIAMPIANO | 120 | 39.00 | 632.18 | 633.08 | 633.61 | 634.87 | 0.083928 | 5.92 | 6.58 | 7.60 | 2.03 |
| CIAMPIANO | 120 | 43.00 | 632.18 | 633.14 | 633.70 | 635.05 | 0.083614 | 6.12 | 7.03 | 7.64 | 2.04 |
| CIAMPIANO | 120 | 47.00 | 632.18 | 633.20 | 633.80 | 635.22 | 0.083069 | 6.29 | 7.47 | 7.68 | 2.04 |
| CIAMPIANO | 110 | 39.00 | 624.06 | 624.97 | 625.48 | 626.70 | 0.080508 | 5.84 | 6.68 | 7.73 | 2.00 |
| CIAMPIANO | 110 | 43.00 | 624.06 | 625.02 | 625.58 | 626.88 | 0.080516 | 6.04 | 7.12 | 7.77 | 2.01 |
| CIAMPIANO | 110 | 47.00 | 624.06 | 625.08 | 625.67 | 627.05 | 0.080533 | 6.22 | 7.55 | 7.82 | 2.02 |
| CIAMPIANO | 105 | Bridge | | | | | | | | | |
| CIAMPIANO | 100 | 39.00 | 623.34 | 624.25 | 624.76 | 625.97 | 0.079584 | 5.81 | 6.71 | 7.73 | 1.99 |
| CIAMPIANO | 100 | 43.00 | 623.34 | 624.31 | 624.86 | 626.15 | 0.079334 | 6.01 | 7.16 | 7.78 | 2.00 |
| CIAMPIANO | 100 | 47.00 | 623.34 | 624.37 | 624.95 | 626.31 | 0.079048 | 6.18 | 7.60 | 7.82 | 2.00 |

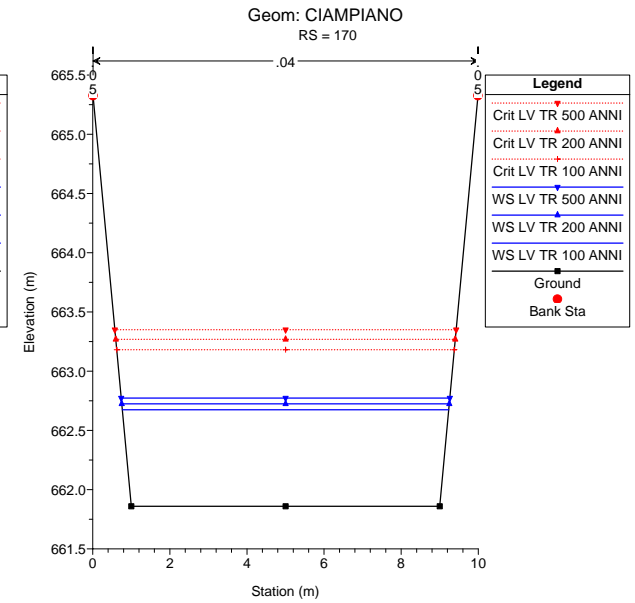
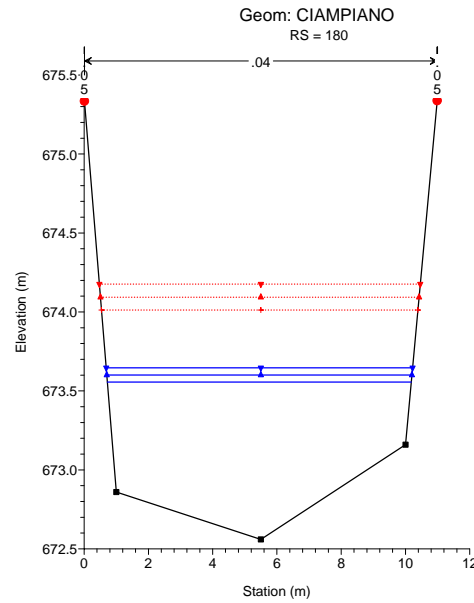
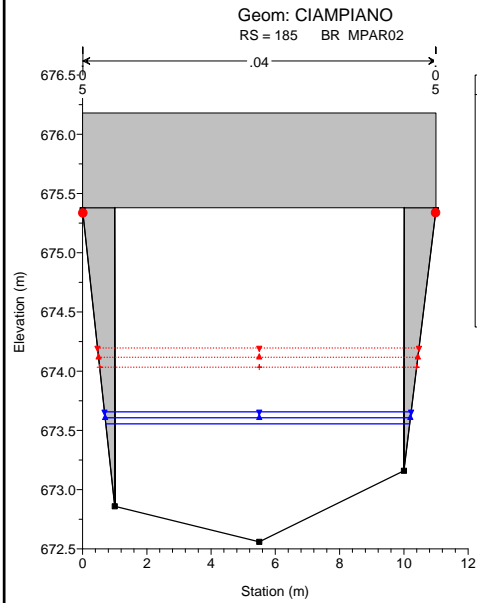
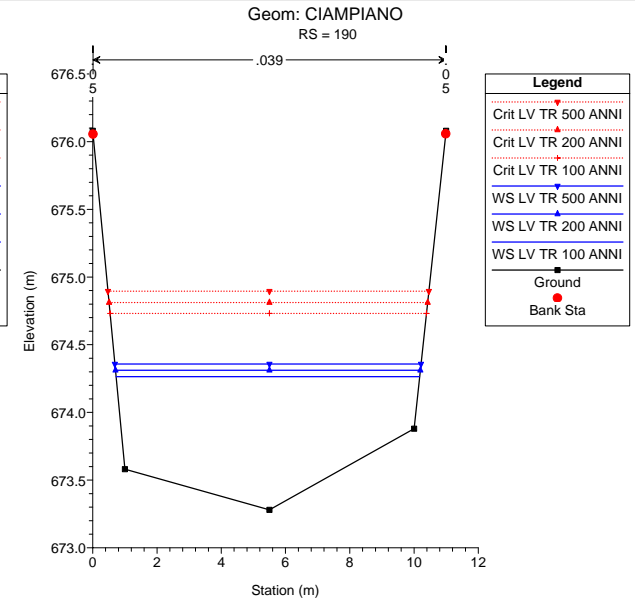
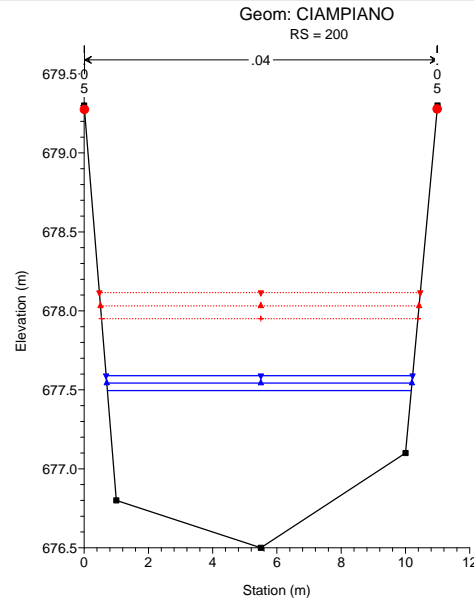
HEC-RAS Plan: Plan 01 River: CIAMPIANO Reach: CIAMPIANO (Continued)

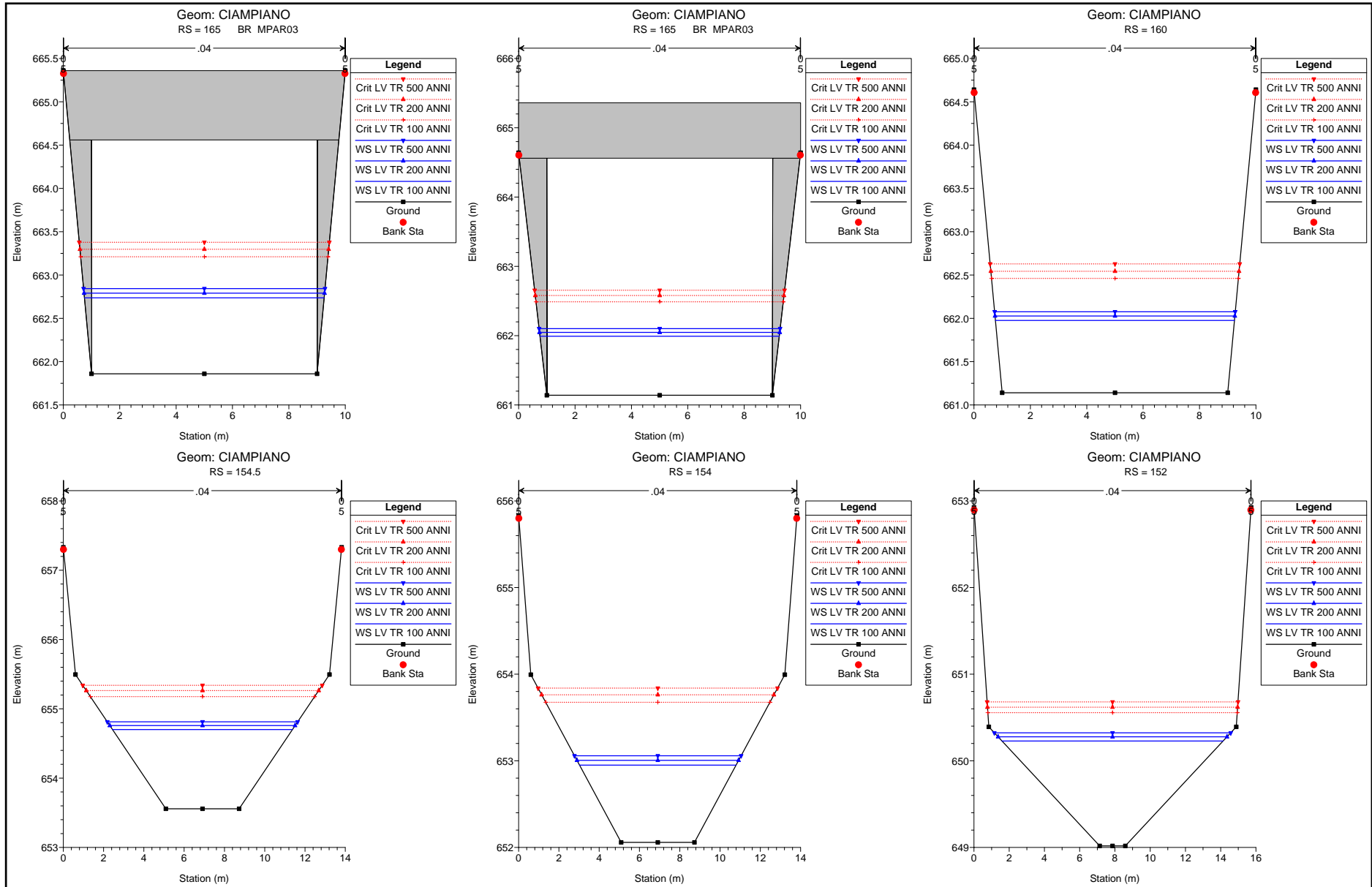
| Reach | River Sta | Q Total (m3/s) | Min Ch El (m) | W.S. Elev (m) | Crit W.S. (m) | E.G. Elev (m) | E.G. Slope (m/m) | Vel Chnl (m/s) | Flow Area (m2) | Top Width (m) | Froude # Chl |
|-----------|-----------|-------------------|------------------|------------------|------------------|------------------|---------------------|-------------------|-------------------|------------------|--------------|
| CIAMPIANO | 90 | 39.00 | 618.83 | 619.74 | 620.25 | 621.47 | 0.080583 | 5.84 | 6.68 | 7.73 | 2.00 |
| CIAMPIANO | 90 | 43.00 | 618.83 | 619.79 | 620.35 | 621.65 | 0.080585 | 6.04 | 7.12 | 7.77 | 2.01 |
| CIAMPIANO | 90 | 47.00 | 618.83 | 619.85 | 620.44 | 621.82 | 0.080580 | 6.22 | 7.55 | 7.82 | 2.02 |

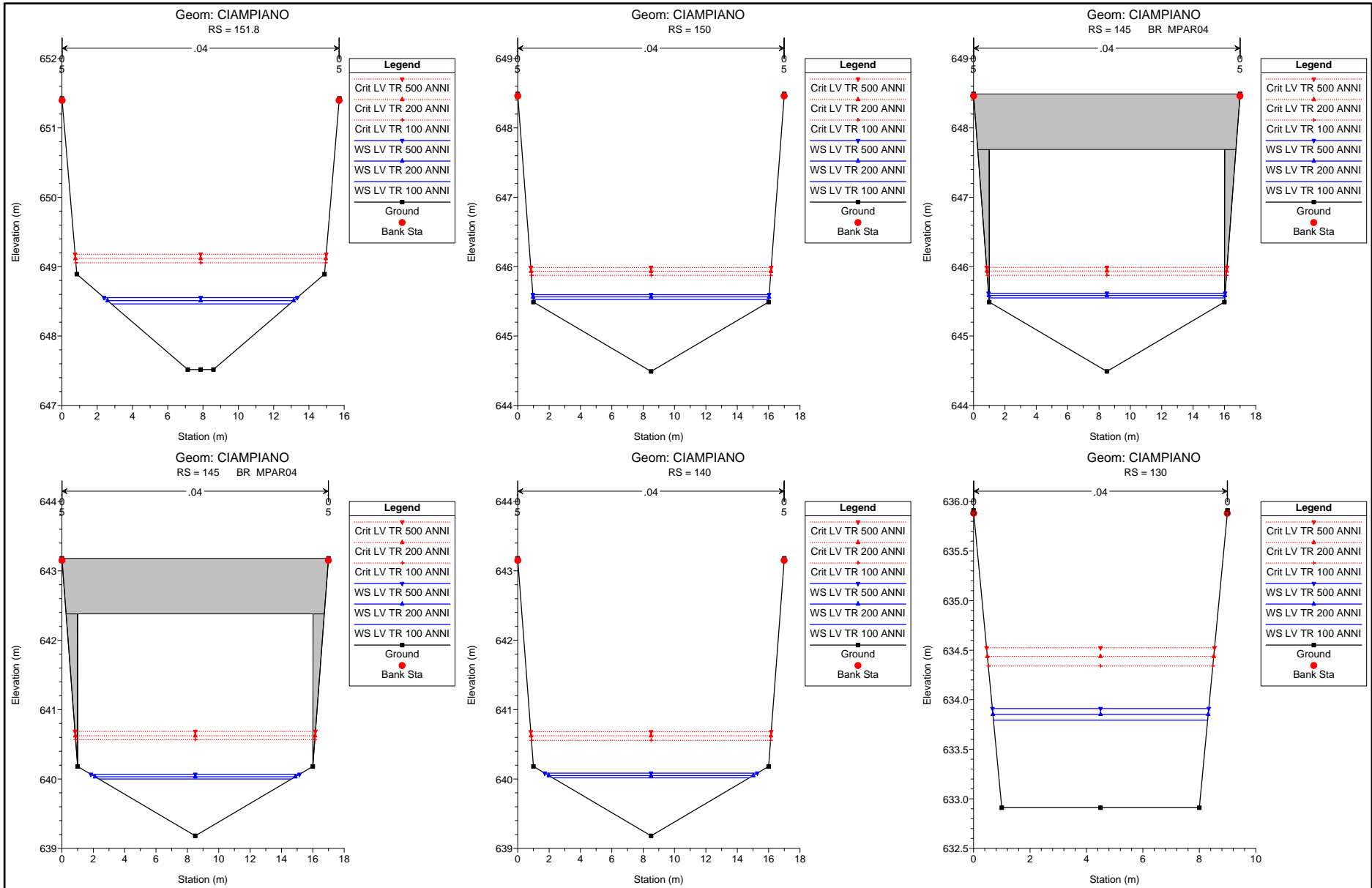
Geom: CIAMPIANO

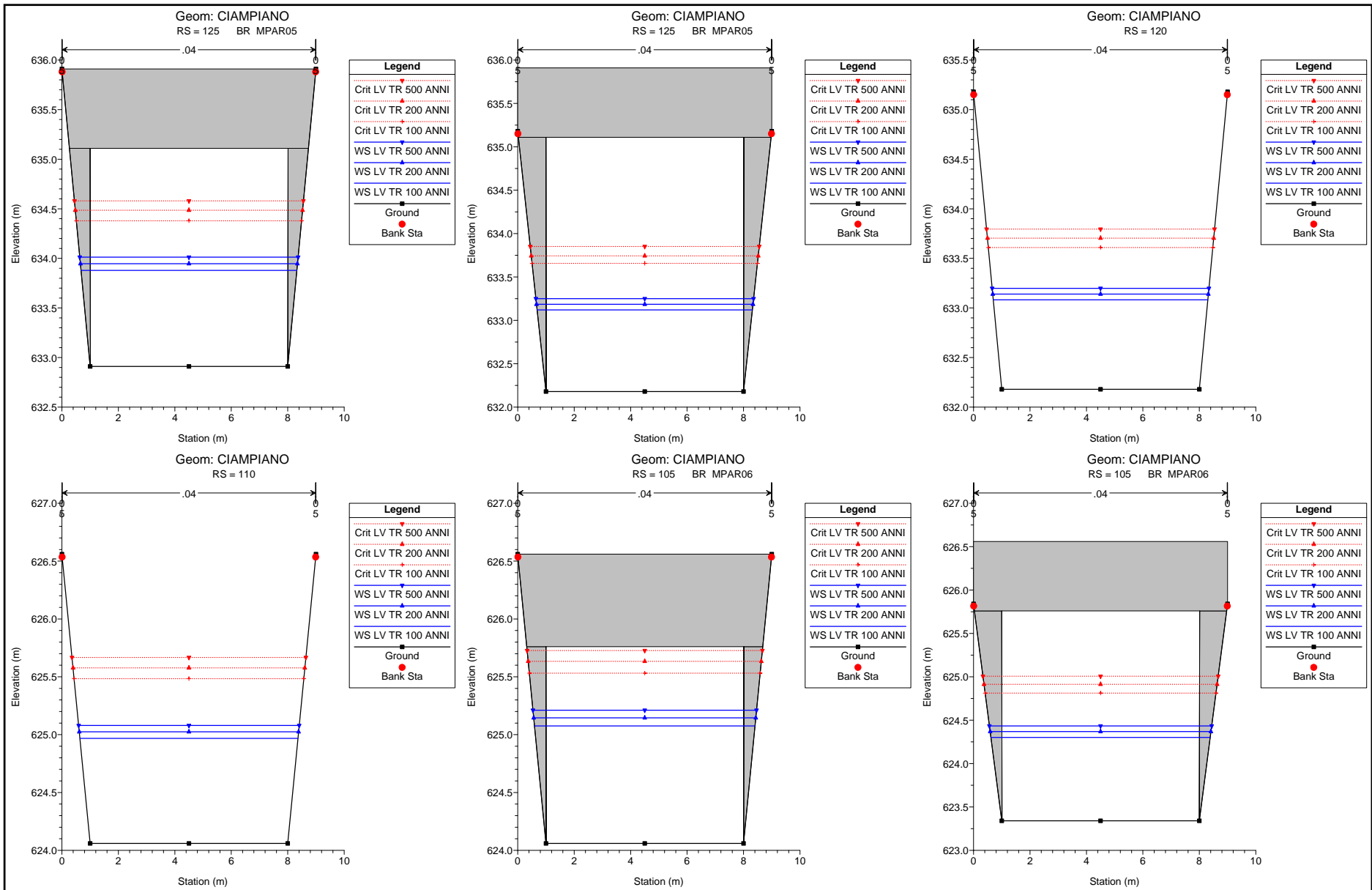


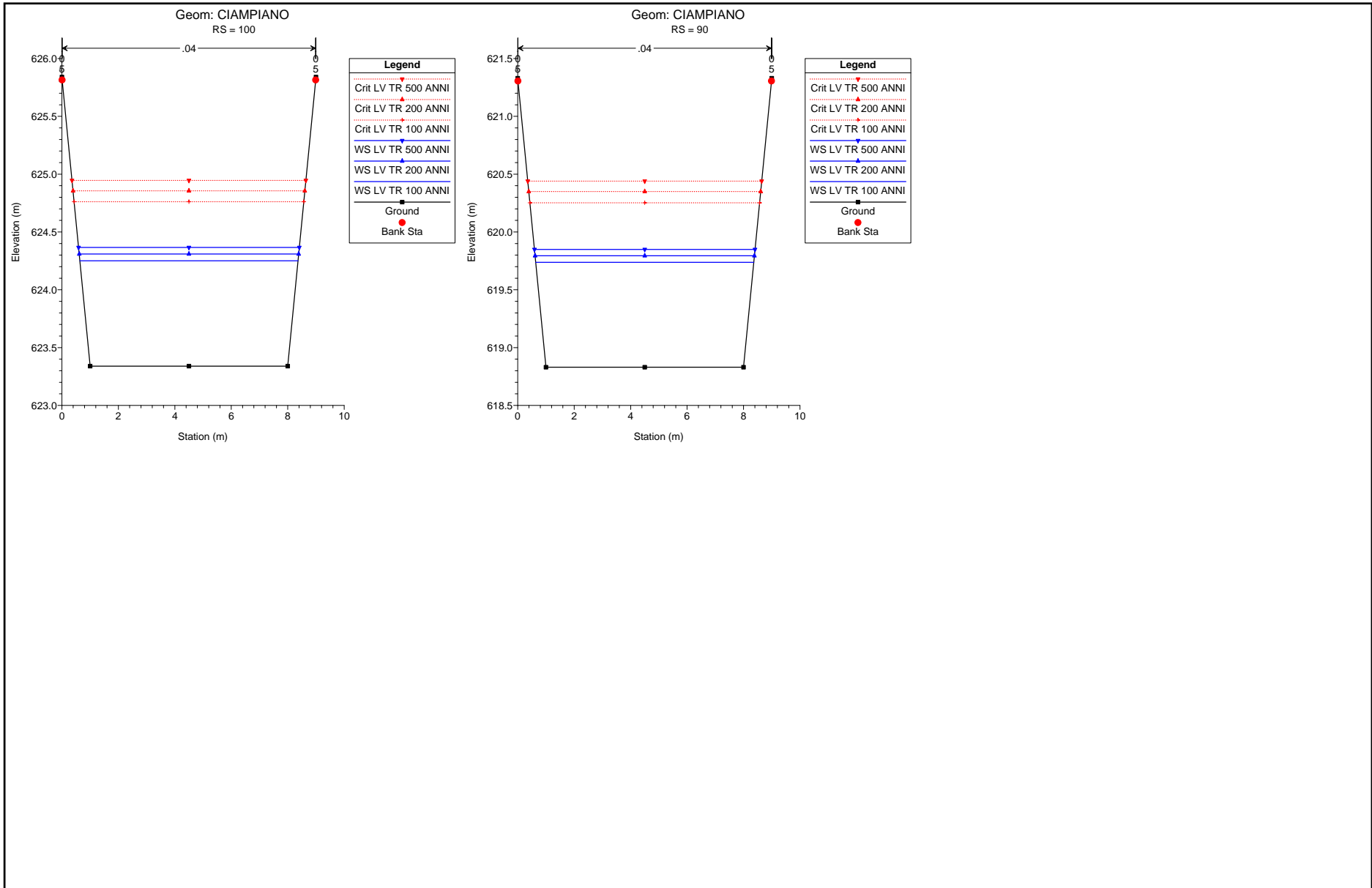
No Data for Plot









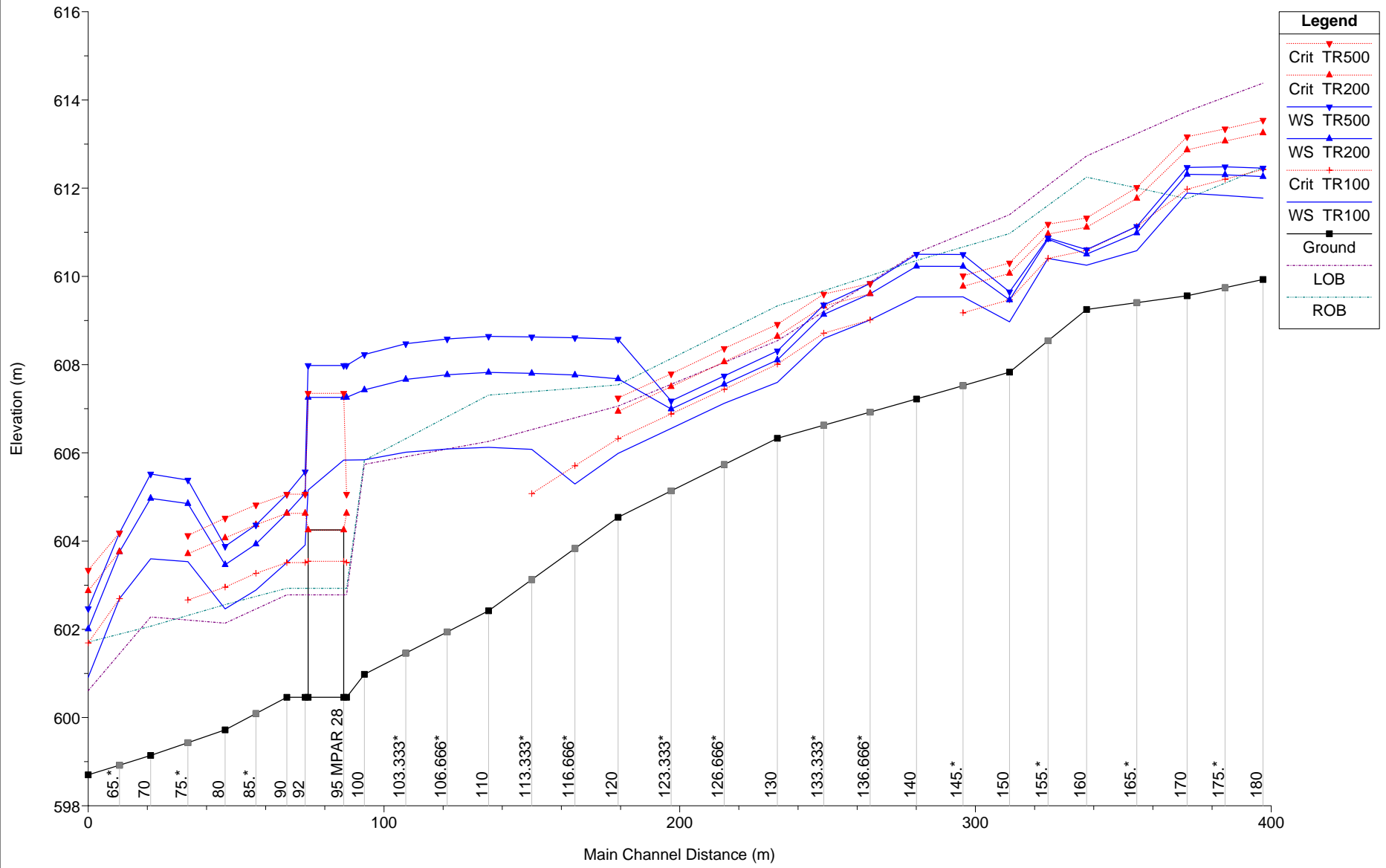


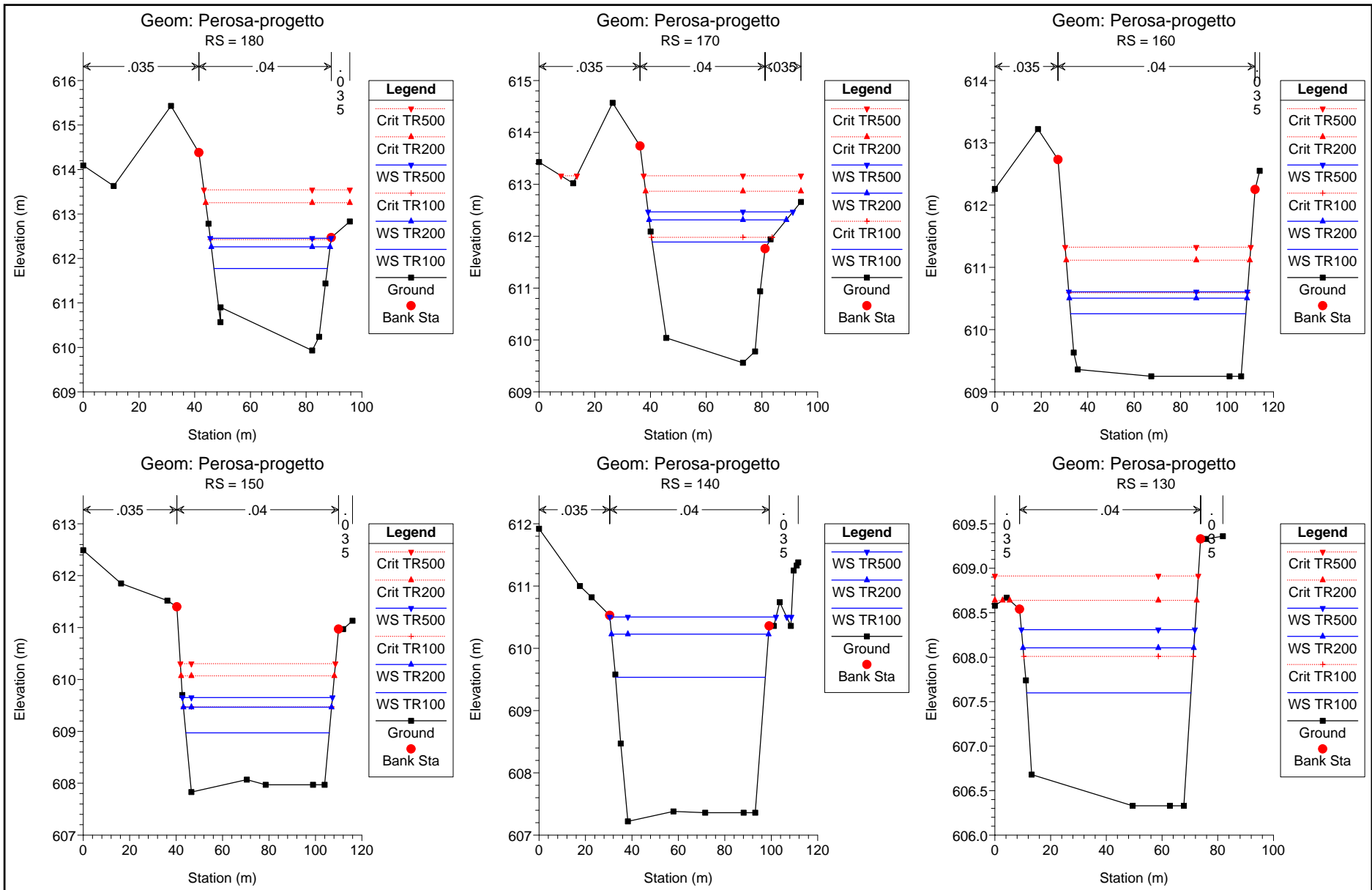
MODELLO HEC RAS TORRENTE CHISONE

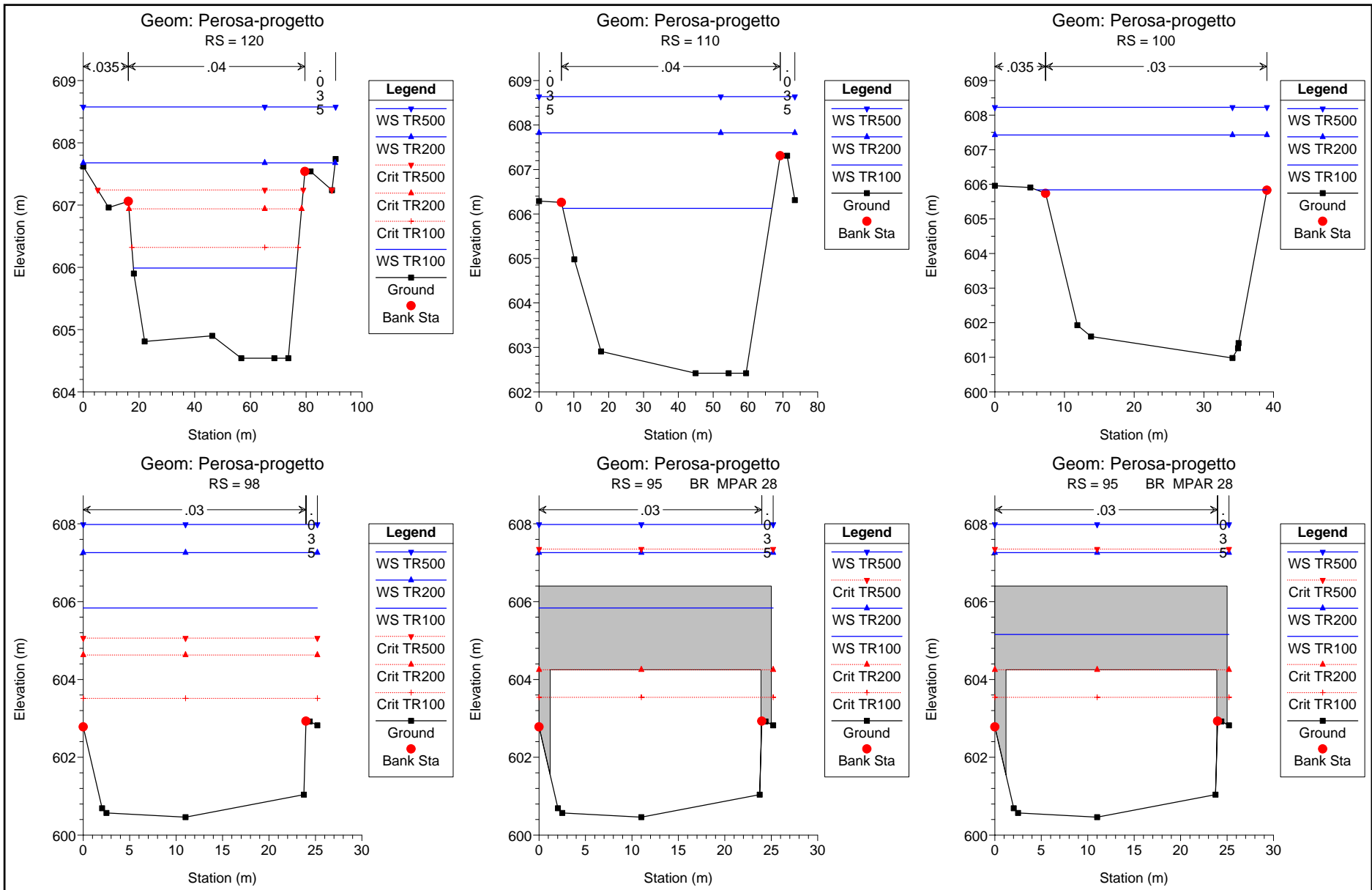
HEC-RAS Plan: MPAR28 River: Chisone Reach: Perosa2

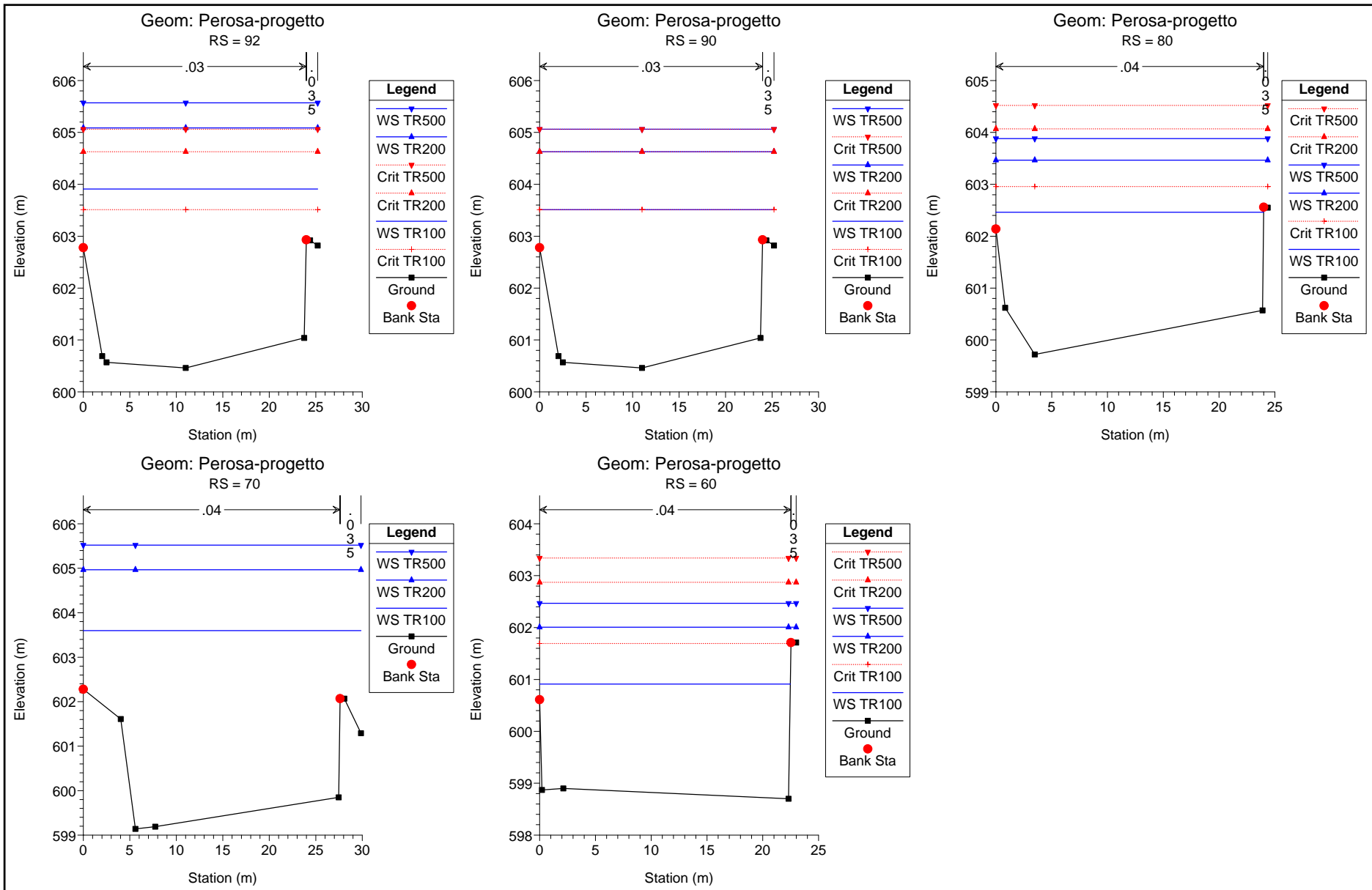
| Reach | River Sta | Profile | Q Total (m3/s) | Min Ch El (m) | W.S. Elev (m) | Crit W.S. (m) | E.G. Elev (m) | E.G. Slope (m/m) | Vel Chnl (m/s) | Flow Area (m2) | Top Width (m) | Froude # Chl |
|---------|-----------|---------|-------------------|------------------|------------------|------------------|------------------|---------------------|-------------------|-------------------|------------------|--------------|
| Perosa2 | 180 | TR100 | 343.00 | 609.93 | 611.77 | 612.42 | 613.94 | 0.050005 | 6.52 | 52.57 | 40.71 | 1.83 |
| Perosa2 | 180 | TR200 | 572.00 | 609.93 | 612.26 | 613.25 | 615.40 | 0.050065 | 7.85 | 72.89 | 42.65 | 1.92 |
| Perosa2 | 180 | TR500 | 675.00 | 609.93 | 612.45 | 613.54 | 615.98 | 0.050013 | 8.32 | 81.15 | 43.41 | 1.94 |
| Perosa2 | 170 | TR100 | 343.00 | 609.56 | 611.89 | 611.98 | 612.94 | 0.014764 | 4.54 | 75.67 | 41.94 | 1.06 |
| Perosa2 | 170 | TR200 | 572.00 | 609.56 | 612.31 | 612.87 | 614.21 | 0.021016 | 6.11 | 95.08 | 49.26 | 1.30 |
| Perosa2 | 170 | TR500 | 675.00 | 609.56 | 612.47 | 613.16 | 614.74 | 0.023481 | 6.71 | 102.88 | 51.95 | 1.39 |
| Perosa2 | 160 | TR100 | 343.00 | 609.25 | 610.25 | 610.59 | 611.42 | 0.039544 | 4.79 | 71.66 | 75.46 | 1.57 |
| Perosa2 | 160 | TR200 | 572.00 | 609.25 | 610.51 | 611.11 | 612.53 | 0.051057 | 6.30 | 90.76 | 76.51 | 1.85 |
| Perosa2 | 160 | TR500 | 675.00 | 609.25 | 610.61 | 611.32 | 613.00 | 0.054673 | 6.86 | 98.44 | 76.93 | 1.93 |
| Perosa2 | 150 | TR100 | 343.00 | 607.83 | 608.97 | 609.47 | 610.65 | 0.055476 | 5.73 | 59.82 | 61.76 | 1.86 |
| Perosa2 | 150 | TR200 | 572.00 | 607.83 | 609.47 | 610.07 | 611.48 | 0.040020 | 6.29 | 90.96 | 63.79 | 1.68 |
| Perosa2 | 150 | TR500 | 675.00 | 607.83 | 609.65 | 610.30 | 611.85 | 0.037737 | 6.57 | 102.78 | 64.55 | 1.66 |
| Perosa2 | 140 | TR100 | 343.00 | 607.22 | 609.53 | | 609.88 | 0.004302 | 2.61 | 131.48 | 64.51 | 0.58 |
| Perosa2 | 140 | TR200 | 572.00 | 607.22 | 610.23 | | 610.76 | 0.004722 | 3.23 | 177.36 | 67.66 | 0.64 |
| Perosa2 | 140 | TR500 | 675.00 | 607.22 | 610.50 | | 611.11 | 0.004805 | 3.44 | 196.49 | 73.55 | 0.65 |
| Perosa2 | 130 | TR100 | 343.00 | 606.33 | 607.60 | 608.01 | 609.00 | 0.038775 | 5.24 | 65.41 | 58.96 | 1.59 |
| Perosa2 | 130 | TR200 | 572.00 | 606.33 | 608.10 | 608.64 | 609.92 | 0.031934 | 5.97 | 95.81 | 61.28 | 1.52 |
| Perosa2 | 130 | TR500 | 675.00 | 606.33 | 608.31 | 608.91 | 610.28 | 0.030056 | 6.22 | 108.50 | 62.27 | 1.50 |
| Perosa2 | 120 | TR100 | 343.00 | 604.54 | 605.99 | 606.32 | 607.22 | 0.031016 | 4.92 | 69.69 | 58.45 | 1.44 |
| Perosa2 | 120 | TR200 | 572.00 | 604.54 | 607.68 | 606.94 | 608.20 | 0.004469 | 3.23 | 184.40 | 90.42 | 0.62 |
| Perosa2 | 120 | TR500 | 675.00 | 604.54 | 608.58 | 607.24 | 608.93 | 0.002134 | 2.70 | 265.83 | 90.58 | 0.45 |
| Perosa2 | 110 | TR100 | 343.00 | 602.42 | 606.12 | | 606.31 | 0.001384 | 1.91 | 180.00 | 60.03 | 0.35 |
| Perosa2 | 110 | TR200 | 572.00 | 602.42 | 607.82 | | 608.02 | 0.000850 | 1.97 | 298.47 | 73.44 | 0.29 |
| Perosa2 | 110 | TR500 | 675.00 | 602.42 | 608.64 | | 608.83 | 0.000667 | 1.94 | 358.40 | 73.44 | 0.27 |
| Perosa2 | 100 | TR100 | 343.00 | 600.98 | 605.84 | | 606.24 | 0.001334 | 2.80 | 122.77 | 33.06 | 0.45 |
| Perosa2 | 100 | TR200 | 572.00 | 600.98 | 607.43 | | 607.95 | 0.001195 | 3.23 | 184.19 | 39.06 | 0.44 |
| Perosa2 | 100 | TR500 | 675.00 | 600.98 | 608.23 | | 608.76 | 0.001057 | 3.28 | 215.54 | 39.06 | 0.42 |
| Perosa2 | 98 | TR100 | 343.00 | 600.46 | 605.84 | 603.51 | 606.23 | 0.001066 | 2.79 | 125.37 | 25.21 | 0.40 |
| Perosa2 | 98 | TR200 | 572.00 | 600.46 | 607.26 | 604.63 | 607.93 | 0.001384 | 3.64 | 161.21 | 25.21 | 0.46 |
| Perosa2 | 98 | TR500 | 675.00 | 600.46 | 607.98 | 605.06 | 608.73 | 0.001398 | 3.86 | 179.43 | 25.21 | 0.46 |
| Perosa2 | 95 | | Bridge | | | | | | | | | |
| Perosa2 | 92 | TR100 | 343.00 | 600.46 | 603.91 | 603.51 | 604.95 | 0.004819 | 4.52 | 76.81 | 25.21 | 0.81 |
| Perosa2 | 92 | TR200 | 572.00 | 600.46 | 605.09 | 604.63 | 606.60 | 0.004889 | 5.47 | 106.48 | 25.21 | 0.84 |
| Perosa2 | 92 | TR500 | 675.00 | 600.46 | 605.57 | 605.06 | 607.27 | 0.004885 | 5.80 | 118.65 | 25.21 | 0.84 |
| Perosa2 | 90 | TR100 | 343.00 | 600.46 | 603.51 | 603.51 | 604.88 | 0.007439 | 5.18 | 66.79 | 25.21 | 1.00 |
| Perosa2 | 90 | TR200 | 572.00 | 600.46 | 604.63 | 604.63 | 606.53 | 0.006964 | 6.12 | 94.92 | 25.21 | 0.99 |
| Perosa2 | 90 | TR500 | 675.00 | 600.46 | 605.06 | 605.06 | 607.19 | 0.006929 | 6.49 | 105.86 | 25.21 | 1.00 |
| Perosa2 | 80 | TR100 | 343.00 | 599.72 | 602.46 | 602.96 | 604.49 | 0.025254 | 6.31 | 54.38 | 24.00 | 1.34 |
| Perosa2 | 80 | TR200 | 572.00 | 599.72 | 603.46 | 604.07 | 606.17 | 0.021798 | 7.29 | 78.76 | 24.36 | 1.29 |
| Perosa2 | 80 | TR500 | 675.00 | 599.72 | 603.88 | 604.52 | 606.84 | 0.020716 | 7.62 | 88.94 | 24.36 | 1.27 |
| Perosa2 | 70 | TR100 | 343.00 | 599.14 | 603.60 | | 604.14 | 0.003765 | 3.29 | 106.22 | 29.86 | 0.55 |
| Perosa2 | 70 | TR200 | 572.00 | 599.14 | 604.97 | | 605.76 | 0.003827 | 3.99 | 147.10 | 29.86 | 0.57 |
| Perosa2 | 70 | TR500 | 675.00 | 599.14 | 605.52 | | 606.42 | 0.003845 | 4.24 | 163.63 | 29.86 | 0.57 |
| Perosa2 | 60 | TR100 | 343.00 | 598.70 | 600.91 | 601.69 | 603.63 | 0.039636 | 7.31 | 46.93 | 22.47 | 1.61 |
| Perosa2 | 60 | TR200 | 572.00 | 598.70 | 602.01 | 602.87 | 605.26 | 0.029569 | 7.99 | 71.73 | 22.99 | 1.43 |
| Perosa2 | 60 | TR500 | 675.00 | 598.70 | 602.47 | 603.34 | 605.91 | 0.026739 | 8.22 | 82.33 | 22.99 | 1.38 |

Geom: Perosa-progetto





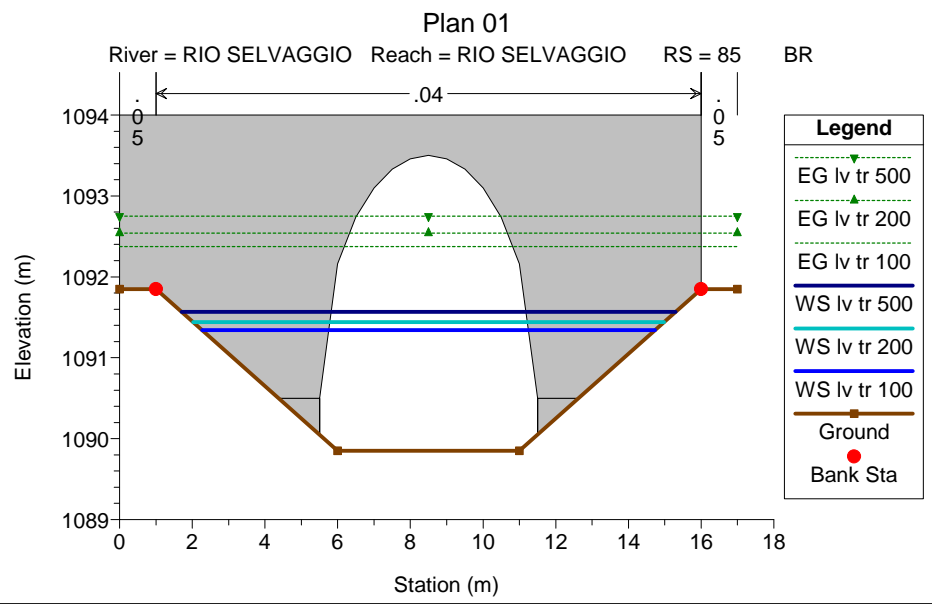
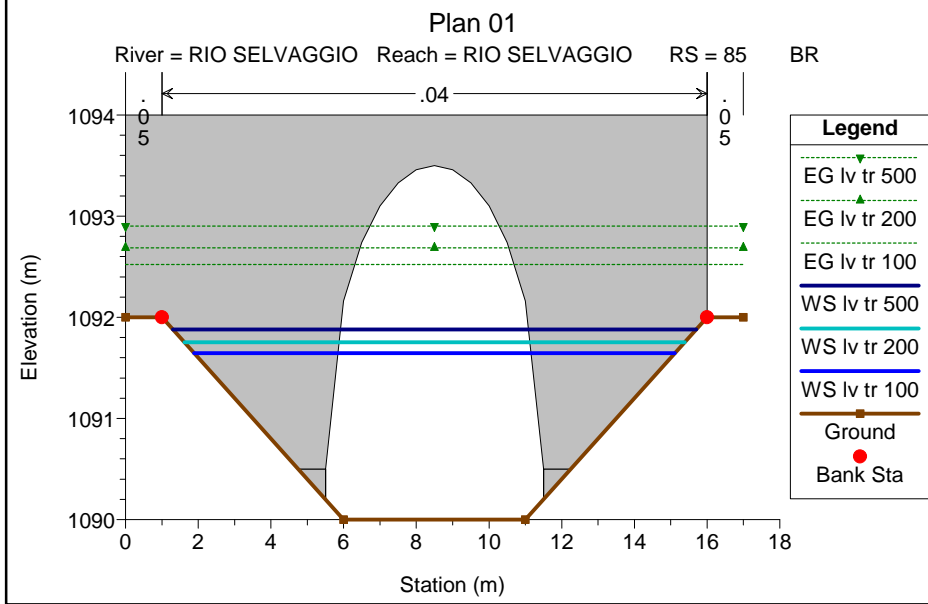
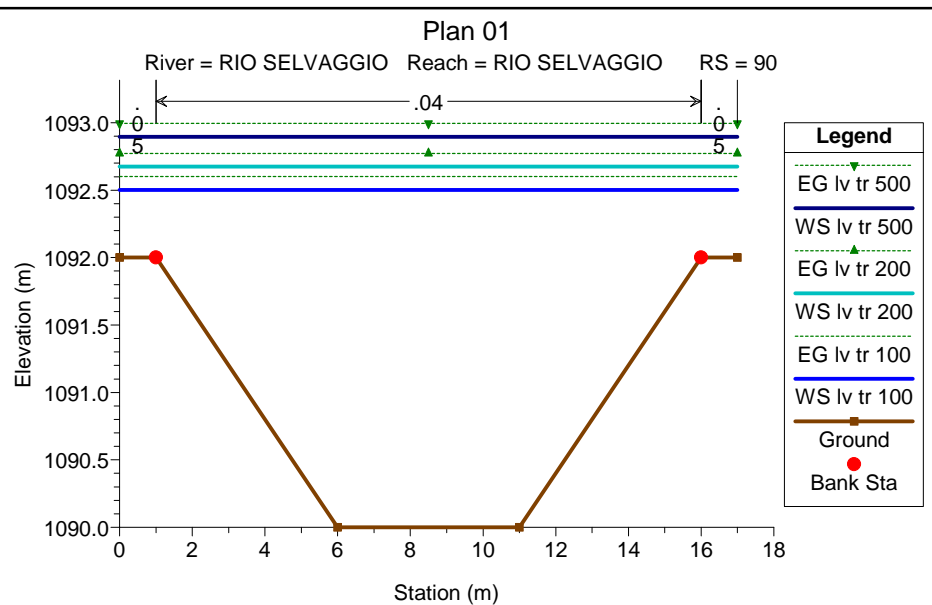
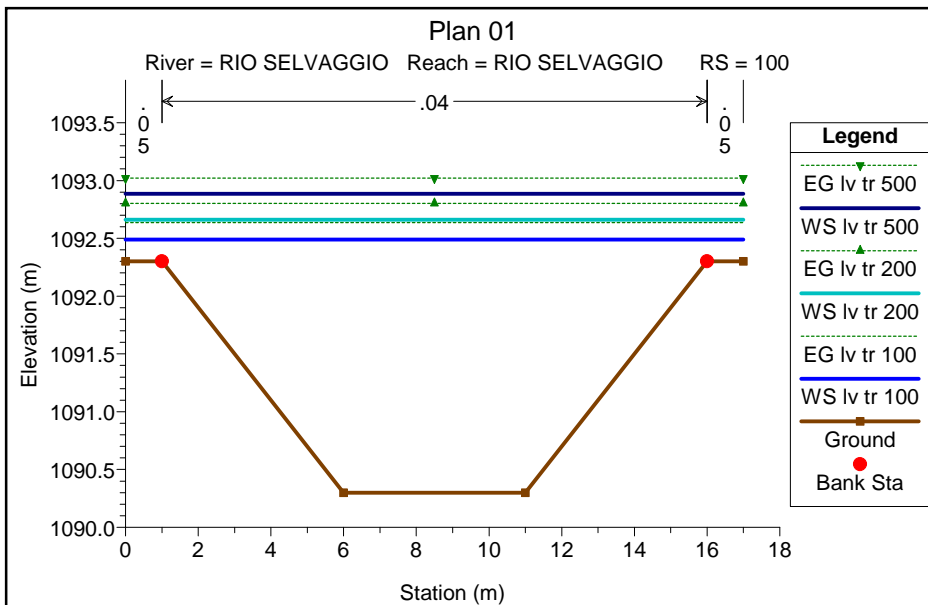


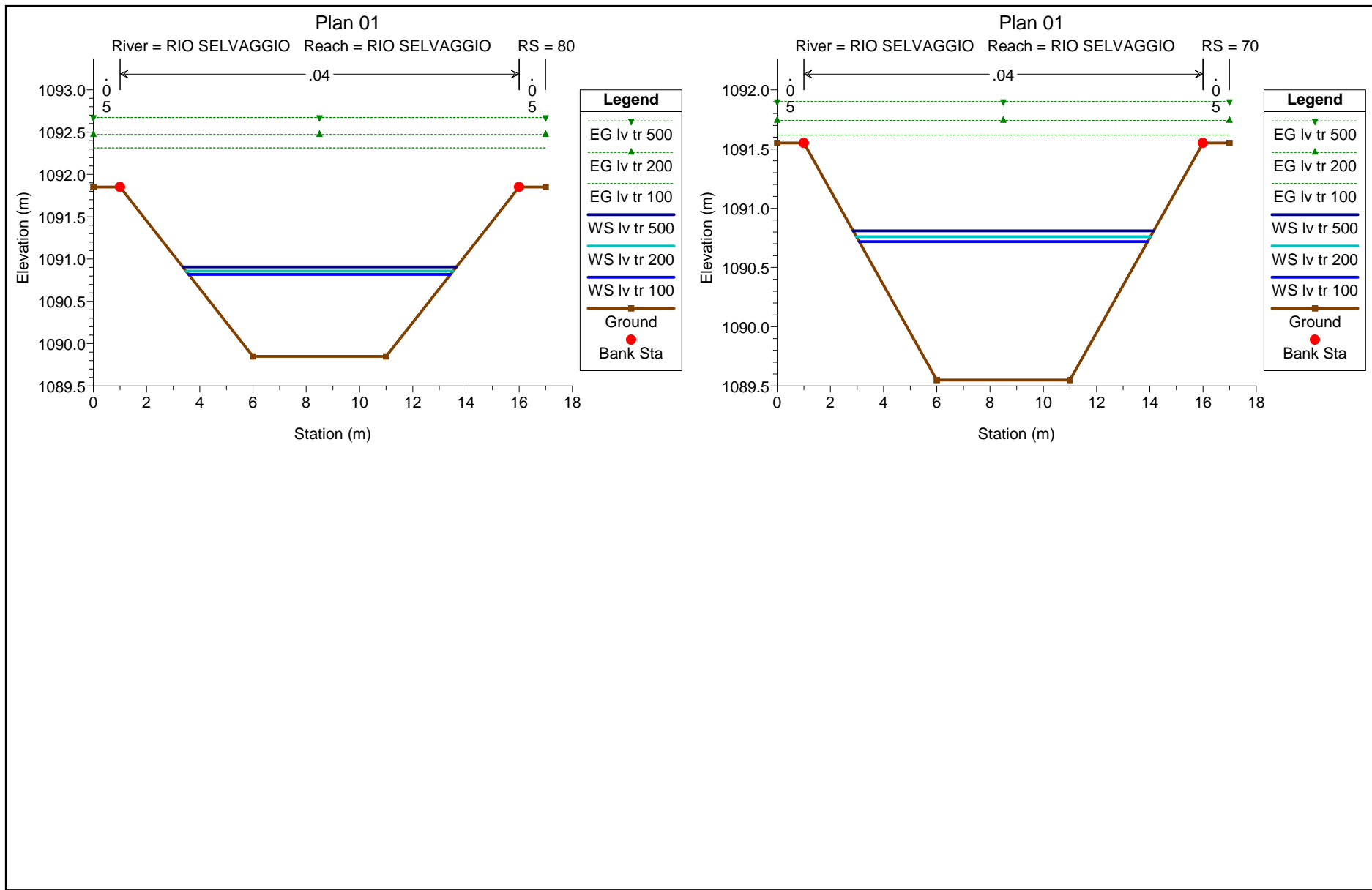


MODELLO HEC RAS MANUFATTO CON SIGLA DA MPAR20

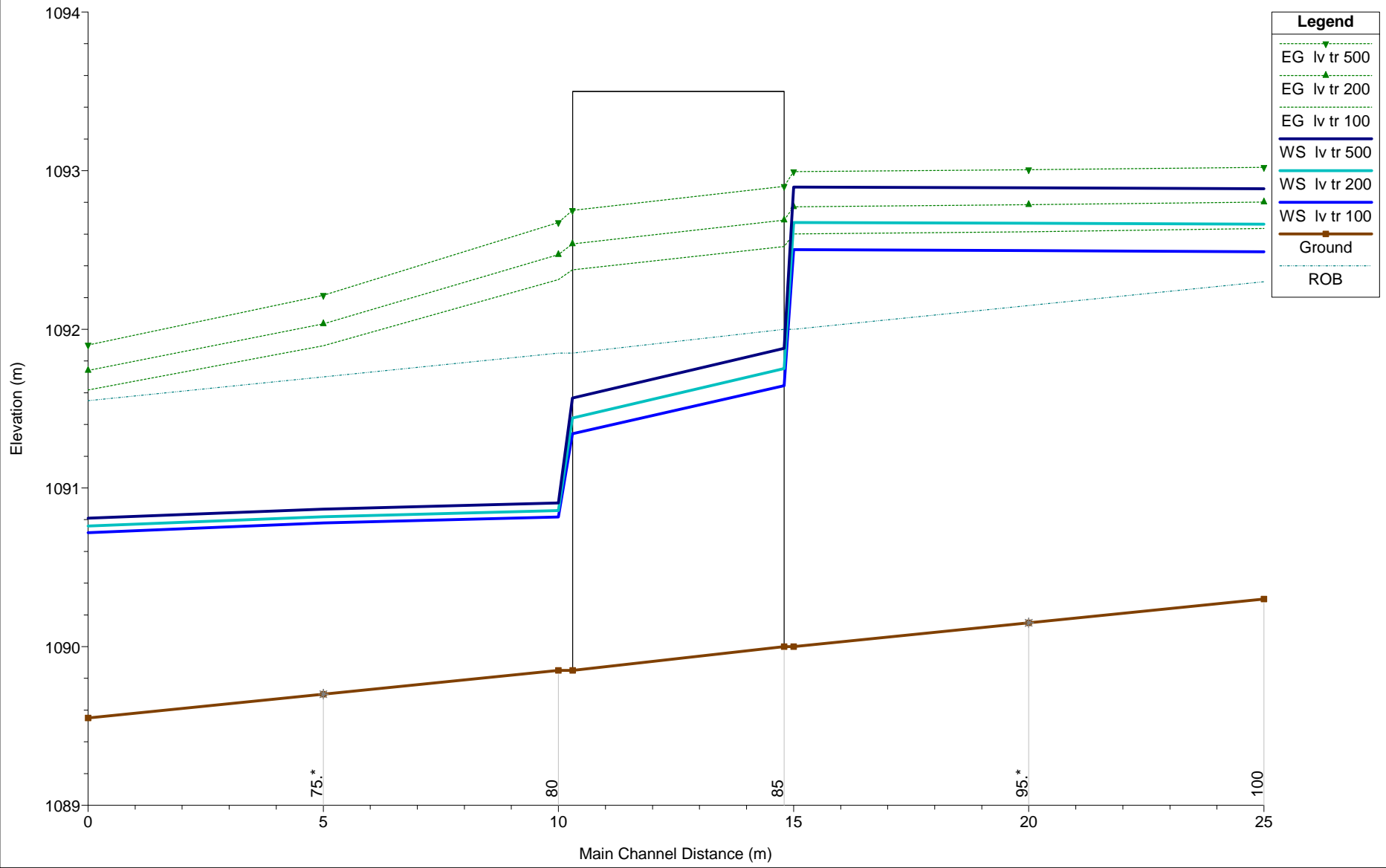
HEC-RAS Plan: rilievo River: RIO SELVAGGIO Reach: RIO SELVAGGIO

| Reach | River Sta | Profile | Q Total (m3/s) | Min Ch El (m) | W.S. Elev (m) | Crit W.S. (m) | E.G. Elev (m) | E.G. Slope (m/m) | Vel Chnl (m/s) | Flow Area (m2) | Top Width (m) | Froude # Chl |
|---------------|-----------|-----------|-------------------|------------------|------------------|------------------|------------------|---------------------|-------------------|-------------------|------------------|--------------|
| RIO SELVAGGIO | 100 | lv tr 100 | 38.90 | 1090.30 | 1092.49 | 1091.74 | 1092.64 | 0.002819 | 1.70 | 23.21 | 17.00 | 0.44 |
| RIO SELVAGGIO | 100 | lv tr 200 | 42.60 | 1090.30 | 1092.66 | 1091.80 | 1092.80 | 0.002343 | 1.66 | 26.15 | 17.00 | 0.41 |
| RIO SELVAGGIO | 100 | lv tr 500 | 47.50 | 1090.30 | 1092.89 | 1091.90 | 1093.02 | 0.001909 | 1.63 | 29.96 | 17.00 | 0.38 |
| RIO SELVAGGIO | 90 | lv tr 100 | 38.90 | 1090.00 | 1092.50 | 1091.43 | 1092.60 | 0.001491 | 1.40 | 28.53 | 17.00 | 0.33 |
| RIO SELVAGGIO | 90 | lv tr 200 | 42.60 | 1090.00 | 1092.67 | 1091.50 | 1092.77 | 0.001319 | 1.40 | 31.46 | 17.00 | 0.31 |
| RIO SELVAGGIO | 90 | lv tr 500 | 47.50 | 1090.00 | 1092.90 | 1091.60 | 1093.00 | 0.001147 | 1.40 | 35.24 | 17.00 | 0.30 |
| RIO SELVAGGIO | 85 | Bridge | | | | | | | | | | |
| RIO SELVAGGIO | 80 | lv tr 100 | 38.90 | 1089.85 | 1090.82 | 1091.29 | 1092.31 | 0.075092 | 5.42 | 7.18 | 9.84 | 2.02 |
| RIO SELVAGGIO | 80 | lv tr 200 | 42.60 | 1089.85 | 1090.86 | 1091.35 | 1092.47 | 0.077600 | 5.63 | 7.57 | 10.03 | 2.07 |
| RIO SELVAGGIO | 80 | lv tr 500 | 47.50 | 1089.85 | 1090.91 | 1091.45 | 1092.67 | 0.080812 | 5.89 | 8.06 | 10.28 | 2.12 |
| RIO SELVAGGIO | 70 | lv tr 100 | 38.90 | 1089.55 | 1090.72 | 1090.99 | 1091.62 | 0.036831 | 4.20 | 9.26 | 10.84 | 1.45 |
| RIO SELVAGGIO | 70 | lv tr 200 | 42.60 | 1089.55 | 1090.76 | 1091.05 | 1091.74 | 0.038719 | 4.39 | 9.70 | 11.05 | 1.49 |
| RIO SELVAGGIO | 70 | lv tr 500 | 47.50 | 1089.55 | 1090.81 | 1091.15 | 1091.90 | 0.041177 | 4.63 | 10.27 | 11.30 | 1.55 |





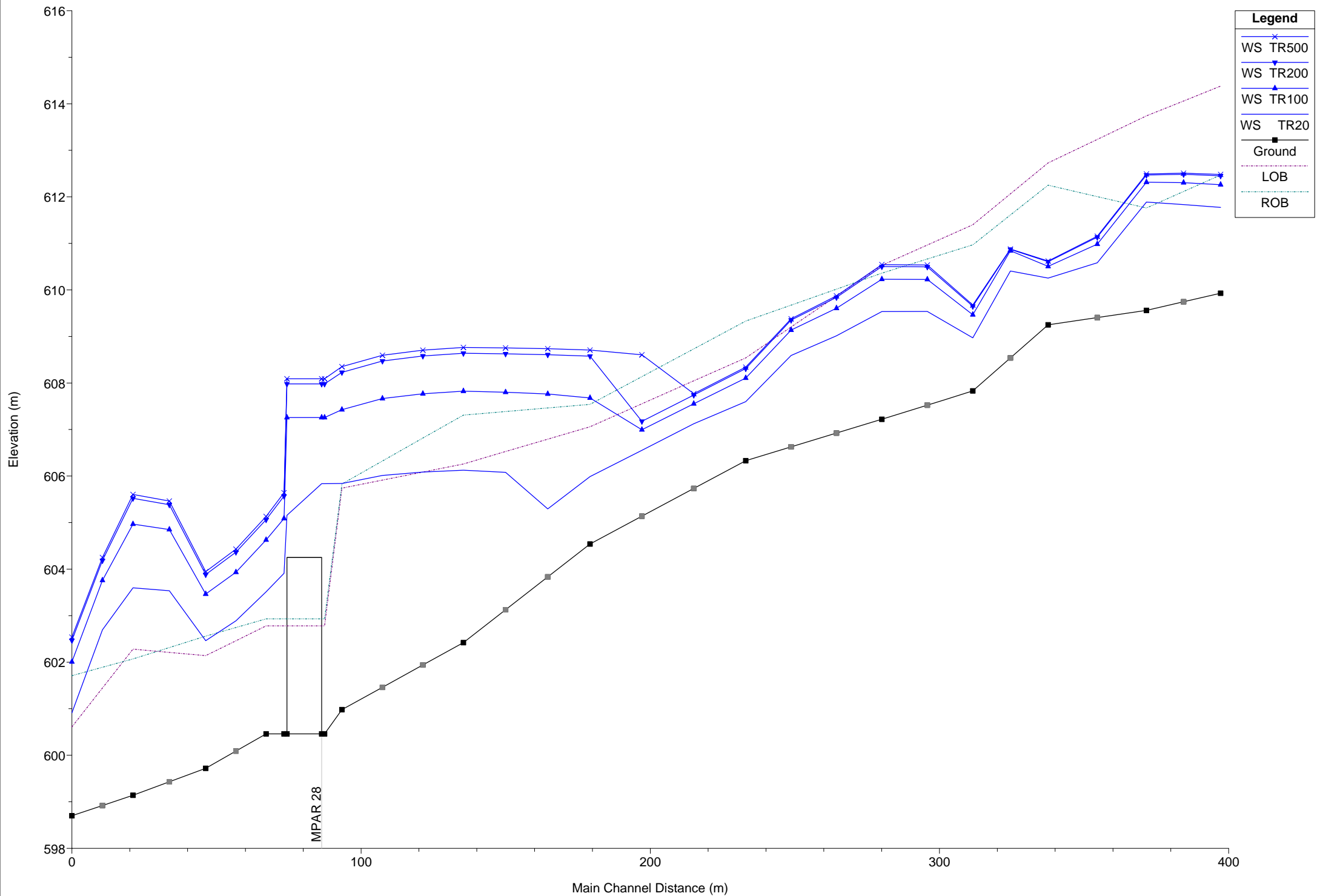
Plan 01



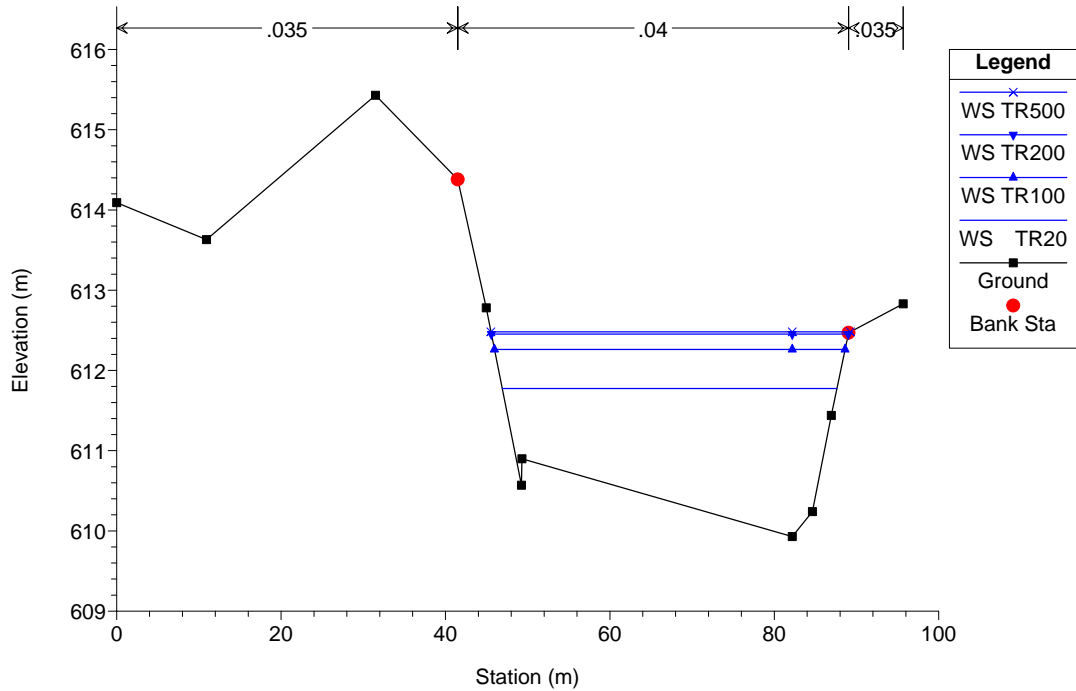
MODELLO HEC RAS MANUFATTO CON SIGLA DA MPAR28

| Reach | River Sta | Profile | Q Total | Min Ch El | W.S. Elev | Crit W.S. | E.G. Elev | E.G. Slope | Vel Chnl | Flow Area | Top Width | Froude # Chl |
|---------|-----------|---------|---------|-----------|-----------|-----------|-----------|------------|----------|-----------|-----------|--------------|
| | | | (m3/s) | (m) | (m) | (m) | (m) | (m/m) | (m/s) | (m2) | (m) | |
| Perosa2 | 98 | TR20 | 343.00 | 600.46 | 605.84 | 603.51 | 606.23 | 0.001066 | 2.79 | 125.37 | 25.21 | 0.40 |
| Perosa2 | 98 | TR100 | 572.00 | 600.46 | 607.26 | 604.63 | 607.93 | 0.001384 | 3.64 | 161.21 | 25.21 | 0.46 |
| Perosa2 | 98 | TR200 | 675.00 | 600.46 | 607.98 | 605.06 | 608.73 | 0.001398 | 3.86 | 179.43 | 25.21 | 0.46 |
| Perosa2 | 98 | TR500 | 691.00 | 600.46 | 608.09 | 605.13 | 608.86 | 0.001398 | 3.89 | 182.23 | 25.21 | 0.46 |
| | | | | | | | | | | | | |
| Perosa2 | 95 | | Bridge | | | | | | | | | |
| | | | | | | | | | | | | |
| Perosa2 | 92 | TR20 | 343.00 | 600.46 | 603.91 | 603.51 | 604.95 | 0.004819 | 4.52 | 76.81 | 25.21 | 0.81 |
| Perosa2 | 92 | TR100 | 572.00 | 600.46 | 605.09 | 604.63 | 606.60 | 0.004889 | 5.47 | 106.48 | 25.21 | 0.84 |
| Perosa2 | 92 | TR200 | 675.00 | 600.46 | 605.57 | 605.06 | 607.27 | 0.004885 | 5.80 | 118.65 | 25.21 | 0.84 |
| Perosa2 | 92 | TR500 | 691.00 | 600.46 | 605.64 | 605.13 | 607.37 | 0.004885 | 5.85 | 120.48 | 25.21 | 0.85 |
| | | | | | | | | | | | | |
| Perosa2 | 90 | TR20 | 343.00 | 600.46 | 603.51 | 603.51 | 604.88 | 0.007439 | 5.18 | 66.79 | 25.21 | 1.00 |
| Perosa2 | 90 | TR100 | 572.00 | 600.46 | 604.63 | 604.63 | 606.53 | 0.006964 | 6.12 | 94.92 | 25.21 | 0.99 |
| Perosa2 | 90 | TR200 | 675.00 | 600.46 | 605.06 | 605.06 | 607.19 | 0.006929 | 6.49 | 105.86 | 25.21 | 1.00 |
| Perosa2 | 90 | TR500 | 691.00 | 600.46 | 605.13 | 605.13 | 607.29 | 0.006907 | 6.54 | 107.60 | 25.21 | 1.00 |
| | | | | | | | | | | | | |
| Perosa2 | 80 | TR20 | 343.00 | 599.72 | 602.46 | 602.96 | 604.49 | 0.025254 | 6.31 | 54.38 | 24.00 | 1.34 |
| Perosa2 | 80 | TR100 | 572.00 | 599.72 | 603.46 | 604.07 | 606.17 | 0.021798 | 7.29 | 78.76 | 24.36 | 1.29 |
| Perosa2 | 80 | TR200 | 675.00 | 599.72 | 603.88 | 604.52 | 606.84 | 0.020716 | 7.62 | 88.94 | 24.36 | 1.27 |
| Perosa2 | 80 | TR500 | 691.00 | 599.72 | 603.95 | 604.58 | 606.94 | 0.020561 | 7.67 | 90.50 | 24.36 | 1.26 |
| | | | | | | | | | | | | |
| Perosa2 | 70 | TR20 | 343.00 | 599.14 | 603.60 | | 604.14 | 0.003765 | 3.29 | 106.22 | 29.86 | 0.55 |
| Perosa2 | 70 | TR100 | 572.00 | 599.14 | 604.97 | | 605.76 | 0.003827 | 3.99 | 147.10 | 29.86 | 0.57 |
| Perosa2 | 70 | TR200 | 675.00 | 599.14 | 605.52 | | 606.42 | 0.003845 | 4.24 | 163.63 | 29.86 | 0.57 |
| Perosa2 | 70 | TR500 | 691.00 | 599.14 | 605.61 | | 606.52 | 0.003847 | 4.27 | 166.13 | 29.86 | 0.57 |
| | | | | | | | | | | | | |
| Perosa2 | 60 | TR20 | 343.00 | 598.70 | 600.91 | 601.69 | 603.63 | 0.039636 | 7.31 | 46.93 | 22.47 | 1.61 |
| Perosa2 | 60 | TR100 | 572.00 | 598.70 | 602.01 | 602.87 | 605.26 | 0.029569 | 7.99 | 71.73 | 22.99 | 1.43 |
| Perosa2 | 60 | TR200 | 675.00 | 598.70 | 602.47 | 603.34 | 605.91 | 0.026739 | 8.22 | 82.33 | 22.99 | 1.38 |
| Perosa2 | 60 | TR500 | 691.00 | 598.70 | 602.54 | 603.41 | 606.01 | 0.026366 | 8.26 | 83.96 | 22.99 | 1.37 |

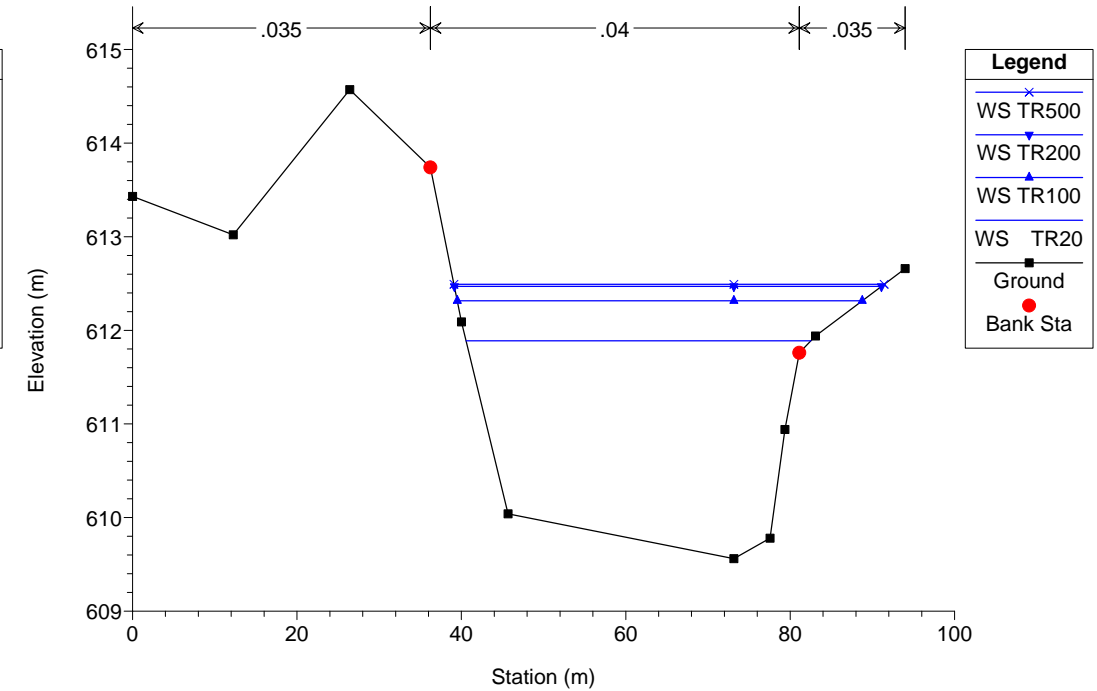
Geom: Perosa-progetto



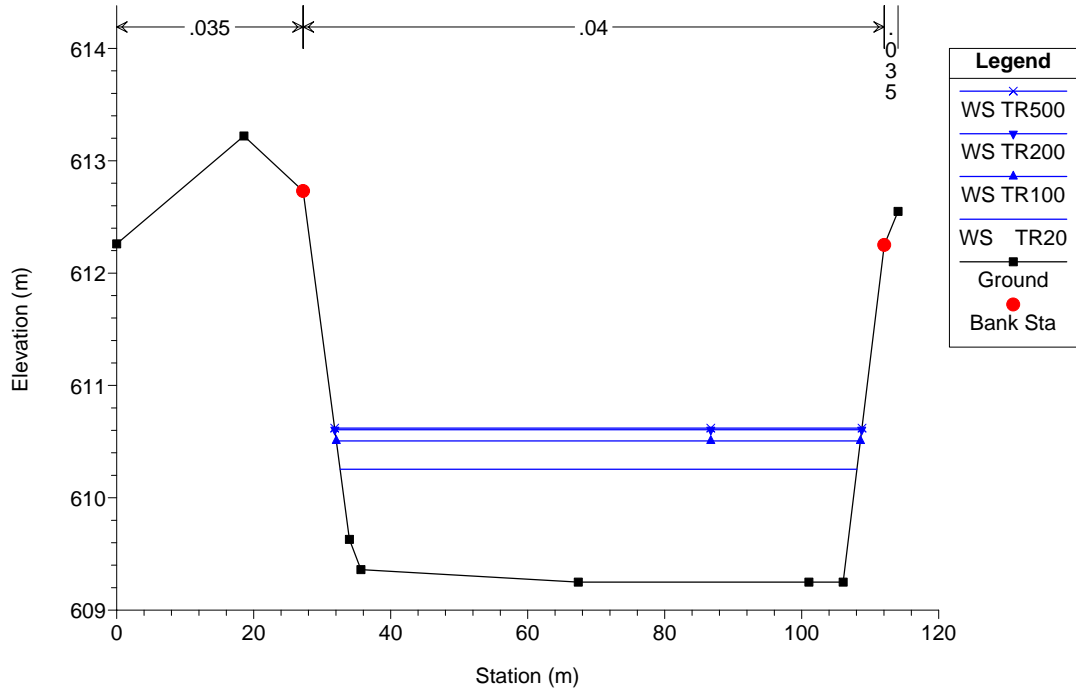
Geom: Perosa-progetto
RS = 180



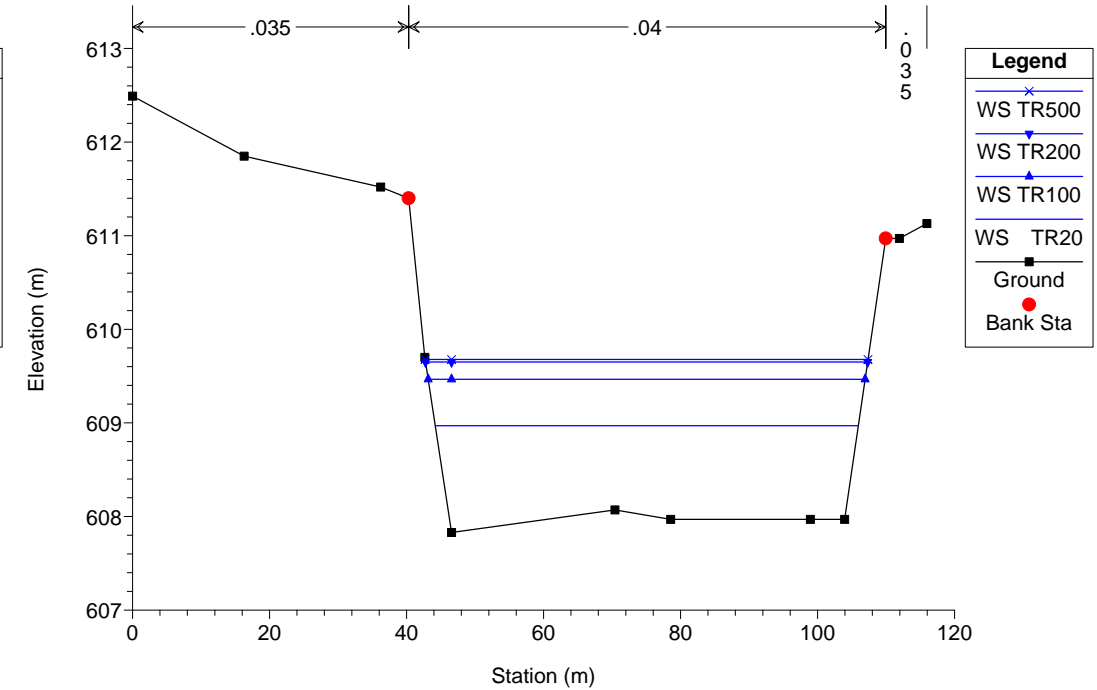
Geom: Perosa-progetto
RS = 170



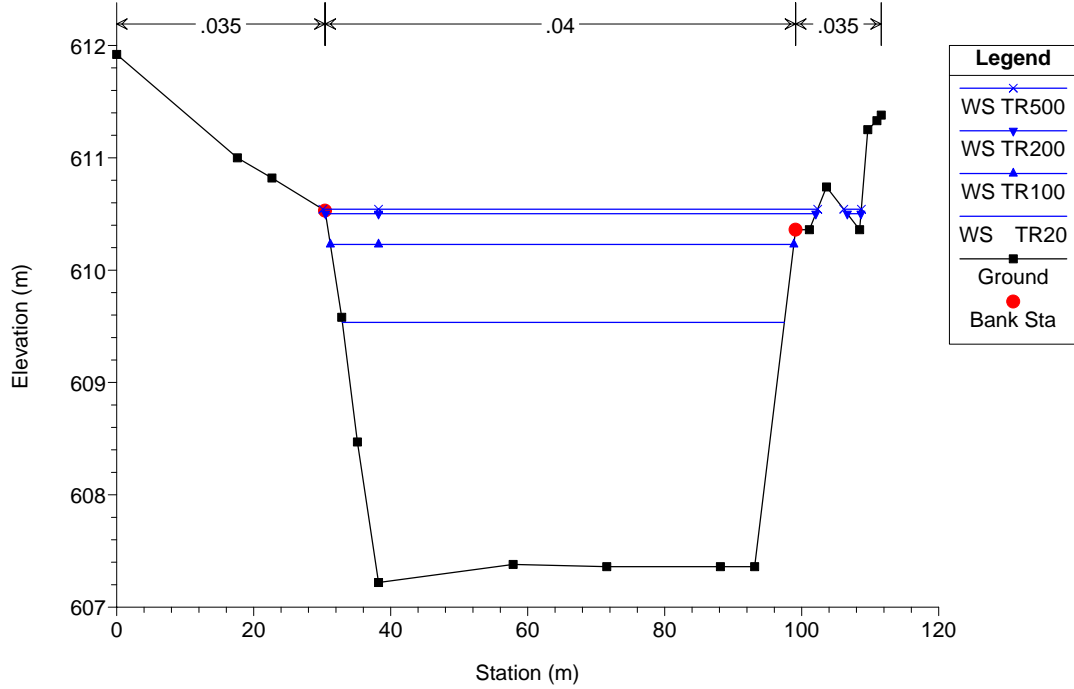
Geom: Perosa-progetto
RS = 160



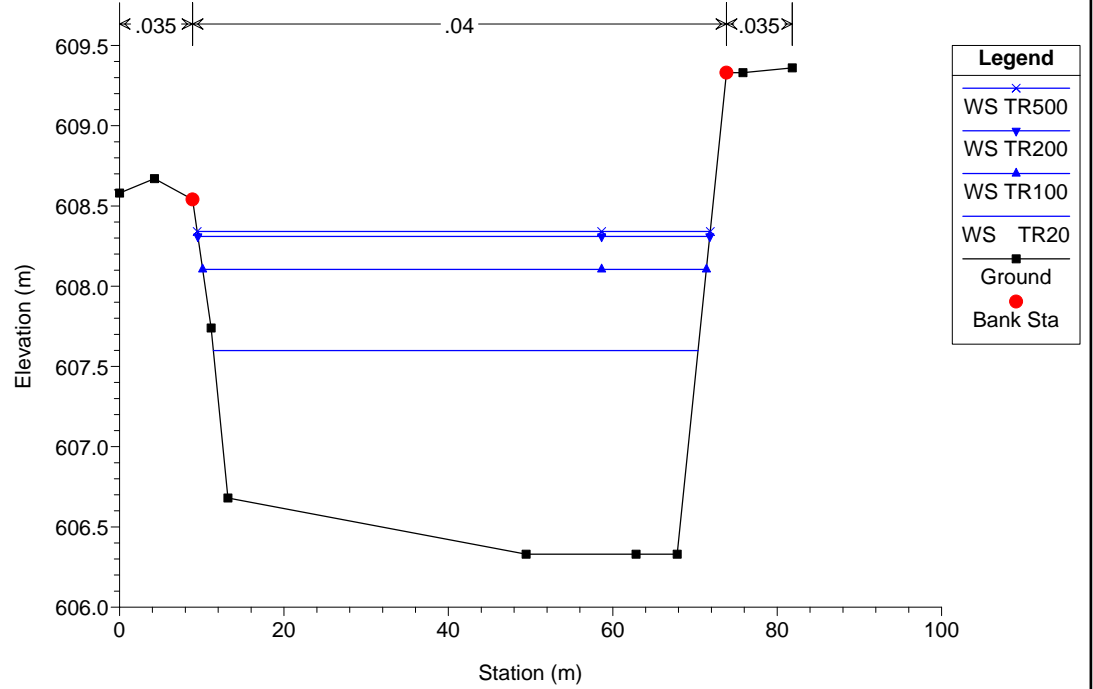
Geom: Perosa-progetto
RS = 150



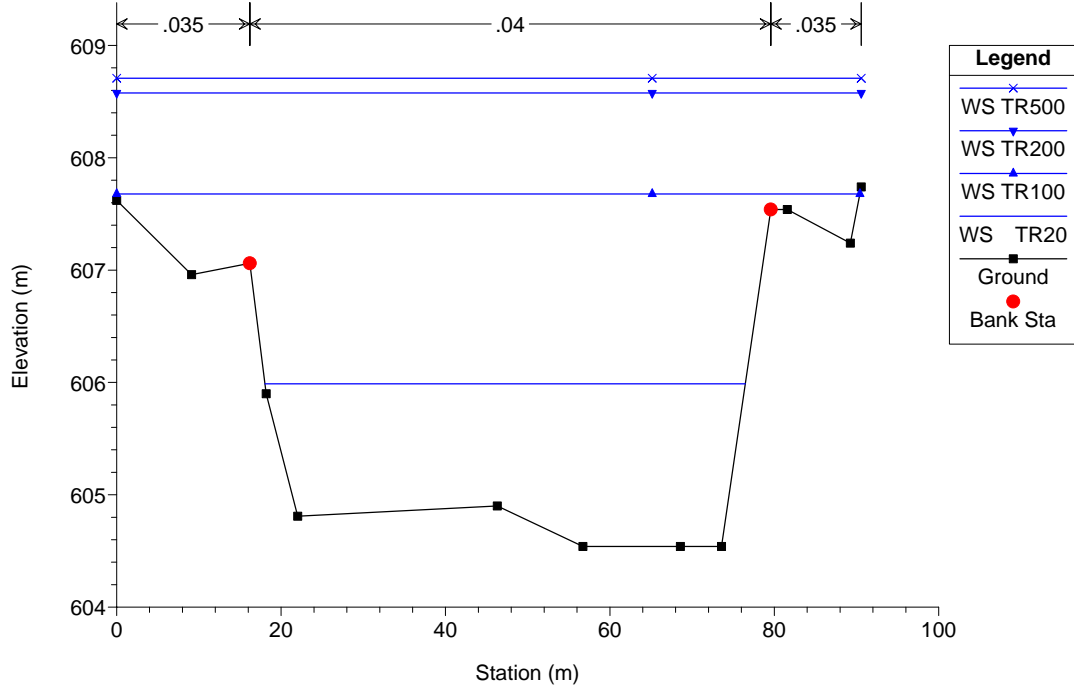
Geom: Perosa-progetto
RS = 140



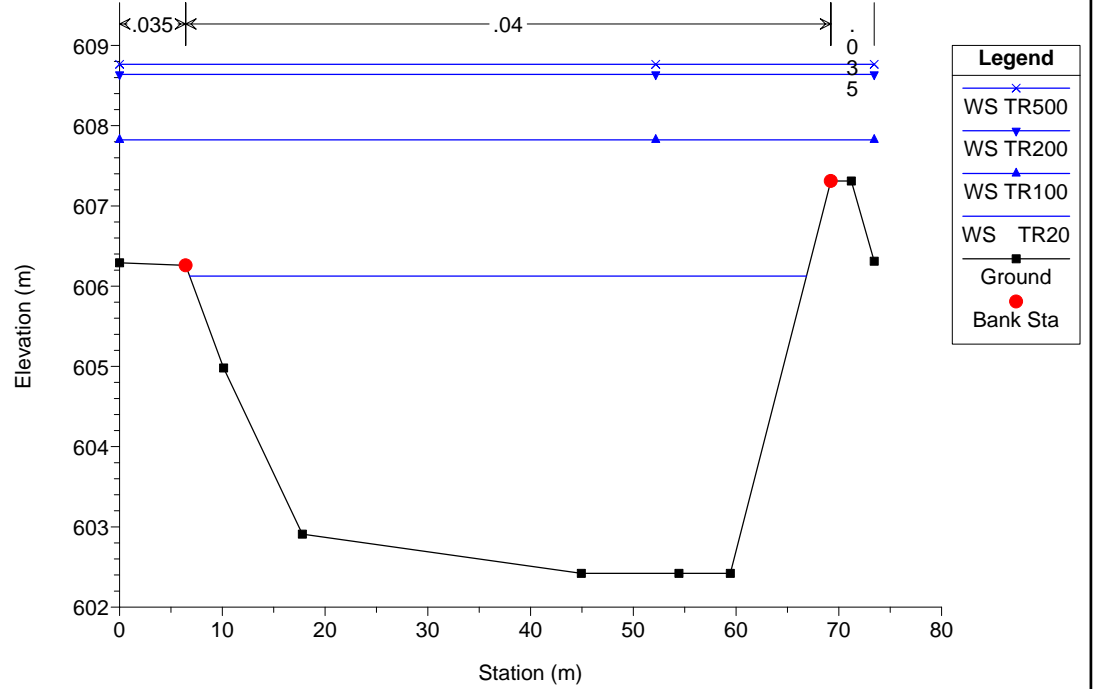
Geom: Perosa-progetto
RS = 130



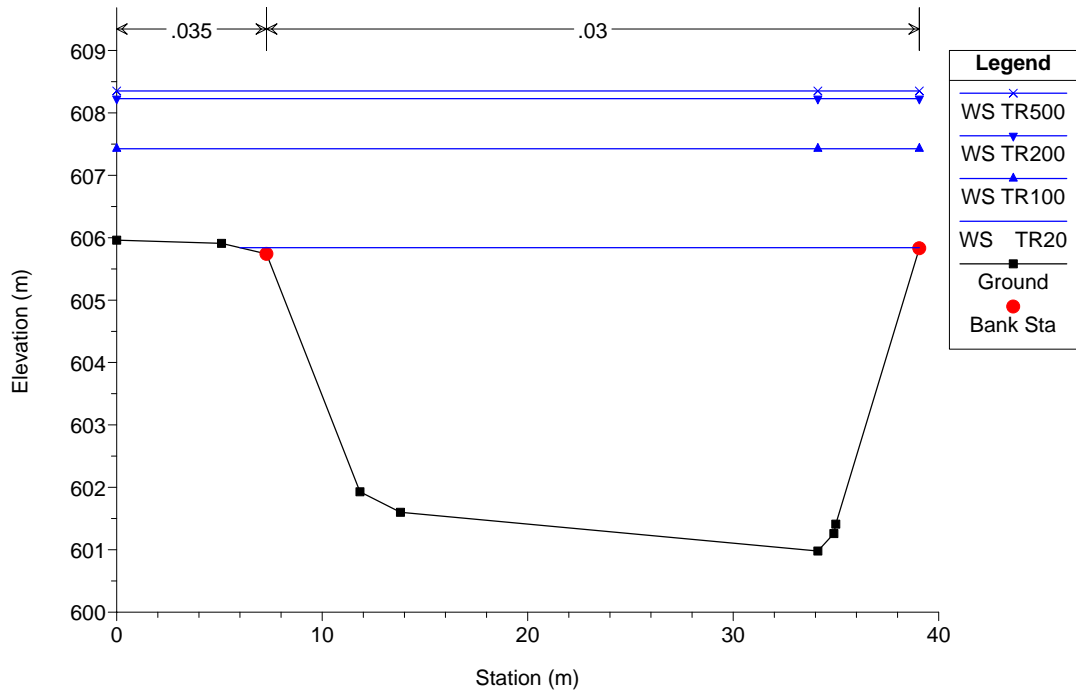
Geom: Perosa-progetto
RS = 120



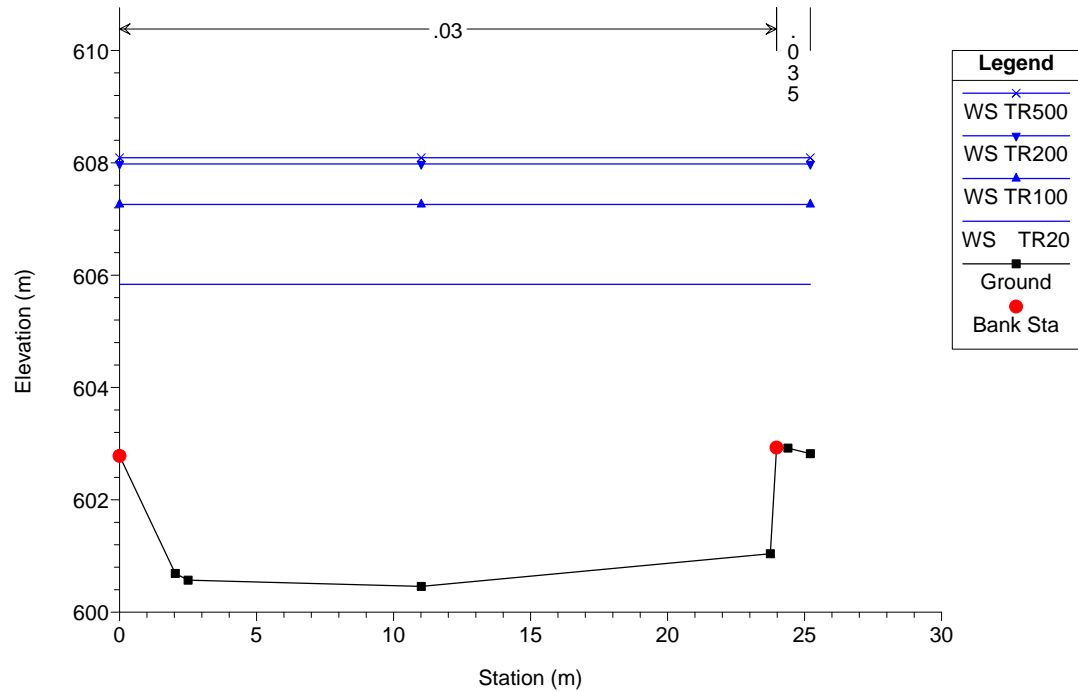
Geom: Perosa-progetto
RS = 110



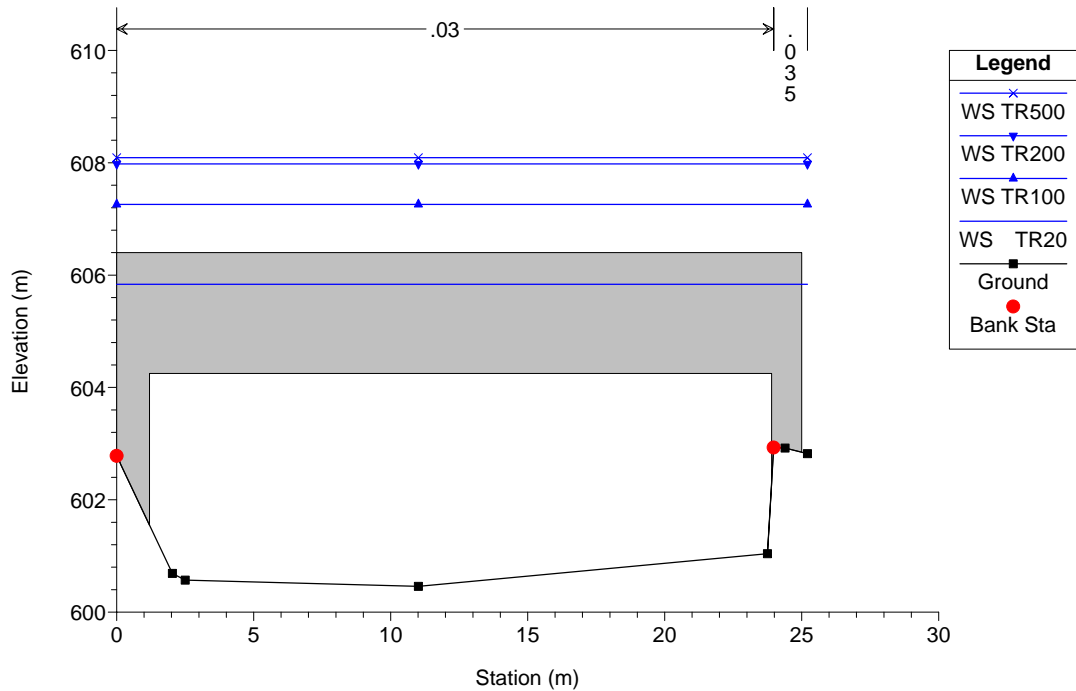
Geom: Perosa-progetto
RS = 100



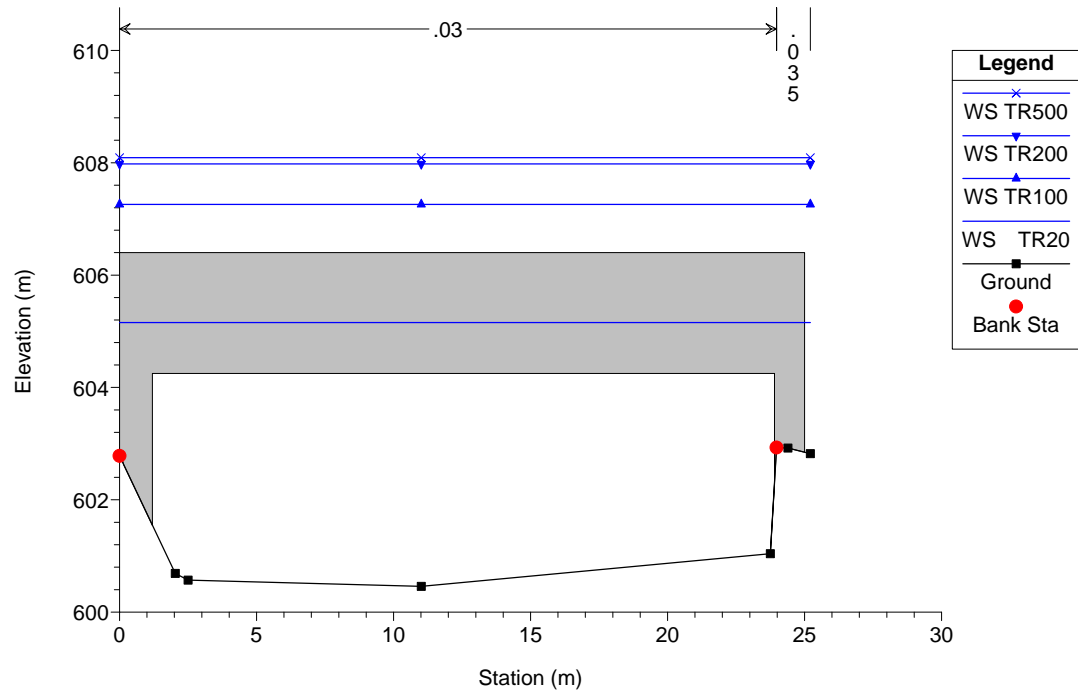
Geom: Perosa-progetto
RS = 98



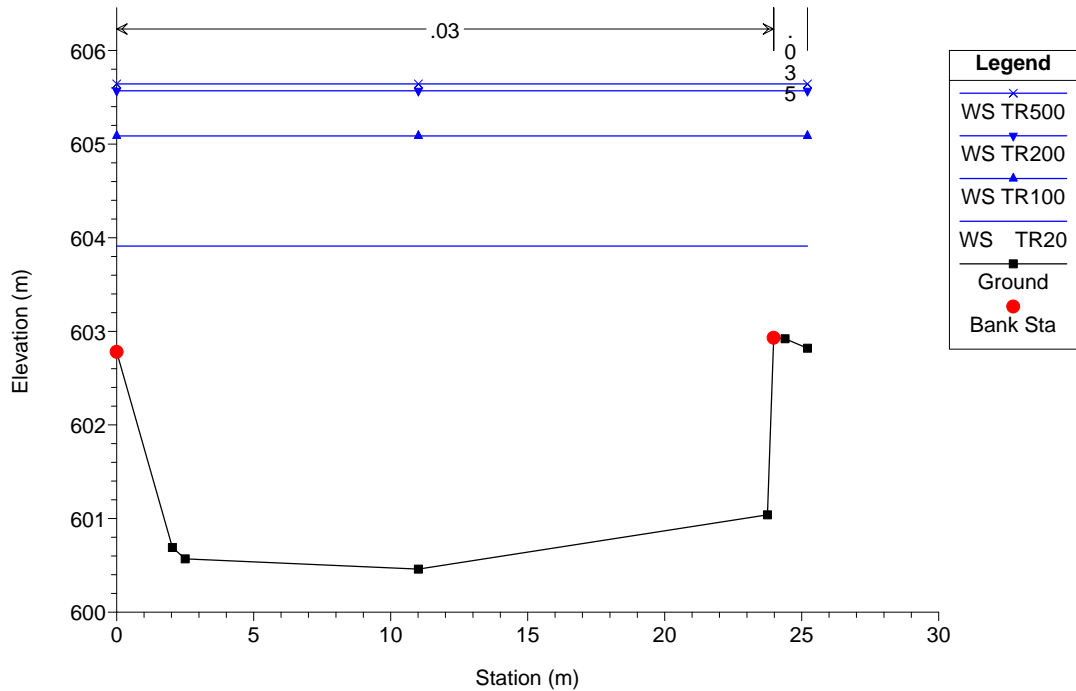
Geom: Perosa-progetto
RS = 95 BR MPAR 28



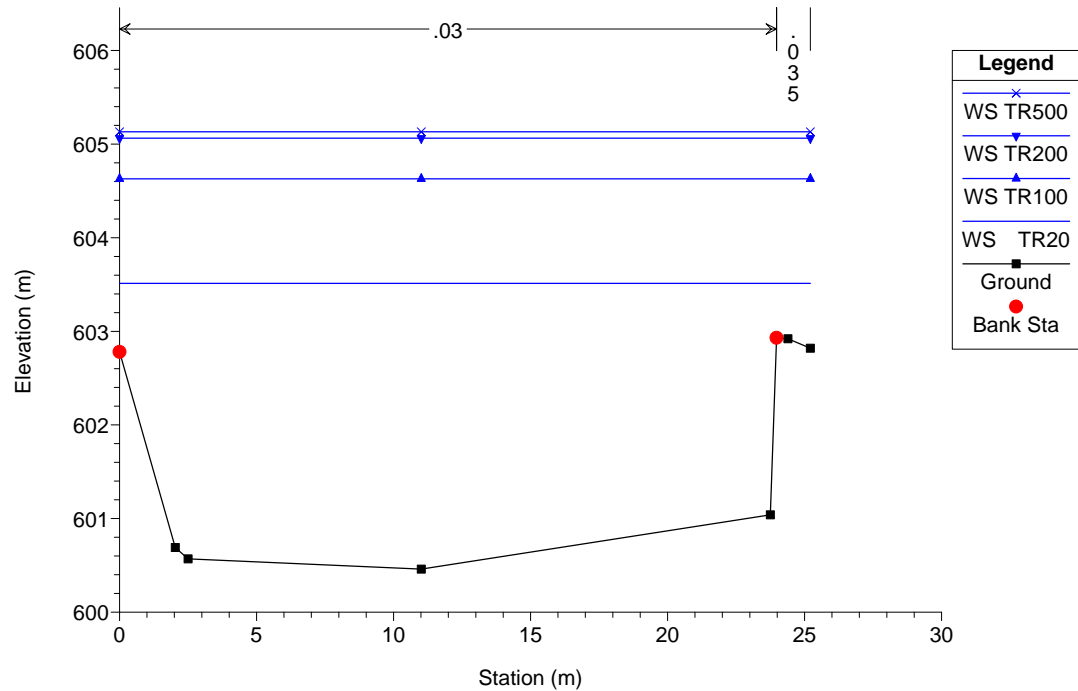
Geom: Perosa-progetto
RS = 95 BR MPAR 28



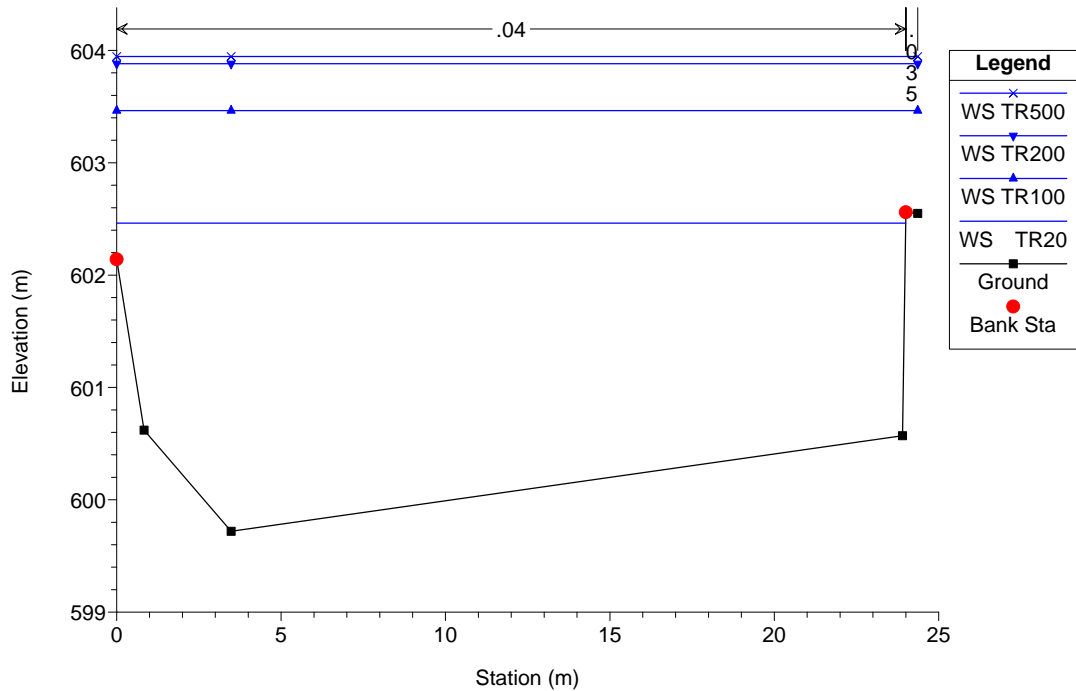
Geom: Perosa-progetto
RS = 92



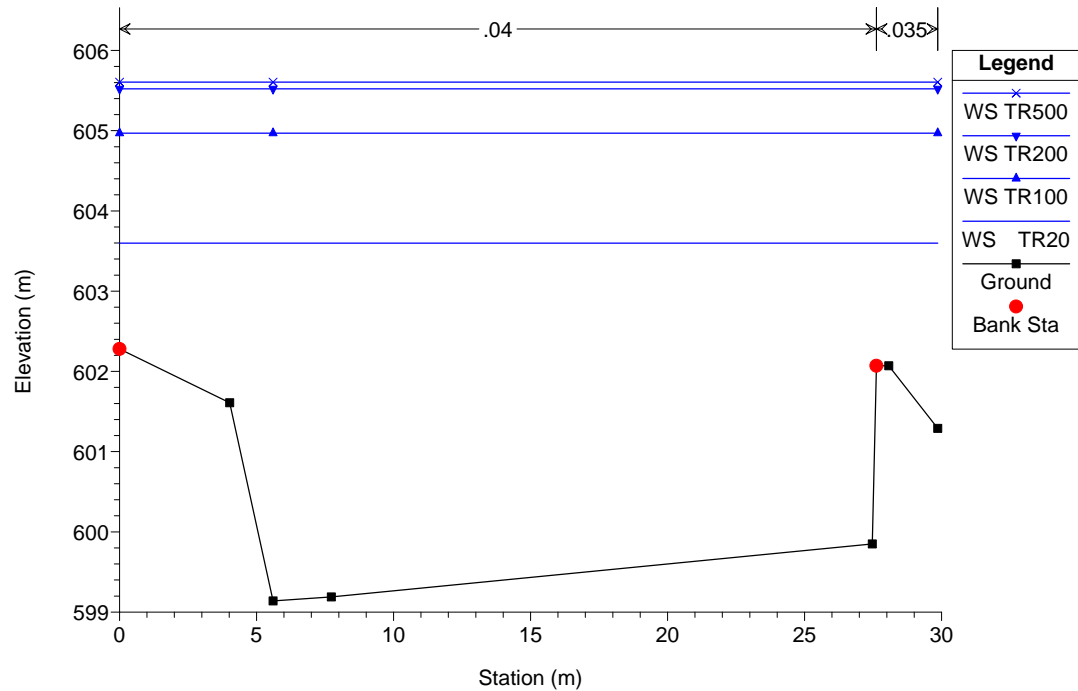
Geom: Perosa-progetto
RS = 90



Geom: Perosa-progetto
RS = 80

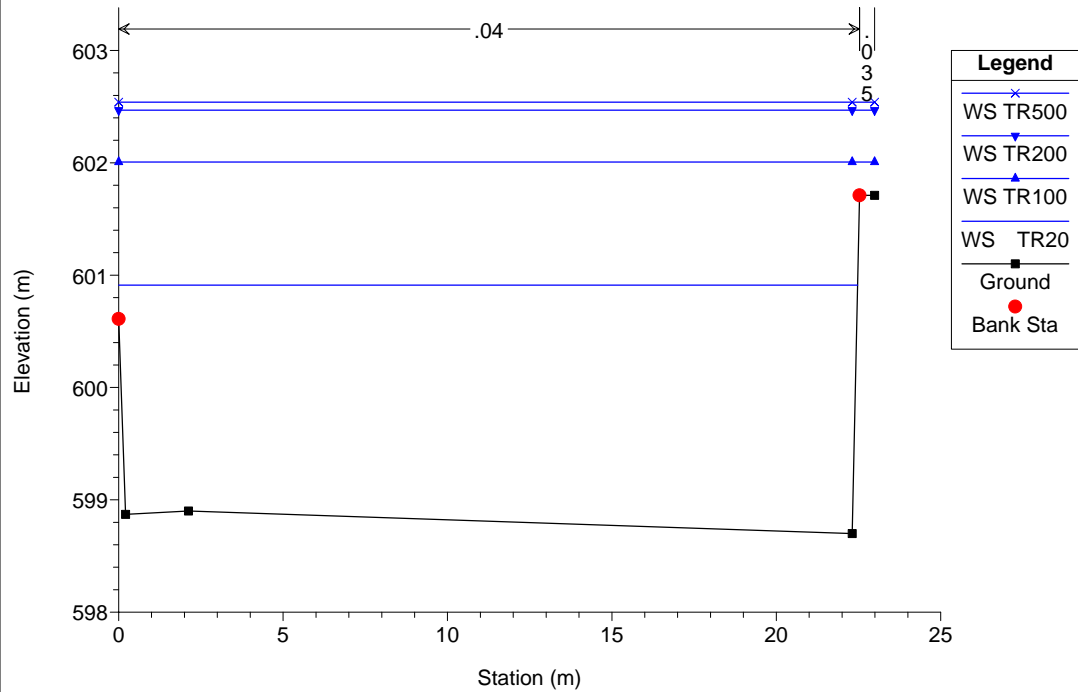


Geom: Perosa-progetto
RS = 70



Geom: Perosa-progetto

RS = 60

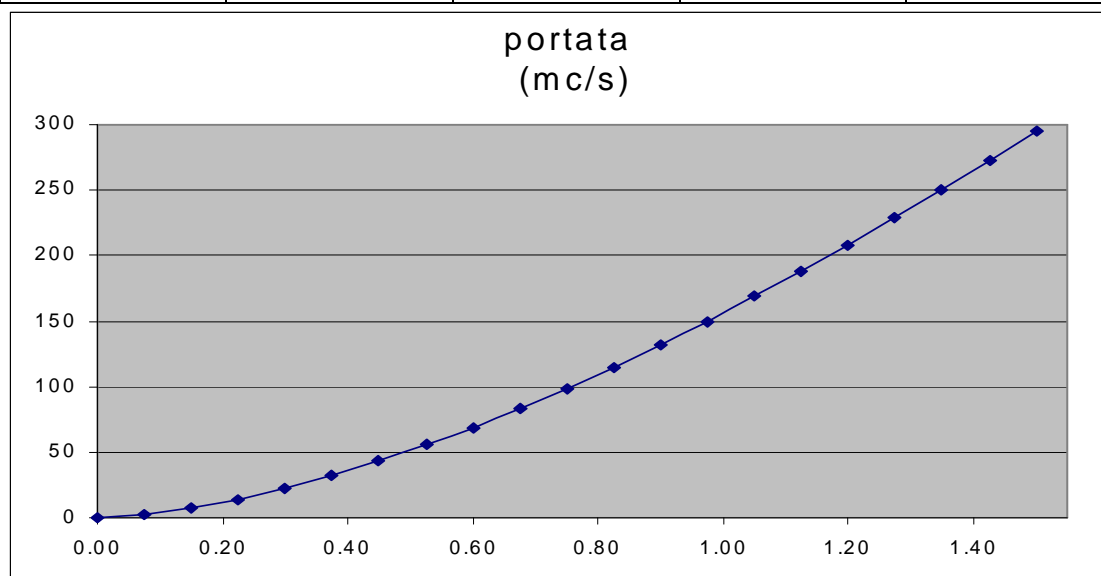


SEZIONI APICALI E SCALE DI DEFLUSSO IN MOTO UNIFORME

**Scala di deflusso in moto uniforme
 sezione rettangolare C03**

| | |
|--|-------|
| Larghezza del fondo (m) | 15.00 |
| Pendenza (m/m) | 0.08 |
| C di Strickler (m ^{1/3} s ⁻¹) | 40 |
| Altezza massima dal fondo | 1.50 |

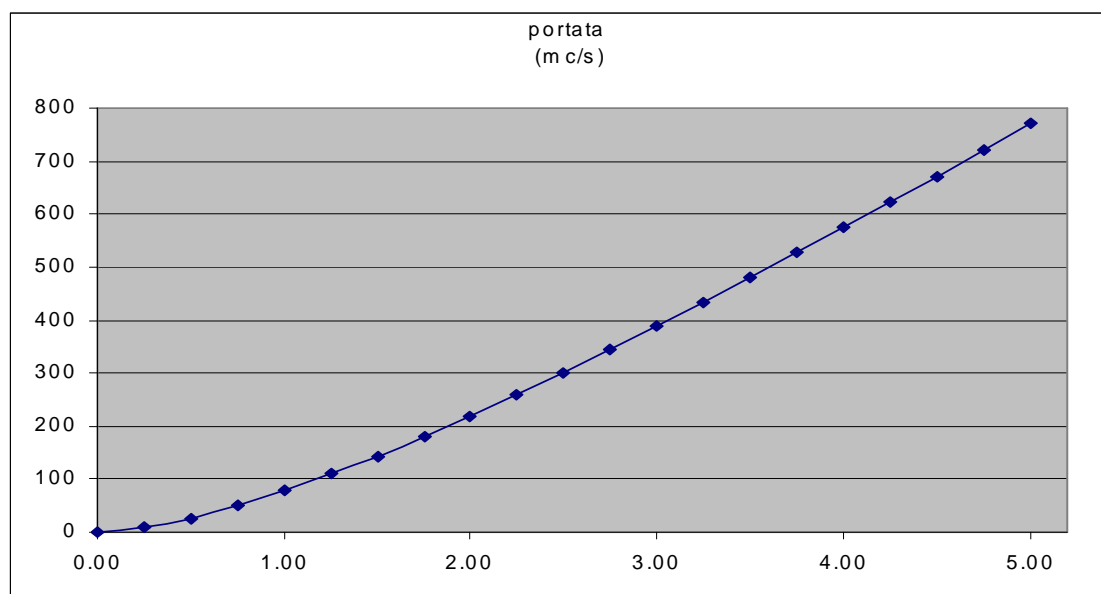
| livello (m) | superficie bagnata (mq) | raggio idraulico (m) | velocità (m/s) | portata (mc/s) |
|-------------|-------------------------|----------------------|----------------|----------------|
| 0.00 | 0.00 | 0.00 | 0.00 | 0 |
| 0.08 | 1.13 | 0.07 | 2.00 | 2 |
| 0.15 | 2.25 | 0.15 | 3.15 | 7 |
| 0.23 | 3.38 | 0.22 | 4.10 | 14 |
| 0.30 | 4.50 | 0.29 | 4.94 | 22 |
| 0.38 | 5.63 | 0.36 | 5.70 | 32 |
| 0.45 | 6.75 | 0.42 | 6.39 | 43 |
| 0.53 | 7.88 | 0.49 | 7.04 | 55 |
| 0.60 | 9.00 | 0.56 | 7.65 | 69 |
| 0.68 | 10.13 | 0.62 | 8.22 | 83 |
| 0.75 | 11.25 | 0.68 | 8.76 | 99 |
| 0.83 | 12.38 | 0.74 | 9.28 | 115 |
| 0.90 | 13.50 | 0.80 | 9.78 | 132 |
| 0.98 | 14.63 | 0.86 | 10.25 | 150 |
| 1.05 | 15.75 | 0.92 | 10.71 | 169 |
| 1.13 | 16.88 | 0.98 | 11.15 | 188 |
| 1.20 | 18.00 | 1.03 | 11.57 | 208 |
| 1.28 | 19.13 | 1.09 | 11.98 | 229 |
| 1.35 | 20.25 | 1.14 | 12.38 | 251 |
| 1.43 | 21.38 | 1.20 | 12.76 | 273 |
| 1.50 | 22.50 | 1.25 | 13.13 | 295 |



**Scala di deflusso in moto uniforme
 sezione rettangolare C02**

| | |
|--|------|
| Larghezza del fondo (m) | 8.00 |
| Pendenza (m/m) | 0.08 |
| C di Strickler (m ^{1/3} s ⁻¹) | 40 |
| Altezza massima dal fondo | 5.00 |

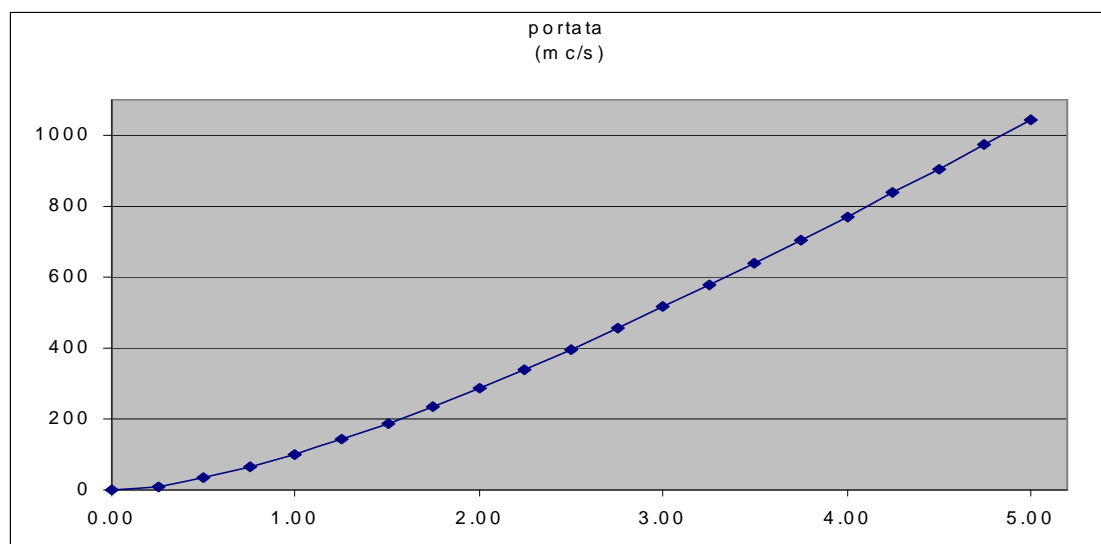
| livello (m) | superficie bagnata (mq) | raggio idraulico (m) | velocità (m/s) | portata (mc/s) |
|-------------|-------------------------|----------------------|----------------|----------------|
| 0.00 | 0.00 | 0.00 | 0.00 | 0 |
| 0.25 | 2.00 | 0.24 | 4.31 | 9 |
| 0.50 | 4.00 | 0.44 | 6.59 | 26 |
| 0.75 | 6.00 | 0.63 | 8.33 | 50 |
| 1.00 | 8.00 | 0.80 | 9.75 | 78 |
| 1.25 | 10.00 | 0.95 | 10.95 | 110 |
| 1.50 | 12.00 | 1.09 | 11.99 | 144 |
| 1.75 | 14.00 | 1.22 | 12.90 | 181 |
| 2.00 | 16.00 | 1.33 | 13.71 | 219 |
| 2.25 | 18.00 | 1.44 | 14.43 | 260 |
| 2.50 | 20.00 | 1.54 | 15.08 | 302 |
| 2.75 | 22.00 | 1.63 | 15.67 | 345 |
| 3.00 | 24.00 | 1.71 | 16.21 | 389 |
| 3.25 | 26.00 | 1.79 | 16.70 | 434 |
| 3.50 | 28.00 | 1.87 | 17.15 | 480 |
| 3.75 | 30.00 | 1.94 | 17.57 | 527 |
| 4.00 | 32.00 | 2.00 | 17.96 | 575 |
| 4.25 | 34.00 | 2.06 | 18.32 | 623 |
| 4.50 | 36.00 | 2.12 | 18.66 | 672 |
| 4.75 | 38.00 | 2.17 | 18.97 | 721 |
| 5.00 | 40.00 | 2.22 | 19.27 | 771 |



**Scala di deflusso in moto uniforme
 sezione rettangolare C01**

| | |
|--|-------|
| Larghezza del fondo (m) | 10.00 |
| Pendenza (m/m) | 0.08 |
| C di Strickler (m ^{1/3} s ⁻¹) | 40 |
| Altezza massima dal fondo | 5.00 |

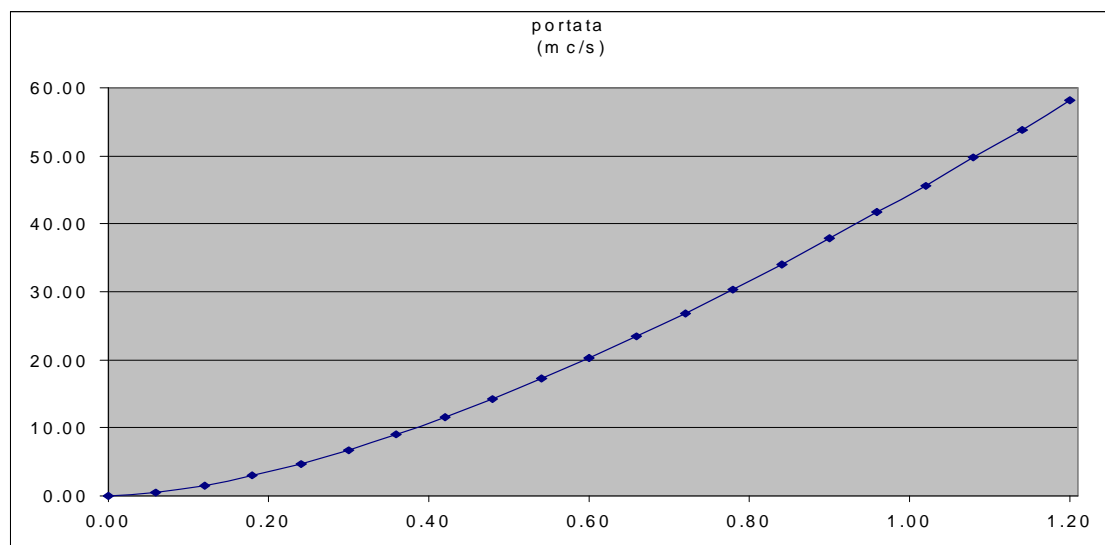
| livello (m) | superficie bagnata (mq) | raggio idraulico (m) | velocità (m/s) | portata (mc/s) |
|-------------|-------------------------|----------------------|----------------|----------------|
| 0.00 | 0.00 | 0.00 | 0.00 | 0 |
| 0.25 | 2.50 | 0.24 | 4.35 | 11 |
| 0.50 | 5.00 | 0.45 | 6.69 | 33 |
| 0.75 | 7.50 | 0.65 | 8.51 | 64 |
| 1.00 | 10.00 | 0.83 | 10.02 | 100 |
| 1.25 | 12.50 | 1.00 | 11.31 | 141 |
| 1.50 | 15.00 | 1.15 | 12.45 | 187 |
| 1.75 | 17.50 | 1.30 | 13.45 | 235 |
| 2.00 | 20.00 | 1.43 | 14.35 | 287 |
| 2.25 | 22.50 | 1.55 | 15.16 | 341 |
| 2.50 | 25.00 | 1.67 | 15.90 | 398 |
| 2.75 | 27.50 | 1.77 | 16.58 | 456 |
| 3.00 | 30.00 | 1.88 | 17.20 | 516 |
| 3.25 | 32.50 | 1.97 | 17.78 | 578 |
| 3.50 | 35.00 | 2.06 | 18.31 | 641 |
| 3.75 | 37.50 | 2.14 | 18.80 | 705 |
| 4.00 | 40.00 | 2.22 | 19.27 | 771 |
| 4.25 | 42.50 | 2.30 | 19.70 | 837 |
| 4.50 | 45.00 | 2.37 | 20.10 | 905 |
| 4.75 | 47.50 | 2.44 | 20.48 | 973 |
| 5.00 | 50.00 | 2.50 | 20.84 | 1042 |



**Scala di deflusso in moto uniforme
 sezione rettangolare MPAR07**

| | |
|--|------|
| Larghezza del fondo (m) | 6.00 |
| Pendenza (m/m) | 0.05 |
| C di Strickler (m ^{1/3} s ⁻¹) | 40 |
| Altezza massima dal fondo | 1.20 |

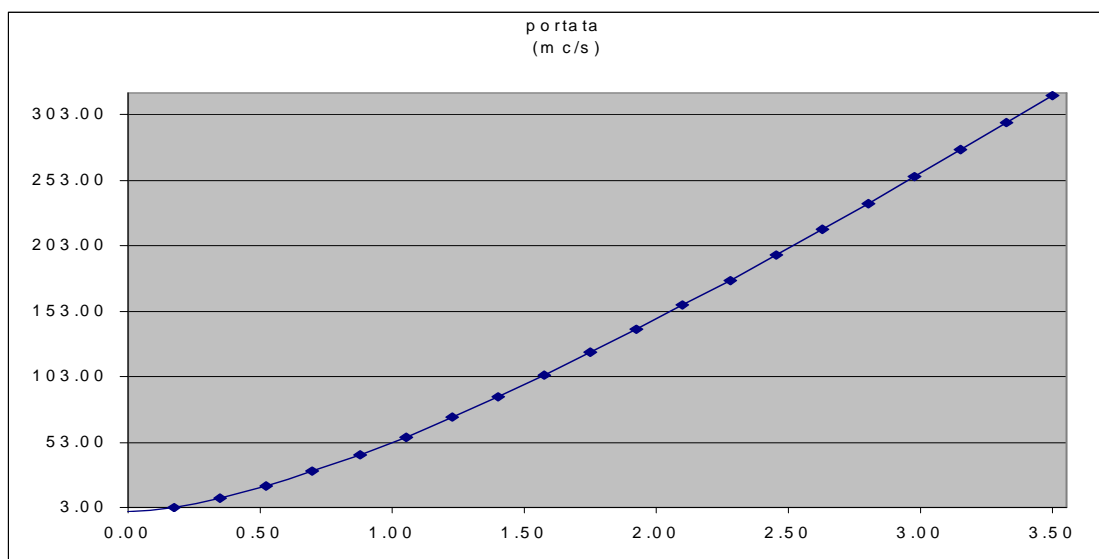
| livello (m) | superficie bagnata (mq) | raggio idraulico (m) | velocità (m/s) | portata (mc/s) |
|-------------|-------------------------|----------------------|----------------|----------------|
| 0.00 | 0.00 | 0.00 | 0.00 | 0.00 |
| 0.06 | 0.36 | 0.06 | 1.35 | 0.49 |
| 0.12 | 0.72 | 0.12 | 2.12 | 1.53 |
| 0.18 | 1.08 | 0.17 | 2.74 | 2.96 |
| 0.24 | 1.44 | 0.22 | 3.28 | 4.73 |
| 0.30 | 1.80 | 0.27 | 3.76 | 6.77 |
| 0.36 | 2.16 | 0.32 | 4.20 | 9.07 |
| 0.42 | 2.52 | 0.37 | 4.60 | 11.58 |
| 0.48 | 2.88 | 0.41 | 4.97 | 14.30 |
| 0.54 | 3.24 | 0.46 | 5.31 | 17.21 |
| 0.60 | 3.60 | 0.50 | 5.63 | 20.28 |
| 0.66 | 3.96 | 0.54 | 5.94 | 23.52 |
| 0.72 | 4.32 | 0.58 | 6.23 | 26.89 |
| 0.78 | 4.68 | 0.62 | 6.50 | 30.40 |
| 0.84 | 5.04 | 0.66 | 6.75 | 34.04 |
| 0.90 | 5.40 | 0.69 | 7.00 | 37.80 |
| 0.96 | 5.76 | 0.73 | 7.23 | 41.66 |
| 1.02 | 6.12 | 0.76 | 7.46 | 45.63 |
| 1.08 | 6.48 | 0.79 | 7.67 | 49.70 |
| 1.14 | 6.84 | 0.83 | 7.87 | 53.86 |
| 1.20 | 7.20 | 0.86 | 8.07 | 58.11 |



**Scala di deflusso in moto uniforme
 sezione rettangolare MPAR08**

| | |
|--|------|
| Larghezza del fondo (m) | 7.00 |
| Pendenza (m/m) | 0.05 |
| C di Strickler (m ^{1/3} s ⁻¹) | 40 |
| Altezza massima dal fondo | 3.50 |

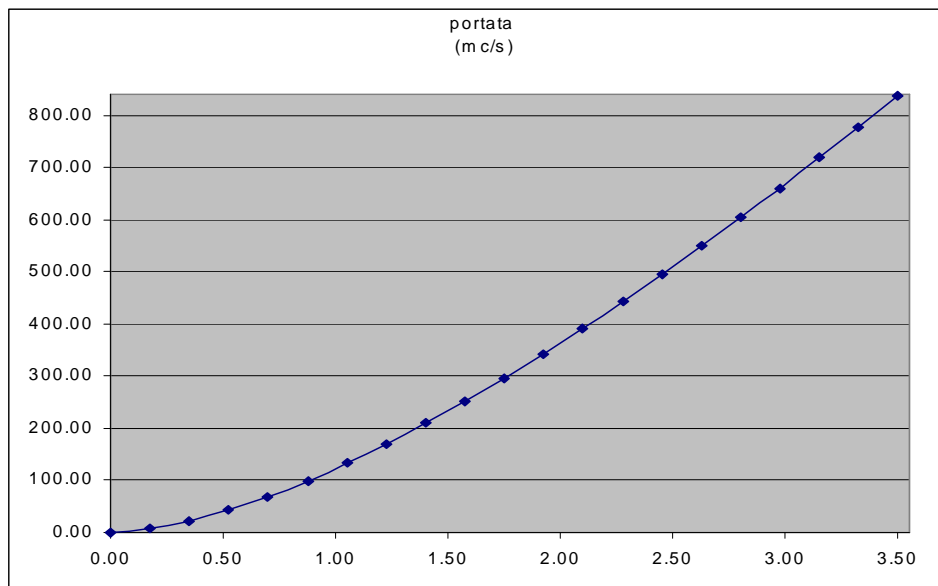
| livello (m) | superficie bagnata (mq) | raggio idraulico (m) | velocità (m/s) | portata (mc/s) |
|-------------|-------------------------|----------------------|----------------|----------------|
| 0.00 | 0.00 | 0.00 | 0.00 | 0.00 |
| 0.18 | 1.23 | 0.17 | 2.71 | 3.32 |
| 0.35 | 2.45 | 0.32 | 4.17 | 10.21 |
| 0.53 | 3.68 | 0.46 | 5.30 | 19.49 |
| 0.70 | 4.90 | 0.58 | 6.24 | 30.60 |
| 0.88 | 6.13 | 0.70 | 7.05 | 43.19 |
| 1.05 | 7.35 | 0.81 | 7.76 | 57.02 |
| 1.23 | 8.58 | 0.91 | 8.38 | 71.89 |
| 1.40 | 9.80 | 1.00 | 8.94 | 87.65 |
| 1.58 | 11.03 | 1.09 | 9.45 | 104.20 |
| 1.75 | 12.25 | 1.17 | 9.91 | 121.43 |
| 1.93 | 13.48 | 1.24 | 10.33 | 139.25 |
| 2.10 | 14.70 | 1.31 | 10.72 | 157.61 |
| 2.28 | 15.93 | 1.38 | 11.08 | 176.45 |
| 2.45 | 17.15 | 1.44 | 11.41 | 195.71 |
| 2.63 | 18.38 | 1.50 | 11.72 | 215.36 |
| 2.80 | 19.60 | 1.56 | 12.01 | 235.36 |
| 2.98 | 20.83 | 1.61 | 12.28 | 255.67 |
| 3.15 | 22.05 | 1.66 | 12.53 | 276.26 |
| 3.33 | 23.28 | 1.71 | 12.77 | 297.13 |
| 3.50 | 24.50 | 1.75 | 12.99 | 318.23 |



**Scala di deflusso in moto uniforme
 sezione rettangolare MPAR9**

| | |
|--|-------|
| Larghezza del fondo (m) | 15.00 |
| Pendenza (m/m) | 0.05 |
| C di Strickler (m ^{1/3} s ⁻¹) | 40 |
| Altezza massima dal fondo | 3.50 |

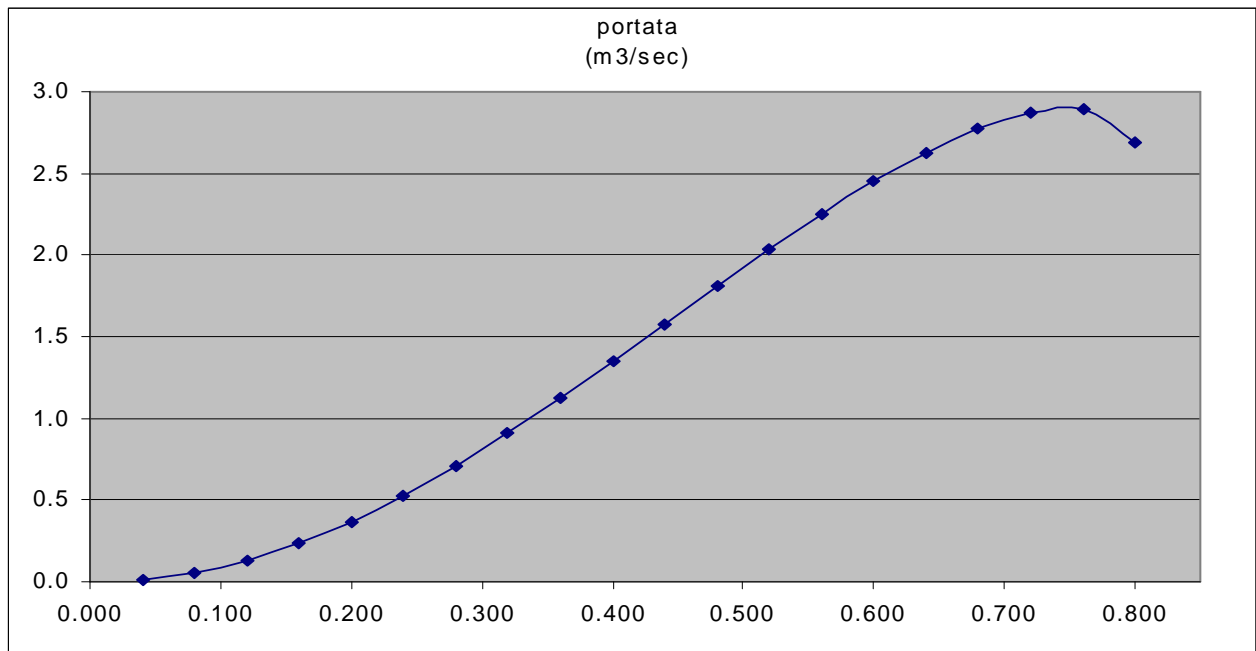
| livello (m) | superficie bagnata (mq) | raggio idraulico (m) | velocità (m/s) | portata (mc/s) |
|-------------|-------------------------|----------------------|----------------|----------------|
| 0.00 | 0.00 | 0.00 | 0.00 | 0.00 |
| 0.18 | 2.63 | 0.17 | 2.76 | 7.23 |
| 0.35 | 5.25 | 0.33 | 4.31 | 22.62 |
| 0.53 | 7.88 | 0.49 | 5.56 | 43.82 |
| 0.70 | 10.50 | 0.64 | 6.64 | 69.76 |
| 0.88 | 13.13 | 0.78 | 7.60 | 99.78 |
| 1.05 | 15.75 | 0.92 | 8.47 | 133.36 |
| 1.23 | 18.38 | 1.05 | 9.26 | 170.11 |
| 1.40 | 21.00 | 1.18 | 9.99 | 209.72 |
| 1.58 | 23.63 | 1.30 | 10.66 | 251.91 |
| 1.75 | 26.25 | 1.42 | 11.29 | 296.47 |
| 1.93 | 28.88 | 1.53 | 11.89 | 343.19 |
| 2.10 | 31.50 | 1.64 | 12.44 | 391.92 |
| 2.28 | 34.13 | 1.75 | 12.97 | 442.49 |
| 2.45 | 36.75 | 1.85 | 13.46 | 494.77 |
| 2.63 | 39.38 | 1.94 | 13.93 | 548.65 |
| 2.80 | 42.00 | 2.04 | 14.38 | 604.02 |
| 2.98 | 44.63 | 2.13 | 14.81 | 660.77 |
| 3.15 | 47.25 | 2.22 | 15.21 | 718.83 |
| 3.33 | 49.88 | 2.30 | 15.60 | 778.12 |
| 3.50 | 52.50 | 2.39 | 15.97 | 838.55 |



**Scala di deflusso in moto uniforme
 sezione circolare MPAR10**

| | | |
|--------------------------------------|---|------|
| diametro esterno (mm) | | |
| diametro interno (m) | = | 0.8 |
| pendenza (m/m) | = | 0.05 |
| C di Strickler (m ^{1/3} /s) | = | 70 |

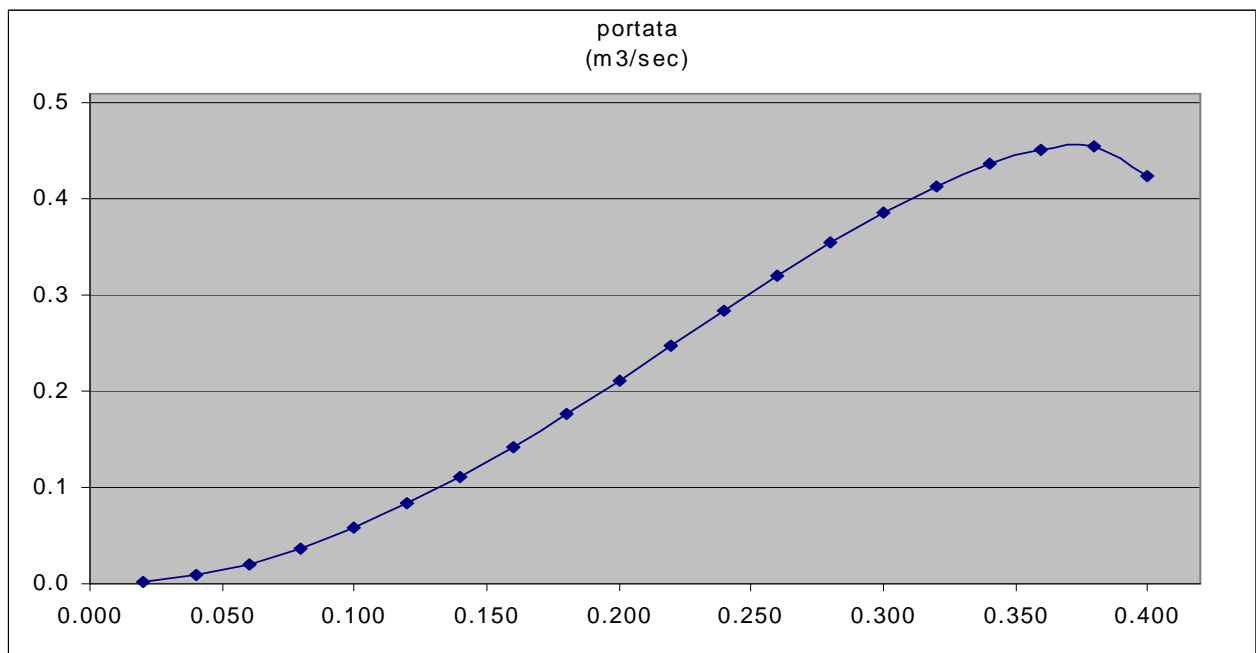
| livello (m) | h/D | sup (mq) | perimetro bagnato (m) | r idr (m) | velocità (m/s) | portata (m3/sec) |
|-------------|-------|----------|-----------------------|-----------|----------------|------------------|
| 0.040 | 0.05 | 0.01 | 0.36 | 0.03 | 1.38 | 0.0 |
| 0.080 | 0.1 | 0.03 | 0.51 | 0.05 | 2.15 | 0.1 |
| 0.120 | 0.15 | 0.05 | 0.64 | 0.07 | 2.77 | 0.1 |
| 0.160 | 0.2 | 0.07 | 0.74 | 0.10 | 3.29 | 0.2 |
| 0.200 | 0.25 | 0.10 | 0.84 | 0.12 | 3.75 | 0.4 |
| 0.240 | 0.3 | 0.13 | 0.93 | 0.14 | 4.15 | 0.5 |
| 0.280 | 0.35 | 0.16 | 1.01 | 0.15 | 4.51 | 0.7 |
| 0.320 | 0.4 | 0.19 | 1.10 | 0.17 | 4.83 | 0.9 |
| 0.360 | 0.45 | 0.22 | 1.18 | 0.19 | 5.11 | 1.1 |
| 0.400 | 0.5 | 0.25 | 1.26 | 0.20 | 5.35 | 1.3 |
| 0.440 | 0.55 | 0.28 | 1.34 | 0.21 | 5.56 | 1.6 |
| 0.480 | 0.6 | 0.31 | 1.42 | 0.22 | 5.74 | 1.8 |
| 0.520 | 0.65 | 0.35 | 1.50 | 0.23 | 5.88 | 2.0 |
| 0.560 | 0.700 | 0.376 | 1.586 | 0.237 | 5.994 | 2.3 |
| 0.600 | 0.75 | 0.40 | 1.68 | 0.24 | 6.07 | 2.5 |
| 0.640 | 0.8 | 0.43 | 1.77 | 0.24 | 6.10 | 2.6 |
| 0.680 | 0.85 | 0.46 | 1.88 | 0.24 | 6.09 | 2.8 |
| 0.720 | 0.9 | 0.48 | 2.00 | 0.24 | 6.02 | 2.9 |
| 0.760 | 0.95 | 0.49 | 2.15 | 0.23 | 5.86 | 2.9 |
| 0.800 | 1 | 0.50 | 2.51 | 0.20 | 5.35 | 2.7 |



**Scala di deflusso in moto uniforme
 sezione circolare MPAR11-12**

| | | |
|--------------------------------------|---|------|
| diametro esterno (mm) | | |
| diametro interno (m) | = | 0.4 |
| pendenza (m/m) | = | 0.05 |
| C di Strickler (m ^{1/3} /s) | = | 70 |

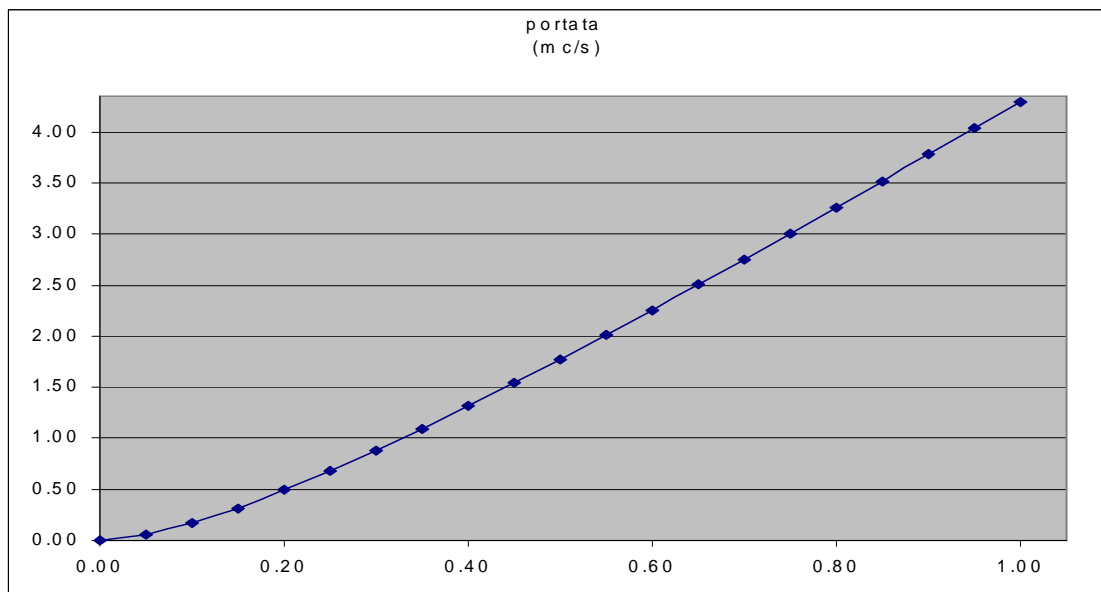
| livello (m) | h/D | sup (mq) | perimetro bagnato (m) | r idr (m) | velocità (m/s) | portata (m3/sec) |
|-------------|-------|----------|-----------------------|-----------|----------------|------------------|
| 0.020 | 0.05 | 0.00 | 0.18 | 0.01 | 0.87 | 0.0 |
| 0.040 | 0.1 | 0.01 | 0.26 | 0.03 | 1.35 | 0.0 |
| 0.060 | 0.15 | 0.01 | 0.32 | 0.04 | 1.74 | 0.0 |
| 0.080 | 0.2 | 0.02 | 0.37 | 0.05 | 2.07 | 0.0 |
| 0.100 | 0.25 | 0.02 | 0.42 | 0.06 | 2.36 | 0.1 |
| 0.120 | 0.3 | 0.03 | 0.46 | 0.07 | 2.62 | 0.1 |
| 0.140 | 0.35 | 0.04 | 0.51 | 0.08 | 2.84 | 0.1 |
| 0.160 | 0.4 | 0.05 | 0.55 | 0.09 | 3.04 | 0.1 |
| 0.180 | 0.45 | 0.05 | 0.59 | 0.09 | 3.22 | 0.2 |
| 0.200 | 0.5 | 0.06 | 0.63 | 0.10 | 3.37 | 0.2 |
| 0.220 | 0.55 | 0.07 | 0.67 | 0.11 | 3.50 | 0.2 |
| 0.240 | 0.6 | 0.08 | 0.71 | 0.11 | 3.62 | 0.3 |
| 0.260 | 0.65 | 0.09 | 0.75 | 0.12 | 3.71 | 0.3 |
| 0.280 | 0.700 | 0.094 | 0.793 | 0.118 | 3.776 | 0.4 |
| 0.300 | 0.75 | 0.10 | 0.84 | 0.12 | 3.82 | 0.4 |
| 0.320 | 0.8 | 0.11 | 0.89 | 0.12 | 3.84 | 0.4 |
| 0.340 | 0.85 | 0.11 | 0.94 | 0.12 | 3.84 | 0.4 |
| 0.360 | 0.9 | 0.12 | 1.00 | 0.12 | 3.79 | 0.5 |
| 0.380 | 0.95 | 0.12 | 1.08 | 0.11 | 3.69 | 0.5 |
| 0.400 | 1 | 0.13 | 1.26 | 0.10 | 3.37 | 0.4 |



**Scala di deflusso in moto uniforme
 sezione rettangolare MPAR13-14**

| | |
|--|------|
| Larghezza del fondo (m) | 1.00 |
| Pendenza (m/m) | 0.05 |
| C di Strickler (m ^{1/3} s ⁻¹) | 40 |
| Altezza massima dal fondo | 1.00 |

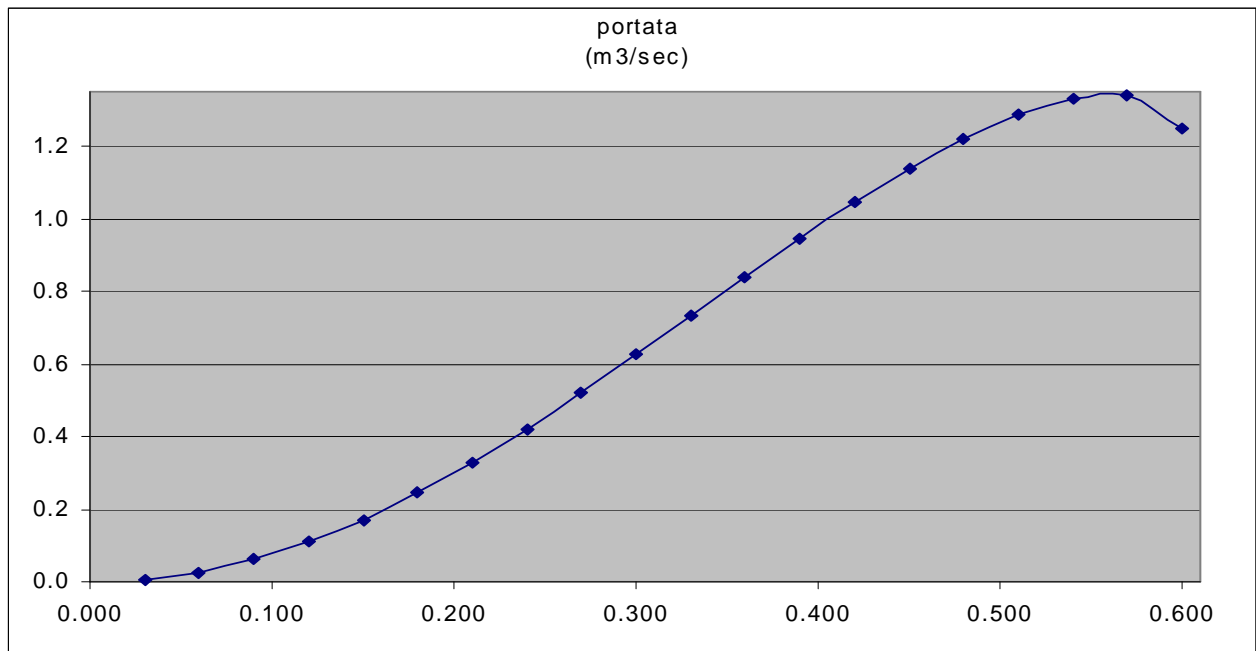
| livello (m) | superficie bagnata (mq) | raggio idraulico (m) | velocità (m/s) | portata (mc/s) |
|-------------|-------------------------|----------------------|----------------|----------------|
| 0.00 | 0.00 | 0.00 | 0.00 | 0.00 |
| 0.05 | 0.05 | 0.05 | 1.14 | 0.06 |
| 0.10 | 0.10 | 0.08 | 1.71 | 0.17 |
| 0.15 | 0.15 | 0.12 | 2.12 | 0.32 |
| 0.20 | 0.20 | 0.14 | 2.44 | 0.49 |
| 0.25 | 0.25 | 0.17 | 2.71 | 0.68 |
| 0.30 | 0.30 | 0.19 | 2.93 | 0.88 |
| 0.35 | 0.35 | 0.21 | 3.12 | 1.09 |
| 0.40 | 0.40 | 0.22 | 3.28 | 1.31 |
| 0.45 | 0.45 | 0.24 | 3.42 | 1.54 |
| 0.50 | 0.50 | 0.25 | 3.55 | 1.77 |
| 0.55 | 0.55 | 0.26 | 3.66 | 2.01 |
| 0.60 | 0.60 | 0.27 | 3.76 | 2.26 |
| 0.65 | 0.65 | 0.28 | 3.85 | 2.50 |
| 0.70 | 0.70 | 0.29 | 3.93 | 2.75 |
| 0.75 | 0.75 | 0.30 | 4.01 | 3.01 |
| 0.80 | 0.80 | 0.31 | 4.08 | 3.26 |
| 0.85 | 0.85 | 0.31 | 4.14 | 3.52 |
| 0.90 | 0.90 | 0.32 | 4.20 | 3.78 |
| 0.95 | 0.95 | 0.33 | 4.25 | 4.04 |
| 1.00 | 1.00 | 0.33 | 4.30 | 4.30 |



**Scala di deflusso in moto uniforme
 sezione circolare MPAR15**

| | | |
|--------------------------------------|---|------|
| diametro esterno (mm) | | |
| diametro interno (m) | = | 0.6 |
| pendenza (m/m) | = | 0.05 |
| C di Strickler (m ^{1/3} /s) | = | 70 |

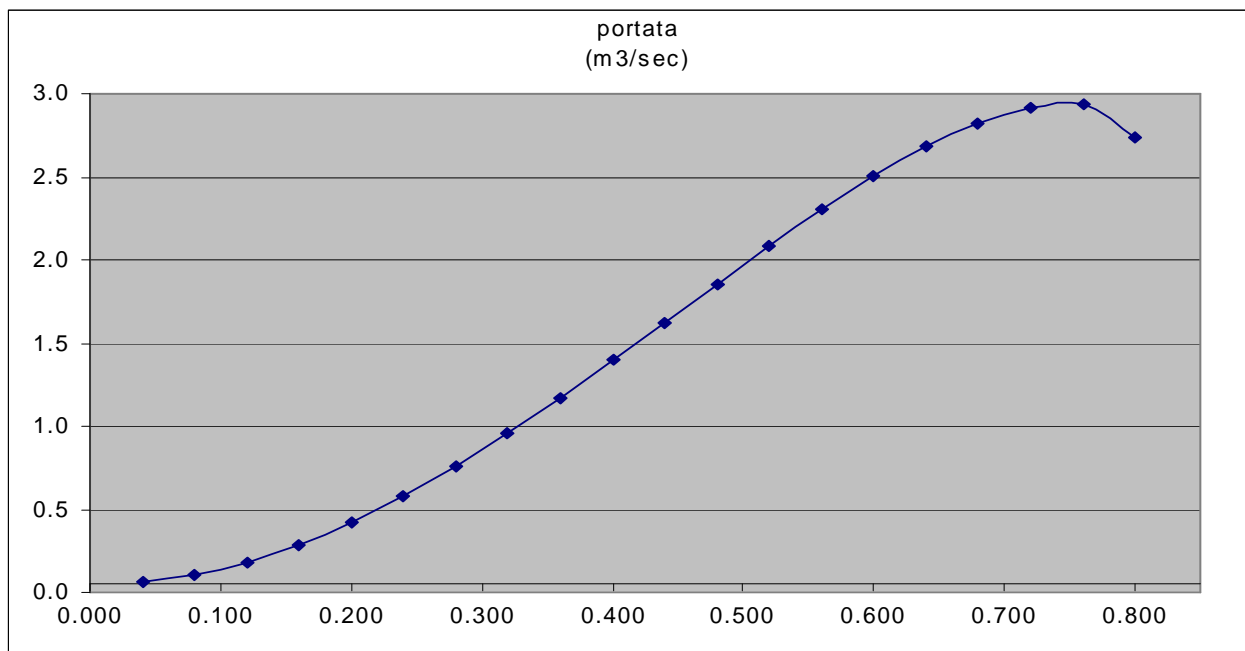
| livello (m) | h/D | sup (mq) | perimetro bagnato (m) | r idr (m) | velocità (m/s) | portata (m3/sec) |
|-------------|-------|----------|-----------------------|-----------|----------------|------------------|
| 0.030 | 0.05 | 0.01 | 0.27 | 0.02 | 1.14 | 0.0 |
| 0.060 | 0.1 | 0.01 | 0.39 | 0.04 | 1.77 | 0.0 |
| 0.090 | 0.15 | 0.03 | 0.48 | 0.06 | 2.28 | 0.1 |
| 0.120 | 0.2 | 0.04 | 0.56 | 0.07 | 2.72 | 0.1 |
| 0.150 | 0.25 | 0.06 | 0.63 | 0.09 | 3.10 | 0.2 |
| 0.180 | 0.3 | 0.07 | 0.70 | 0.10 | 3.43 | 0.2 |
| 0.210 | 0.35 | 0.09 | 0.76 | 0.12 | 3.72 | 0.3 |
| 0.240 | 0.4 | 0.11 | 0.82 | 0.13 | 3.99 | 0.4 |
| 0.270 | 0.45 | 0.12 | 0.88 | 0.14 | 4.22 | 0.5 |
| 0.300 | 0.5 | 0.14 | 0.94 | 0.15 | 4.42 | 0.6 |
| 0.330 | 0.55 | 0.16 | 1.00 | 0.16 | 4.59 | 0.7 |
| 0.360 | 0.6 | 0.18 | 1.06 | 0.17 | 4.74 | 0.8 |
| 0.390 | 0.65 | 0.19 | 1.13 | 0.17 | 4.86 | 0.9 |
| 0.420 | 0.700 | 0.211 | 1.189 | 0.178 | 4.948 | 1.0 |
| 0.450 | 0.75 | 0.23 | 1.26 | 0.18 | 5.01 | 1.1 |
| 0.480 | 0.8 | 0.24 | 1.33 | 0.18 | 5.04 | 1.2 |
| 0.510 | 0.85 | 0.26 | 1.41 | 0.18 | 5.03 | 1.3 |
| 0.540 | 0.9 | 0.27 | 1.50 | 0.18 | 4.97 | 1.3 |
| 0.570 | 0.95 | 0.28 | 1.61 | 0.17 | 4.84 | 1.3 |
| 0.600 | 1 | 0.28 | 1.88 | 0.15 | 4.42 | 1.2 |



**Scala di deflusso in moto uniforme
 sezione circolare MPAR16**

| | | |
|--------------------------------------|---|------|
| diametro esterno (mm) | | |
| diametro interno (m) | = | 0.8 |
| pendenza (m/m) | = | 0.05 |
| C di Strickler (m ^{1/3} /s) | = | 70 |

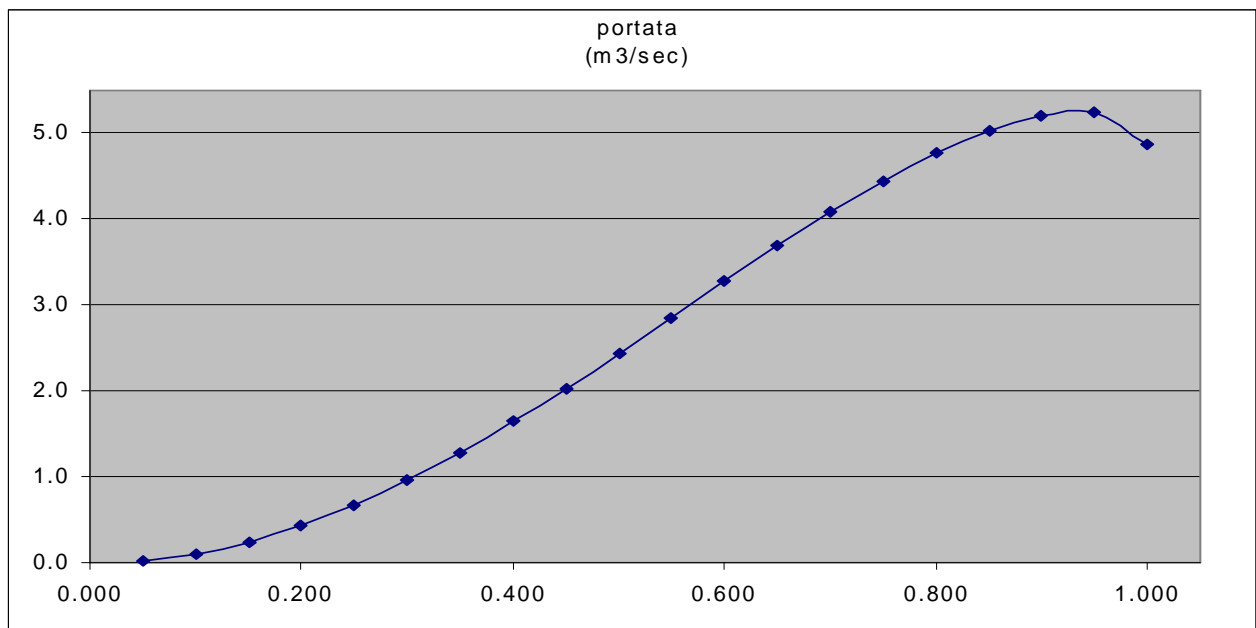
| livello (m) | h/D | sup (mq) | perimetro bagnato (m) | r idr (m) | velocità (m/s) | portata (m3/sec) |
|-------------|-------|----------|-----------------------|-----------|----------------|------------------|
| 0.040 | 0.05 | 0.01 | 0.36 | 0.03 | 1.38 | 0.0 |
| 0.080 | 0.1 | 0.03 | 0.51 | 0.05 | 2.15 | 0.1 |
| 0.120 | 0.15 | 0.05 | 0.64 | 0.07 | 2.77 | 0.1 |
| 0.160 | 0.2 | 0.07 | 0.74 | 0.10 | 3.29 | 0.2 |
| 0.200 | 0.25 | 0.10 | 0.84 | 0.12 | 3.75 | 0.4 |
| 0.240 | 0.3 | 0.13 | 0.93 | 0.14 | 4.15 | 0.5 |
| 0.280 | 0.35 | 0.16 | 1.01 | 0.15 | 4.51 | 0.7 |
| 0.320 | 0.4 | 0.19 | 1.10 | 0.17 | 4.83 | 0.9 |
| 0.360 | 0.45 | 0.22 | 1.18 | 0.19 | 5.11 | 1.1 |
| 0.400 | 0.5 | 0.25 | 1.26 | 0.20 | 5.35 | 1.3 |
| 0.440 | 0.55 | 0.28 | 1.34 | 0.21 | 5.56 | 1.6 |
| 0.480 | 0.6 | 0.31 | 1.42 | 0.22 | 5.74 | 1.8 |
| 0.520 | 0.65 | 0.35 | 1.50 | 0.23 | 5.88 | 2.0 |
| 0.560 | 0.700 | 0.376 | 1.586 | 0.237 | 5.994 | 2.3 |
| 0.600 | 0.75 | 0.40 | 1.68 | 0.24 | 6.07 | 2.5 |
| 0.640 | 0.8 | 0.43 | 1.77 | 0.24 | 6.10 | 2.6 |
| 0.680 | 0.85 | 0.46 | 1.88 | 0.24 | 6.09 | 2.8 |
| 0.720 | 0.9 | 0.48 | 2.00 | 0.24 | 6.02 | 2.9 |
| 0.760 | 0.95 | 0.49 | 2.15 | 0.23 | 5.86 | 2.9 |
| 0.800 | 1 | 0.50 | 2.51 | 0.20 | 5.35 | 2.7 |



**Scala di deflusso in moto uniforme
 sezione circolare MPAR17**

| | | |
|--------------------------------------|---|------|
| diametro esterno (mm) | | |
| diametro interno (m) | = | 1 |
| pendenza (m/m) | = | 0.05 |
| C di Strickler (m ^{1/3} /s) | = | 70 |

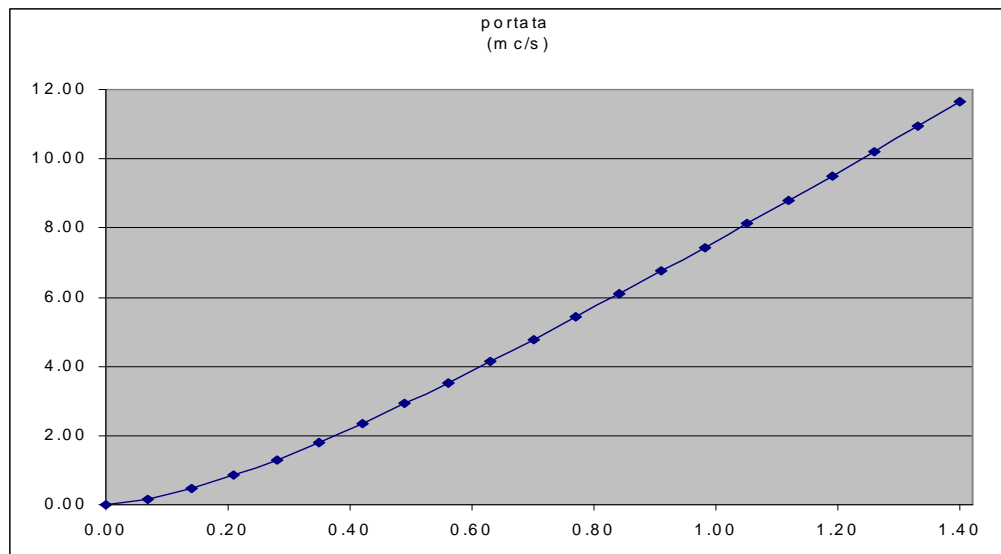
| livello (m) | h/D | sup (mq) | perimetro bagnato (m) | r idr (m) | velocità (m/s) | portata (m3/sec) |
|-------------|-------|----------|-----------------------|-----------|----------------|------------------|
| 0.050 | 0.05 | 0.01 | 0.45 | 0.03 | 1.60 | 0.0 |
| 0.100 | 0.1 | 0.04 | 0.64 | 0.06 | 2.49 | 0.1 |
| 0.150 | 0.15 | 0.07 | 0.80 | 0.09 | 3.21 | 0.2 |
| 0.200 | 0.2 | 0.11 | 0.93 | 0.12 | 3.82 | 0.4 |
| 0.250 | 0.25 | 0.15 | 1.05 | 0.15 | 4.35 | 0.7 |
| 0.300 | 0.3 | 0.20 | 1.16 | 0.17 | 4.82 | 1.0 |
| 0.350 | 0.35 | 0.24 | 1.27 | 0.19 | 5.24 | 1.3 |
| 0.400 | 0.4 | 0.29 | 1.37 | 0.21 | 5.60 | 1.6 |
| 0.450 | 0.45 | 0.34 | 1.47 | 0.23 | 5.93 | 2.0 |
| 0.500 | 0.5 | 0.39 | 1.57 | 0.25 | 6.21 | 2.4 |
| 0.550 | 0.55 | 0.44 | 1.67 | 0.26 | 6.46 | 2.9 |
| 0.600 | 0.6 | 0.49 | 1.77 | 0.28 | 6.66 | 3.3 |
| 0.650 | 0.65 | 0.54 | 1.88 | 0.29 | 6.83 | 3.7 |
| 0.700 | 0.700 | 0.587 | 1.982 | 0.296 | 6.956 | 4.1 |
| 0.750 | 0.75 | 0.63 | 2.09 | 0.30 | 7.04 | 4.4 |
| 0.800 | 0.8 | 0.67 | 2.21 | 0.30 | 7.08 | 4.8 |
| 0.850 | 0.85 | 0.71 | 2.35 | 0.30 | 7.07 | 5.0 |
| 0.900 | 0.9 | 0.74 | 2.50 | 0.30 | 6.98 | 5.2 |
| 0.950 | 0.95 | 0.77 | 2.69 | 0.29 | 6.80 | 5.2 |
| 1.000 | 1 | 0.79 | 3.14 | 0.25 | 6.21 | 4.9 |



**Scala di deflusso in moto uniforme
 sezione rettangolare MPAR18**

| | |
|--|------|
| Larghezza del fondo (m) | 1.50 |
| Pendenza (m/m) | 0.05 |
| C di Strickler (m ^{1/3} s ⁻¹) | 40 |
| Altezza massima dal fondo | 1.40 |

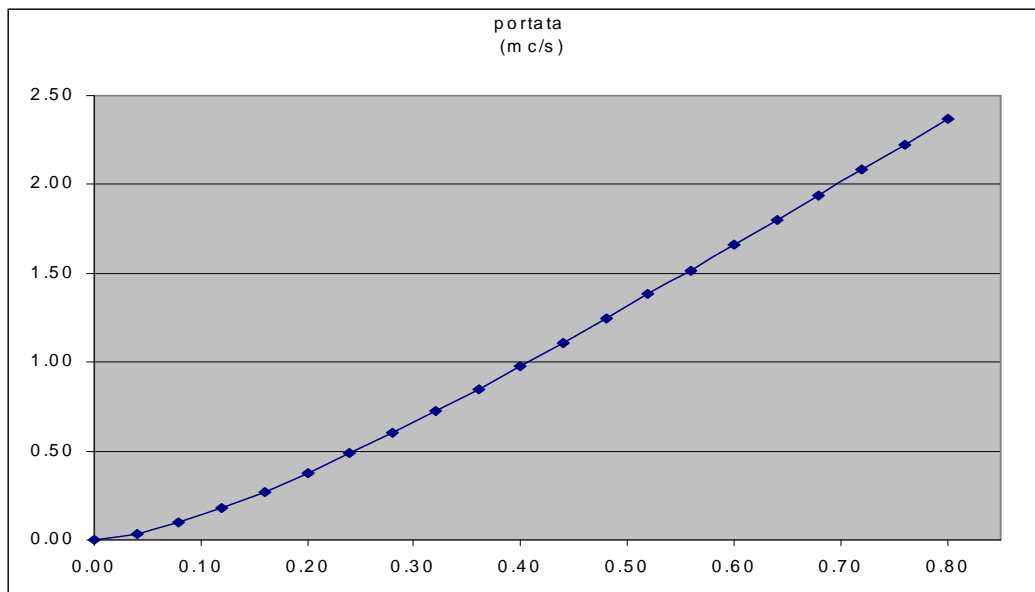
| livello (m) | superficie bagnata (mq) | raggio idraulico (m) | velocità (m/s) | portata (mc/s) |
|-------------|-------------------------|----------------------|----------------|----------------|
| 0.00 | 0.00 | 0.00 | 0.00 | 0.00 |
| 0.07 | 0.11 | 0.06 | 1.43 | 0.15 |
| 0.14 | 0.21 | 0.12 | 2.15 | 0.45 |
| 0.21 | 0.32 | 0.16 | 2.68 | 0.84 |
| 0.28 | 0.42 | 0.20 | 3.10 | 1.30 |
| 0.35 | 0.53 | 0.24 | 3.44 | 1.81 |
| 0.42 | 0.63 | 0.27 | 3.73 | 2.35 |
| 0.49 | 0.74 | 0.30 | 3.98 | 2.92 |
| 0.56 | 0.84 | 0.32 | 4.19 | 3.52 |
| 0.63 | 0.95 | 0.34 | 4.38 | 4.14 |
| 0.70 | 1.05 | 0.36 | 4.54 | 4.77 |
| 0.77 | 1.16 | 0.38 | 4.69 | 5.42 |
| 0.84 | 1.26 | 0.40 | 4.83 | 6.08 |
| 0.91 | 1.37 | 0.41 | 4.95 | 6.75 |
| 0.98 | 1.47 | 0.42 | 5.05 | 7.43 |
| 1.05 | 1.58 | 0.44 | 5.15 | 8.12 |
| 1.12 | 1.68 | 0.45 | 5.25 | 8.81 |
| 1.19 | 1.79 | 0.46 | 5.33 | 9.51 |
| 1.26 | 1.89 | 0.47 | 5.41 | 10.22 |
| 1.33 | 2.00 | 0.48 | 5.48 | 10.93 |
| 1.40 | 2.10 | 0.49 | 5.55 | 11.65 |



**Scala di deflusso in moto uniforme
 sezione rettangolare MPAR19**

| | |
|--|------|
| Larghezza del fondo (m) | 0.80 |
| Pendenza (m/m) | 0.05 |
| C di Strickler (m ^{1/3} s ⁻¹) | 40 |
| Altezza massima dal fondo | 0.80 |

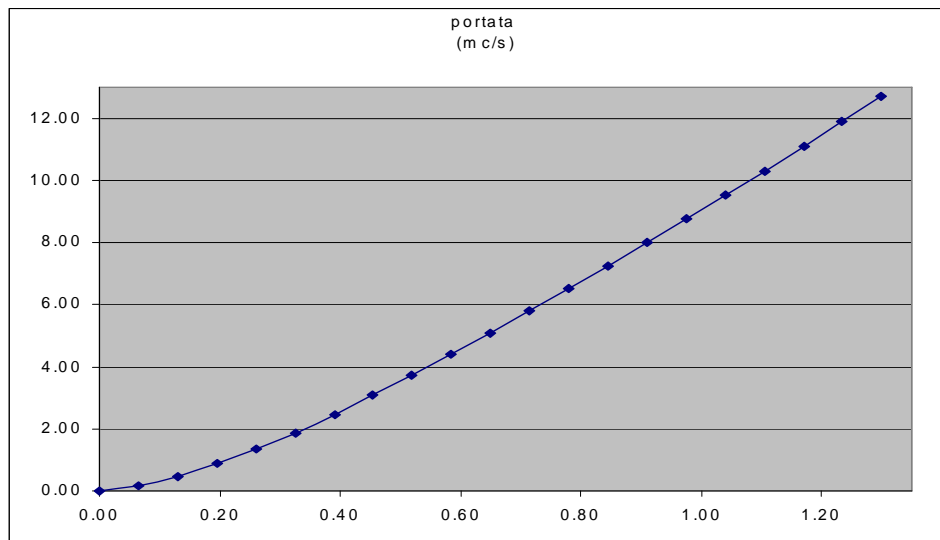
| livello (m) | superficie bagnata (mq) | raggio idraulico (m) | velocità (m/s) | portata (mc/s) |
|-------------|-------------------------|----------------------|----------------|----------------|
| 0.00 | 0.00 | 0.00 | 0.00 | 0.00 |
| 0.04 | 0.03 | 0.04 | 0.98 | 0.03 |
| 0.08 | 0.06 | 0.07 | 1.47 | 0.09 |
| 0.12 | 0.10 | 0.09 | 1.83 | 0.18 |
| 0.16 | 0.13 | 0.11 | 2.11 | 0.27 |
| 0.20 | 0.16 | 0.13 | 2.33 | 0.37 |
| 0.24 | 0.19 | 0.15 | 2.53 | 0.48 |
| 0.28 | 0.22 | 0.16 | 2.69 | 0.60 |
| 0.32 | 0.26 | 0.18 | 2.83 | 0.72 |
| 0.36 | 0.29 | 0.19 | 2.95 | 0.85 |
| 0.40 | 0.32 | 0.20 | 3.06 | 0.98 |
| 0.44 | 0.35 | 0.21 | 3.16 | 1.11 |
| 0.48 | 0.38 | 0.22 | 3.24 | 1.24 |
| 0.52 | 0.42 | 0.23 | 3.32 | 1.38 |
| 0.56 | 0.45 | 0.23 | 3.39 | 1.52 |
| 0.60 | 0.48 | 0.24 | 3.45 | 1.66 |
| 0.64 | 0.51 | 0.25 | 3.51 | 1.80 |
| 0.68 | 0.54 | 0.25 | 3.57 | 1.94 |
| 0.72 | 0.58 | 0.26 | 3.62 | 2.08 |
| 0.76 | 0.61 | 0.26 | 3.66 | 2.23 |
| 0.80 | 0.64 | 0.27 | 3.71 | 2.37 |



**Scala di deflusso in moto uniforme
 sezione rettangolare MPAR21**

| | |
|--|------|
| Larghezza del fondo (m) | 1.70 |
| Pendenza (m/m) | 0.05 |
| C di Strickler (m ^{1/3} s ⁻¹) | 40 |
| Altezza massima dal fondo | 1.30 |

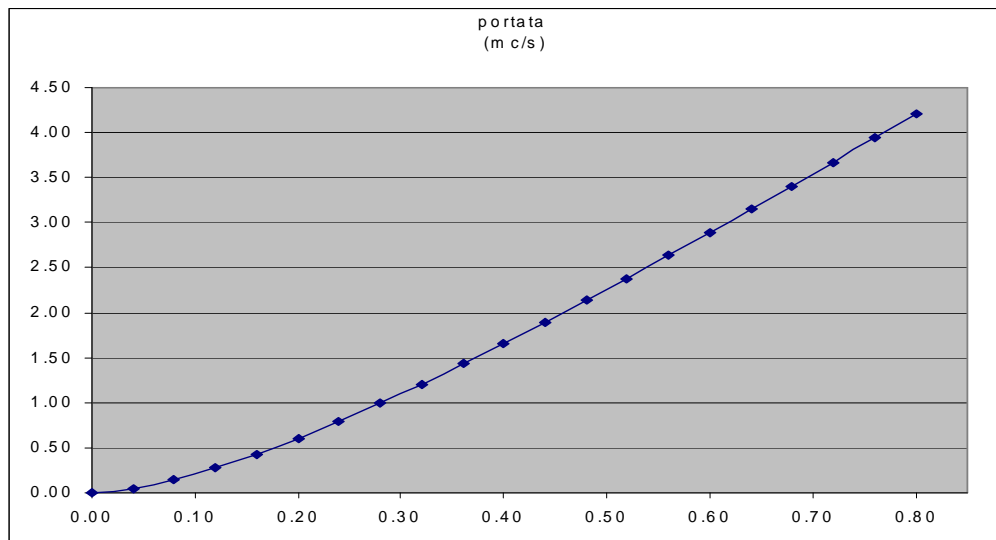
| livello (m) | superficie bagnata (mq) | raggio idraulico (m) | velocità (m/s) | portata (mc/s) |
|-------------|-------------------------|----------------------|----------------|----------------|
| 0.00 | 0.00 | 0.00 | 0.00 | 0.00 |
| 0.07 | 0.11 | 0.06 | 1.38 | 0.15 |
| 0.13 | 0.22 | 0.11 | 2.09 | 0.46 |
| 0.20 | 0.33 | 0.16 | 2.62 | 0.87 |
| 0.26 | 0.44 | 0.20 | 3.05 | 1.35 |
| 0.33 | 0.55 | 0.24 | 3.41 | 1.88 |
| 0.39 | 0.66 | 0.27 | 3.71 | 2.46 |
| 0.46 | 0.77 | 0.30 | 3.98 | 3.08 |
| 0.52 | 0.88 | 0.32 | 4.21 | 3.72 |
| 0.59 | 0.99 | 0.35 | 4.41 | 4.39 |
| 0.65 | 1.11 | 0.37 | 4.60 | 5.08 |
| 0.72 | 1.22 | 0.39 | 4.76 | 5.79 |
| 0.78 | 1.33 | 0.41 | 4.91 | 6.51 |
| 0.85 | 1.44 | 0.42 | 5.05 | 7.25 |
| 0.91 | 1.55 | 0.44 | 5.17 | 8.00 |
| 0.98 | 1.66 | 0.45 | 5.28 | 8.76 |
| 1.04 | 1.77 | 0.47 | 5.39 | 9.53 |
| 1.11 | 1.88 | 0.48 | 5.49 | 10.31 |
| 1.17 | 1.99 | 0.49 | 5.58 | 11.09 |
| 1.24 | 2.10 | 0.50 | 5.66 | 11.88 |
| 1.30 | 2.21 | 0.51 | 5.74 | 12.68 |



**Scala di deflusso in moto uniforme
 sezione rettangolare MPAR22**

| | |
|--|------|
| Larghezza del fondo (m) | 1.20 |
| Pendenza (m/m) | 0.05 |
| C di Strickler (m ^{1/3} s ⁻¹) | 40 |
| Altezza massima dal fondo | 0.80 |

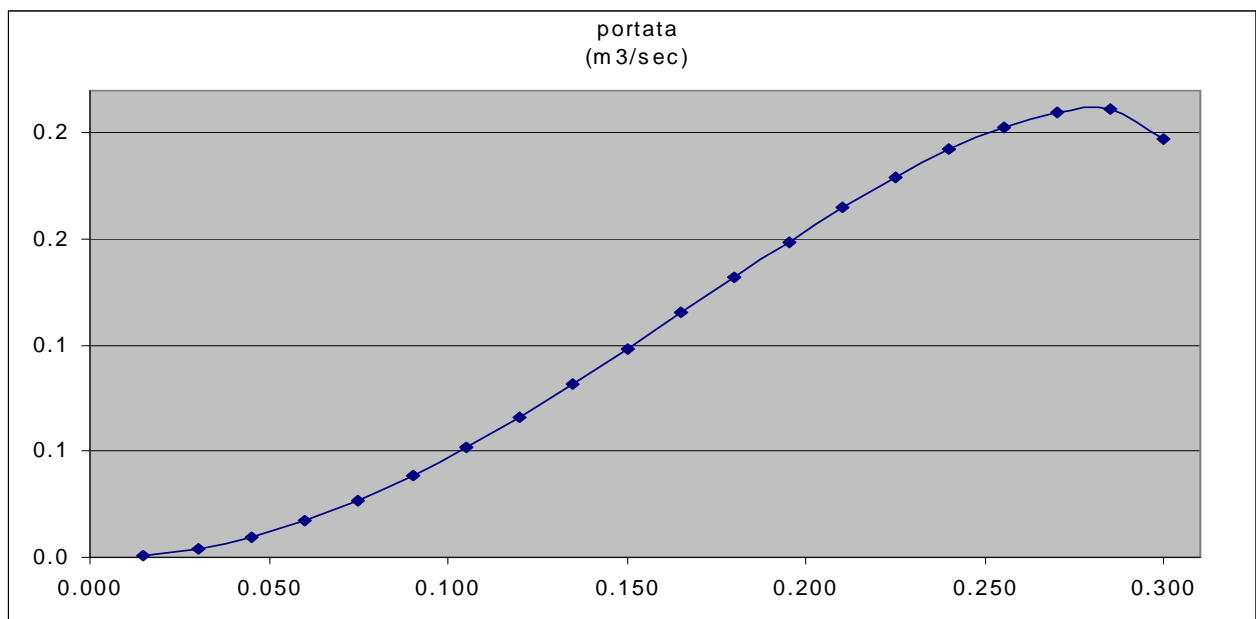
| livello (m) | superficie bagnata (mq) | raggio idraulico (m) | velocità (m/s) | portata (mc/s) |
|-------------|-------------------------|----------------------|----------------|----------------|
| 0.00 | 0.00 | 0.00 | 0.00 | 0.00 |
| 0.04 | 0.05 | 0.04 | 1.00 | 0.05 |
| 0.08 | 0.10 | 0.07 | 1.53 | 0.15 |
| 0.12 | 0.14 | 0.10 | 1.93 | 0.28 |
| 0.16 | 0.19 | 0.13 | 2.25 | 0.43 |
| 0.20 | 0.24 | 0.15 | 2.53 | 0.61 |
| 0.24 | 0.29 | 0.17 | 2.76 | 0.79 |
| 0.28 | 0.34 | 0.19 | 2.97 | 1.00 |
| 0.32 | 0.38 | 0.21 | 3.15 | 1.21 |
| 0.36 | 0.43 | 0.23 | 3.31 | 1.43 |
| 0.40 | 0.48 | 0.24 | 3.45 | 1.66 |
| 0.44 | 0.53 | 0.25 | 3.59 | 1.89 |
| 0.48 | 0.58 | 0.27 | 3.71 | 2.13 |
| 0.52 | 0.62 | 0.28 | 3.82 | 2.38 |
| 0.56 | 0.67 | 0.29 | 3.92 | 2.63 |
| 0.60 | 0.72 | 0.30 | 4.01 | 2.89 |
| 0.64 | 0.77 | 0.31 | 4.09 | 3.14 |
| 0.68 | 0.82 | 0.32 | 4.17 | 3.41 |
| 0.72 | 0.86 | 0.33 | 4.25 | 3.67 |
| 0.76 | 0.91 | 0.34 | 4.32 | 3.94 |
| 0.80 | 0.96 | 0.34 | 4.38 | 4.21 |



**Scala di deflusso in moto uniforme
 sezione circolare MPAR23**

| | | |
|--------------------------------------|---|------|
| diametro esterno (mm) | | |
| diametro interno (m) | = | 0.3 |
| pendenza (m/m) | = | 0.05 |
| C di Strickler (m ^{1/3} /s) | = | 70 |

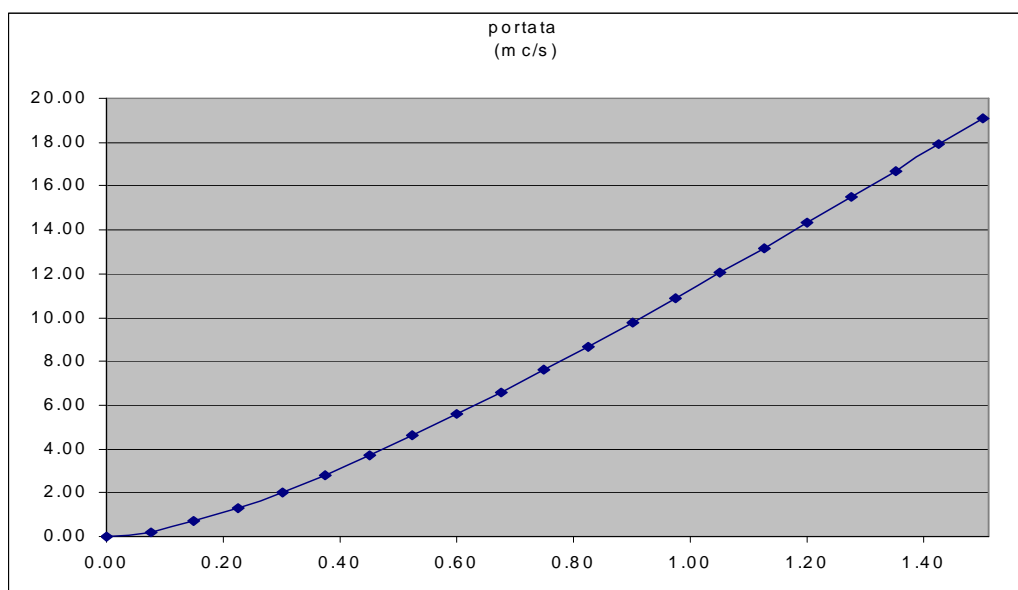
| livello (m) | h/D | sup (mq) | perimetro bagnato (m) | r idr (m) | velocità (m/s) | portata (m3/sec) |
|-------------|-------|----------|-----------------------|-----------|----------------|------------------|
| 0.015 | 0.05 | 0.00 | 0.14 | 0.01 | 0.72 | 0.0 |
| 0.030 | 0.1 | 0.00 | 0.19 | 0.02 | 1.12 | 0.0 |
| 0.045 | 0.15 | 0.01 | 0.24 | 0.03 | 1.44 | 0.0 |
| 0.060 | 0.2 | 0.01 | 0.28 | 0.04 | 1.71 | 0.0 |
| 0.075 | 0.25 | 0.01 | 0.31 | 0.04 | 1.95 | 0.0 |
| 0.090 | 0.3 | 0.02 | 0.35 | 0.05 | 2.16 | 0.0 |
| 0.105 | 0.35 | 0.02 | 0.38 | 0.06 | 2.35 | 0.1 |
| 0.120 | 0.4 | 0.03 | 0.41 | 0.06 | 2.51 | 0.1 |
| 0.135 | 0.45 | 0.03 | 0.44 | 0.07 | 2.66 | 0.1 |
| 0.150 | 0.5 | 0.04 | 0.47 | 0.08 | 2.78 | 0.1 |
| 0.165 | 0.55 | 0.04 | 0.50 | 0.08 | 2.89 | 0.1 |
| 0.180 | 0.6 | 0.04 | 0.53 | 0.08 | 2.99 | 0.1 |
| 0.195 | 0.65 | 0.05 | 0.56 | 0.09 | 3.06 | 0.1 |
| 0.210 | 0.700 | 0.053 | 0.595 | 0.089 | 3.117 | 0.2 |
| 0.225 | 0.75 | 0.06 | 0.63 | 0.09 | 3.16 | 0.2 |
| 0.240 | 0.8 | 0.06 | 0.66 | 0.09 | 3.17 | 0.2 |
| 0.255 | 0.85 | 0.06 | 0.70 | 0.09 | 3.17 | 0.2 |
| 0.270 | 0.9 | 0.07 | 0.75 | 0.09 | 3.13 | 0.2 |
| 0.285 | 0.95 | 0.07 | 0.81 | 0.09 | 3.05 | 0.2 |
| 0.300 | 1 | 0.07 | 0.94 | 0.08 | 2.78 | 0.2 |



**Scala di deflusso in moto uniforme
 sezione rettangolare MPAR24**

| | |
|--|------|
| Larghezza del fondo (m) | 2.00 |
| Pendenza (m/m) | 0.05 |
| C di Strickler (m ^{1/3} s ⁻¹) | 40 |
| Altezza massima dal fondo | 1.50 |

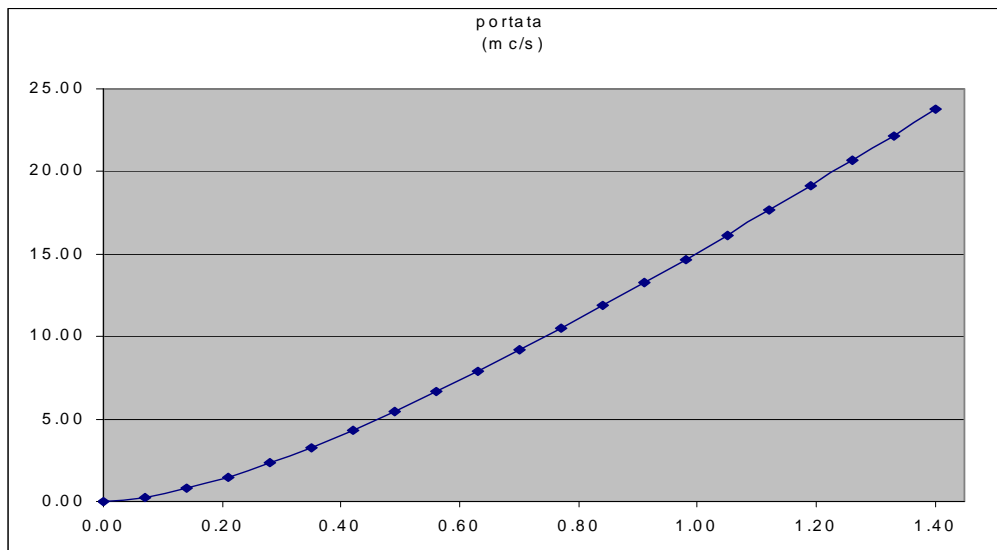
| livello (m) | superficie bagnata (mq) | raggio idraulico (m) | velocità (m/s) | portata (mc/s) |
|-------------|-------------------------|----------------------|----------------|----------------|
| 0.00 | 0.00 | 0.00 | 0.00 | 0.00 |
| 0.08 | 0.15 | 0.07 | 1.52 | 0.23 |
| 0.15 | 0.30 | 0.13 | 2.30 | 0.69 |
| 0.23 | 0.45 | 0.18 | 2.89 | 1.30 |
| 0.30 | 0.60 | 0.23 | 3.37 | 2.02 |
| 0.38 | 0.75 | 0.27 | 3.76 | 2.82 |
| 0.45 | 0.90 | 0.31 | 4.10 | 3.69 |
| 0.53 | 1.05 | 0.34 | 4.39 | 4.61 |
| 0.60 | 1.20 | 0.38 | 4.65 | 5.58 |
| 0.68 | 1.35 | 0.40 | 4.88 | 6.59 |
| 0.75 | 1.50 | 0.43 | 5.08 | 7.63 |
| 0.83 | 1.65 | 0.45 | 5.27 | 8.69 |
| 0.90 | 1.80 | 0.47 | 5.44 | 9.78 |
| 0.98 | 1.95 | 0.49 | 5.59 | 10.89 |
| 1.05 | 2.10 | 0.51 | 5.73 | 12.02 |
| 1.13 | 2.25 | 0.53 | 5.85 | 13.17 |
| 1.20 | 2.40 | 0.55 | 5.97 | 14.33 |
| 1.28 | 2.55 | 0.56 | 6.08 | 15.50 |
| 1.35 | 2.70 | 0.57 | 6.18 | 16.69 |
| 1.43 | 2.85 | 0.59 | 6.28 | 17.88 |
| 1.50 | 3.00 | 0.60 | 6.36 | 19.09 |



**Scala di deflusso in moto uniforme
 sezione rettangolare MPAR25**

| | |
|--|------|
| Larghezza del fondo (m) | 2.50 |
| Pendenza (m/m) | 0.05 |
| C di Strickler (m ^{1/3} s ⁻¹) | 40 |
| Altezza massima dal fondo | 1.40 |

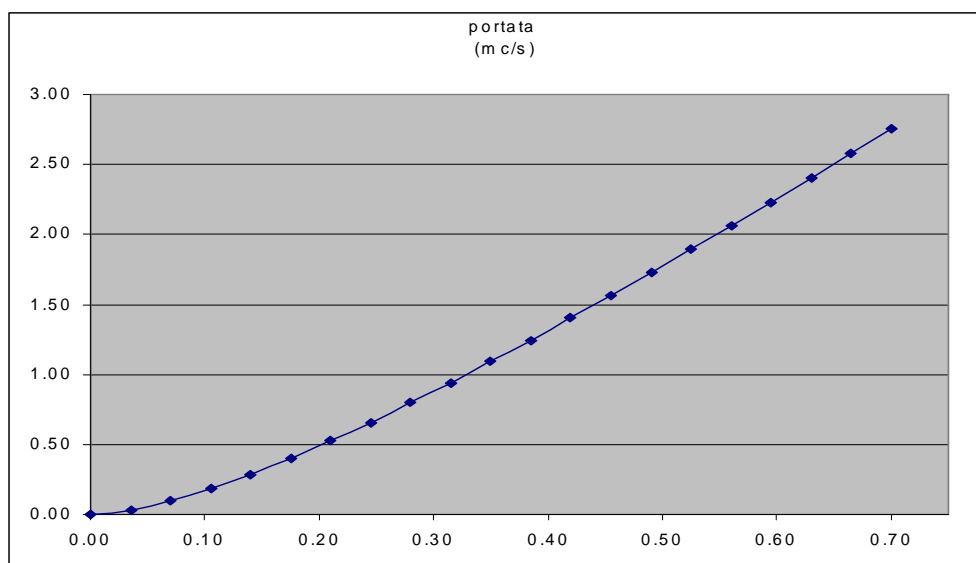
| livello (m) | superficie bagnata (mq) | raggio idraulico (m) | velocità (m/s) | portata (mc/s) |
|-------------|-------------------------|----------------------|----------------|----------------|
| 0.00 | 0.00 | 0.00 | 0.00 | 0.00 |
| 0.07 | 0.18 | 0.07 | 1.46 | 0.26 |
| 0.14 | 0.35 | 0.13 | 2.25 | 0.79 |
| 0.21 | 0.53 | 0.18 | 2.85 | 1.50 |
| 0.28 | 0.70 | 0.23 | 3.35 | 2.34 |
| 0.35 | 0.88 | 0.27 | 3.77 | 3.30 |
| 0.42 | 1.05 | 0.31 | 4.14 | 4.34 |
| 0.49 | 1.23 | 0.35 | 4.46 | 5.46 |
| 0.56 | 1.40 | 0.39 | 4.75 | 6.65 |
| 0.63 | 1.58 | 0.42 | 5.01 | 7.89 |
| 0.70 | 1.75 | 0.45 | 5.24 | 9.17 |
| 0.77 | 1.93 | 0.48 | 5.46 | 10.50 |
| 0.84 | 2.10 | 0.50 | 5.65 | 11.87 |
| 0.91 | 2.28 | 0.53 | 5.83 | 13.27 |
| 0.98 | 2.45 | 0.55 | 6.00 | 14.70 |
| 1.05 | 2.63 | 0.57 | 6.15 | 16.15 |
| 1.12 | 2.80 | 0.59 | 6.30 | 17.63 |
| 1.19 | 2.98 | 0.61 | 6.43 | 19.13 |
| 1.26 | 3.15 | 0.63 | 6.56 | 20.65 |
| 1.33 | 3.33 | 0.64 | 6.67 | 22.19 |
| 1.40 | 3.50 | 0.66 | 6.78 | 23.74 |



**Scala di deflusso in moto uniforme
 sezione rettangolare MPAR26**

| | |
|--|------|
| Larghezza del fondo (m) | 1.00 |
| Pendenza (m/m) | 0.05 |
| C di Strickler (m ^{1/3} s ⁻¹) | 40 |
| Altezza massima dal fondo | 0.70 |

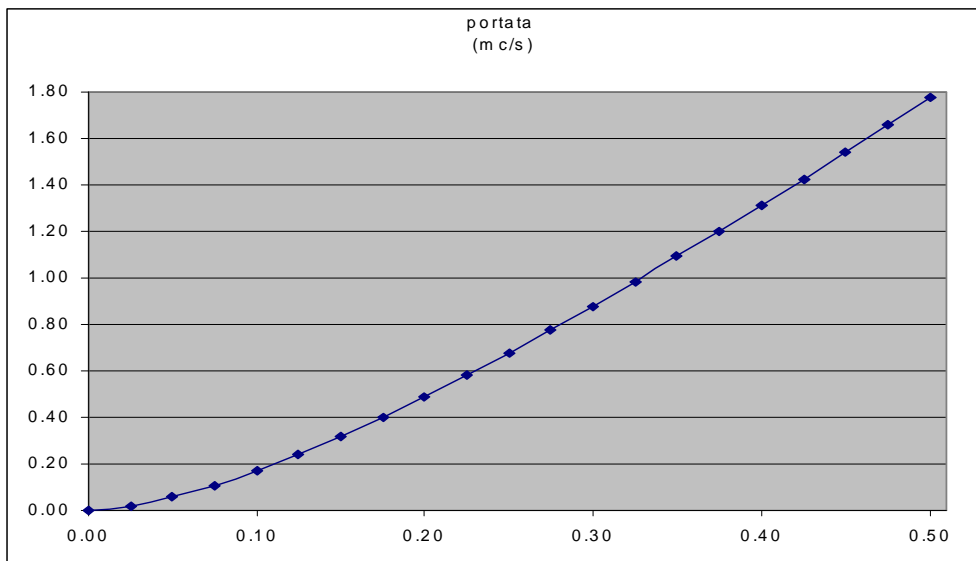
| livello (m) | superficie bagnata (mq) | raggio idraulico (m) | velocità (m/s) | portata (mc/s) |
|-------------|-------------------------|----------------------|----------------|----------------|
| 0.00 | 0.00 | 0.00 | 0.00 | 0.00 |
| 0.04 | 0.04 | 0.03 | 0.91 | 0.03 |
| 0.07 | 0.07 | 0.06 | 1.39 | 0.10 |
| 0.11 | 0.11 | 0.09 | 1.75 | 0.18 |
| 0.14 | 0.14 | 0.11 | 2.05 | 0.29 |
| 0.18 | 0.18 | 0.13 | 2.29 | 0.40 |
| 0.21 | 0.21 | 0.15 | 2.50 | 0.53 |
| 0.25 | 0.25 | 0.16 | 2.68 | 0.66 |
| 0.28 | 0.28 | 0.18 | 2.85 | 0.80 |
| 0.32 | 0.32 | 0.19 | 2.99 | 0.94 |
| 0.35 | 0.35 | 0.21 | 3.12 | 1.09 |
| 0.39 | 0.39 | 0.22 | 3.23 | 1.25 |
| 0.42 | 0.42 | 0.23 | 3.34 | 1.40 |
| 0.46 | 0.46 | 0.24 | 3.44 | 1.56 |
| 0.49 | 0.49 | 0.25 | 3.53 | 1.73 |
| 0.53 | 0.53 | 0.26 | 3.61 | 1.89 |
| 0.56 | 0.56 | 0.26 | 3.68 | 2.06 |
| 0.60 | 0.60 | 0.27 | 3.75 | 2.23 |
| 0.63 | 0.63 | 0.28 | 3.82 | 2.40 |
| 0.67 | 0.67 | 0.29 | 3.88 | 2.58 |
| 0.70 | 0.70 | 0.29 | 3.93 | 2.75 |



**Scala di deflusso in moto uniforme
 sezione rettangolare MPAR27**

| | |
|--|------|
| Larghezza del fondo (m) | 1.00 |
| Pendenza (m/m) | 0.05 |
| C di Strickler (m ^{1/3} s ⁻¹) | 40 |
| Altezza massima dal fondo | 0.50 |

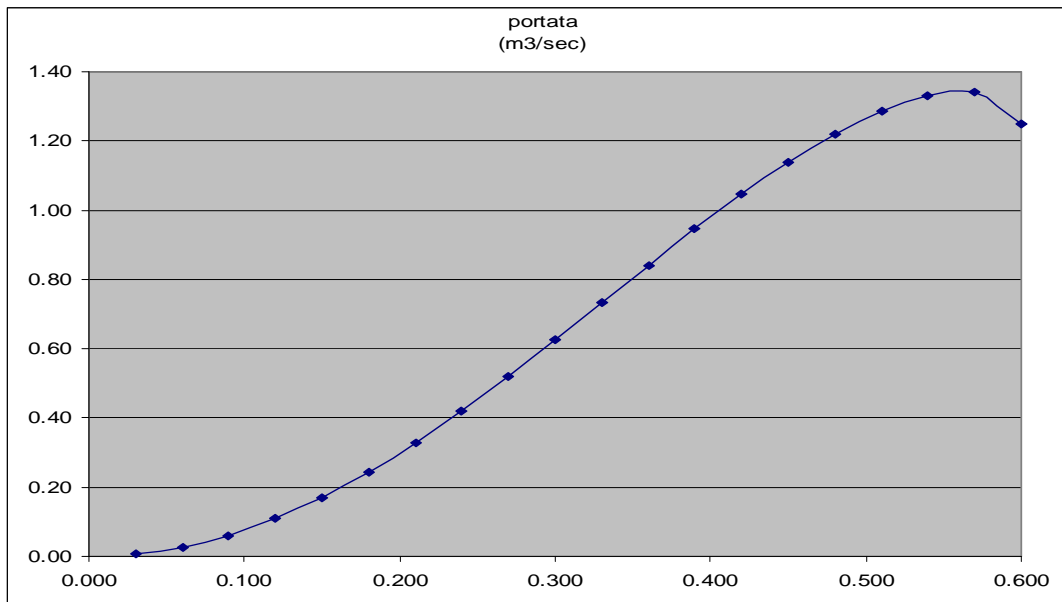
| livello (m) | superficie bagnata (mq) | raggio idraulico (m) | velocità (m/s) | portata (mc/s) |
|-------------|-------------------------|----------------------|----------------|----------------|
| 0.00 | 0.00 | 0.00 | 0.00 | 0.00 |
| 0.03 | 0.03 | 0.02 | 0.74 | 0.02 |
| 0.05 | 0.05 | 0.05 | 1.14 | 0.06 |
| 0.08 | 0.08 | 0.07 | 1.45 | 0.11 |
| 0.10 | 0.10 | 0.08 | 1.71 | 0.17 |
| 0.13 | 0.13 | 0.10 | 1.93 | 0.24 |
| 0.15 | 0.15 | 0.12 | 2.12 | 0.32 |
| 0.18 | 0.18 | 0.13 | 2.29 | 0.40 |
| 0.20 | 0.20 | 0.14 | 2.44 | 0.49 |
| 0.23 | 0.23 | 0.16 | 2.58 | 0.58 |
| 0.25 | 0.25 | 0.17 | 2.71 | 0.68 |
| 0.28 | 0.28 | 0.18 | 2.82 | 0.78 |
| 0.30 | 0.30 | 0.19 | 2.93 | 0.88 |
| 0.33 | 0.33 | 0.20 | 3.03 | 0.98 |
| 0.35 | 0.35 | 0.21 | 3.12 | 1.09 |
| 0.38 | 0.38 | 0.21 | 3.20 | 1.20 |
| 0.40 | 0.40 | 0.22 | 3.28 | 1.31 |
| 0.43 | 0.43 | 0.23 | 3.35 | 1.43 |
| 0.45 | 0.45 | 0.24 | 3.42 | 1.54 |
| 0.48 | 0.48 | 0.24 | 3.49 | 1.66 |
| 0.50 | 0.50 | 0.25 | 3.55 | 1.77 |



**Scala di deflusso in moto uniforme
 sezione circolare MPAR29**

| | | |
|--------------------------------------|---|------|
| diametro interno (m) | = | 0.6 |
| pendenza (m/m) | = | 0.05 |
| C di Strickler (m ^{1/3} /s) | = | 70 |

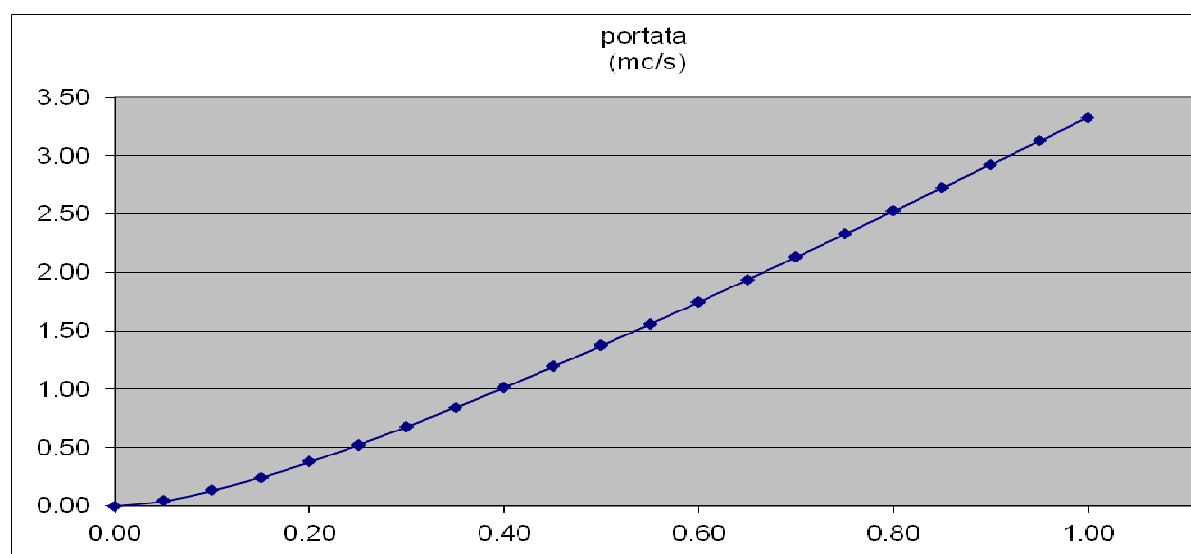
| livello (m) | h/D | sup (mq) | perimetro bagnato (m) | r idr (m) | velocità (m/s) | portata (m3/sec) |
|-------------|-------|----------|-----------------------|-----------|----------------|------------------|
| 0.030 | 0.05 | 0.01 | 0.27 | 0.02 | 1.14 | 0.01 |
| 0.060 | 0.1 | 0.01 | 0.39 | 0.04 | 1.77 | 0.03 |
| 0.090 | 0.15 | 0.03 | 0.48 | 0.06 | 2.28 | 0.06 |
| 0.120 | 0.2 | 0.04 | 0.56 | 0.07 | 2.72 | 0.11 |
| 0.150 | 0.25 | 0.06 | 0.63 | 0.09 | 3.10 | 0.17 |
| 0.180 | 0.3 | 0.07 | 0.70 | 0.10 | 3.43 | 0.24 |
| 0.210 | 0.35 | 0.09 | 0.76 | 0.12 | 3.72 | 0.33 |
| 0.240 | 0.4 | 0.11 | 0.82 | 0.13 | 3.99 | 0.42 |
| 0.270 | 0.45 | 0.12 | 0.88 | 0.14 | 4.22 | 0.52 |
| 0.300 | 0.5 | 0.14 | 0.94 | 0.15 | 4.42 | 0.62 |
| 0.330 | 0.55 | 0.16 | 1.00 | 0.16 | 4.59 | 0.73 |
| 0.360 | 0.6 | 0.18 | 1.06 | 0.17 | 4.74 | 0.84 |
| 0.390 | 0.65 | 0.19 | 1.13 | 0.17 | 4.86 | 0.95 |
| 0.420 | 0.700 | 0.211 | 1.189 | 0.178 | 4.948 | 1.05 |
| 0.450 | 0.75 | 0.23 | 1.26 | 0.18 | 5.01 | 1.14 |
| 0.480 | 0.8 | 0.24 | 1.33 | 0.18 | 5.04 | 1.22 |
| 0.510 | 0.85 | 0.26 | 1.41 | 0.18 | 5.03 | 1.29 |
| 0.540 | 0.9 | 0.27 | 1.50 | 0.18 | 4.97 | 1.33 |
| 0.570 | 0.95 | 0.28 | 1.61 | 0.17 | 4.84 | 1.34 |
| 0.600 | 1 | 0.28 | 1.88 | 0.15 | 4.42 | 1.25 |



**Scala di deflusso in moto uniforme
 sezione rettangolare MPAR30**

| | |
|--|------|
| Larghezza del fondo (m) | 1.00 |
| Pendenza (m/m) | 0.03 |
| C di Strickler (m ^{1/3} s ⁻¹) | 40 |
| Altezza massima dal fondo | 1.00 |

| livello (m) | superficie bagnata (mq) | raggio idraulico (m) | velocità (m/s) | portata (mc/s) |
|-------------|-------------------------|----------------------|----------------|----------------|
| 0.00 | 0.00 | 0.00 | 0.00 | 0.00 |
| 0.05 | 0.05 | 0.05 | 0.88 | 0.04 |
| 0.10 | 0.10 | 0.08 | 1.32 | 0.13 |
| 0.15 | 0.15 | 0.12 | 1.64 | 0.25 |
| 0.20 | 0.20 | 0.14 | 1.89 | 0.38 |
| 0.25 | 0.25 | 0.17 | 2.10 | 0.52 |
| 0.30 | 0.30 | 0.19 | 2.27 | 0.68 |
| 0.35 | 0.35 | 0.21 | 2.42 | 0.85 |
| 0.40 | 0.40 | 0.22 | 2.54 | 1.02 |
| 0.45 | 0.45 | 0.24 | 2.65 | 1.19 |
| 0.50 | 0.50 | 0.25 | 2.75 | 1.37 |
| 0.55 | 0.55 | 0.26 | 2.84 | 1.56 |
| 0.60 | 0.60 | 0.27 | 2.91 | 1.75 |
| 0.65 | 0.65 | 0.28 | 2.98 | 1.94 |
| 0.70 | 0.70 | 0.29 | 3.05 | 2.13 |
| 0.75 | 0.75 | 0.30 | 3.10 | 2.33 |
| 0.80 | 0.80 | 0.31 | 3.16 | 2.53 |
| 0.85 | 0.85 | 0.31 | 3.21 | 2.73 |
| 0.90 | 0.90 | 0.32 | 3.25 | 2.93 |
| 0.95 | 0.95 | 0.33 | 3.29 | 3.13 |
| 1.00 | 1.00 | 0.33 | 3.33 | 3.33 |



Bacino: Rio Comba Ciampiano (BPar.2+3)

Dati geometrici:

| AREA : | | | |
|-----------------------------------|----------------------|---|-------------------------|
| Area del bacino | A_{bacino} | = | 5,76 [km ²] |
| Area della conoide | A_{conoide} | = | 0,84 [km ²] |
| Area effettiva (Tropeano-Turconi) | A_{eff} | = | 6,05 [km ²] |

| QUOTA : | | | |
|---------------------------------|----------------------|---|-------------|
| Quota max | H_{max} | = | 2102,00 [m] |
| Quota min (apice del conoide) | H_{min} | = | 787,00 [m] |
| Quota confluenza | $H_{\text{confl.}}$ | = | 605,00 [m] |
| Quota massima (asta principale) | H_{maxasta} | = | 2000,00 [m] |

| DISLIVELLO : | | | |
|----------------------------|-----------------------|---|-------------|
| Asta principale nel bacino | DH_{asta} | = | 1213,00 [m] |
| Asta nel conoide | DH_{conoide} | = | 182,00 [m] |

| LUNGHEZZA : | | | |
|---|------------------------|---|-------------|
| Lunghezza asta (bacino 1) | L_{bacino1} | = | 6180,00 [m] |
| Lunghezza asta (conoide) | L_{conoide} | = | 1687,00 [m] |
| Lunghezza attiva del canale, ossia il tratto interessato realmente dalla colata | | | |
| Lunghezza massima | $L_{\text{attivamax}}$ | = | 1687,00 [m] |
| Lunghezza minima | $L_{\text{attivamin}}$ | = | 50,00 [m] |

| PENDENZA : | | | |
|-------------------------------------|----------------------------|---|-----------|
| Pendenza asta principale del bacino | i_{bacino} | = | 27,00 [%] |
| Pendenza asta del conoide | i_{conoide} | = | 10,79 [%] |
| Pendenza media del conoide | im_{conoide} | = | 10,00 [%] |
| Pendenza media del bacino | im_{bacino} | = | 32,40 [%] |
| Pendenza apice conoide | $i_{\text{conoide-apice}}$ | = | 16,50 [%] |

BACINO: Rio Comba Ciampiano (BPar.2+3)

| Autore | Formula | | | | Scelta dei coefficienti | Risultato (m ³) | |
|---|------------------------------------|-------------------|--|--|--|---|-------------------|
| Takei (552 Dati Raccolti in Giappone tra il 1972 e 1977) | $G_s = c * 13.600 * A^{0.61}$ | (m ³) | c fattore correttivo legato alla probabilità dell'evento: vale 1 per la linea di regressione, 8,38 per una probabilità di superamento del 5% | | c= 1 | 39.572,79 | |
| Bottino e Crivellari (1996) (6 valori misurati in occasione di eventi varificatesi nella zona di Ivrea) | $G_s = 21.241 * A^{0.28}$ | (m ³) | | | | 34.681,13 | |
| Marchi e Tecca (1996) | $G_s = 70.000 * A$ | (m ³) | | | | 403.200,00 | |
| Van Dine (1985-1996) | $G_s = 10.000 * A$ | (m ³) | | | | 57.600,00 | |
| Kronfellner e Kraus (1984-1985) | $G_s = (K_1 e^{-K_2 A}) A_i$ | (m ³) | A espressa in km2 | K ₁ e ^{-K₂A} è indicato come fattore di torrezialità determinato dalle due costanti K ₁ e K ₂ dipendenti dall'area morfologica-climatica alla quale appartiene il bacino. Gli autori dividono il territorio Austriaco in quattro zone omogenee e per ognuna di esse forniscono i valori dei due parametri; tuttavia riscontrano, in una ulteriore verifica compiuta su 333 eventi di piena, che i 2/3 delle alluvioni osservate ricadono in un campo intermedio di torrenzialità delimitato superiormente da K ₁ = 1.150 e K ₂ = 0,014 e inferiormente da K ₁ =540 e K ₂ =0,008 | GS _{inf} | K1 _{inf} = 540 K2 _{inf} = 0,008 | 14.578,68 |
| | | | | | GS _{sup} | K1 _{sup} = 1150 K2 _{sup} = 0,014 | 31.047,18 |
| Rickenmann e Zimmermann (1993) (circa 80 debris flow verificatesi nell'estate del 1987 in Svizzera) | $G_s = L_c(6,4S-23)$ | (m ³) | Valida per 7% < S < 15% | | S= 0,00 | 1.450,37 | |
| | $G_s = L_c(110-2,50S)$ | | Valida per 5% < S < 40% | | LC _{min} = 50,00 LC _{medio} = 868,50 LC _{max} = 1687,00 S= 32,40 | 25.192,88 48.935,39 | |
| Hampel (1997) (Austria) | $G_s = 150A(S-3)^{2,3}$ | (m ³) | | | | 97.015,78 | |
| Ceriani et alii (2000) (97 conoidi delle principali valli lombarde) | $M = k(A)^a (Me)^b (ScI)^c (IF)^d$ | (m ³) | M è la magnitudo in 10 ³ m ³ a=1; b=0,8; c=1; d=2 Costanti ricavate dall'analisi statistica Me = numero di Melton | K=3 per debris flow associato a bed load o debris flood oppure per debris flood associato a bed load k= 5,4 per debris flow I.F. è l'indice di frana(*) | (*)I.F. | | 230.410,17 |
| | | | | | 1 | se sono presenti frane rilevanti che interagiscono col reticolo idrografico | |
| | | | | | 2 | se non sono presenti frane rilevanti che interagiscono col reticolo idrografico | |
| | | | | | 3 | se non sono presenti frane significanti nel bacino | |
| | | | | | I.F. 3 | | |
| Melton | $(H_{max} - H_{min})A^{-0.5}$ | | H _{max} /min quote max e minime del bacino | se Me > 0.5 il bacino è a rischio di Debris Flow | | 0,55 | |

BACINO: Rio Comba Ciampiano (BPar.2+3)

| Autore | Formula | | | | | Scelta dei coefficienti | Risultato (m ³) | | |
|--|--|--|--|--|--|--------------------------------------|-----------------------------|------------------|----------------|
| D'Agostino (1996) (62 Dati relativi a bacini del Trentino Orientale) | $G_s = 39 A(IG)^{1.5} I.T.^{-0.3}$ (m ³) | A espressa in km ² IG Indice geologico in grado di descrivere la maggiore o minore propensione del bacino a produrre materiale(*) | I.T. Indice di torrenzialità che vale 1 nel caso di Debris Flow 2 nel caso di Dbris Flood 3 nel caso di Bed Load serve per tener conto della decrescente quantità di materiale solido della corrente | (*)Classe litologica | | IG= 4,5 I.T.= 3 | 101.988,17 | | |
| | | | | Copertura morenica, alluvionale e di falda | | | | Punteggio | 5 |
| | | | | Rocce metamorfiche:Filliadi, Gneiss... | | | | | 4 |
| | | | | Rocce terrigene: Marnee, strati di Werfen | | | | | 3 |
| | | | | Rocce Laviche degradate, tufi basaltici, breccie | | | | | 2 |
| | | | | Rocce Calcaree | | | | | 1 |
| Rocce Porfiche, granitiche, dioritiche | | | 0 | | | | | | |
| Tropeano e Turconi (1996) (48 Dati relativi ad Alpi Italiane centro-Occidentali) | $V = (AE r h(n+/-1)e^f tgs) / 1000$ (m ³) | V Volume totale di detrito mobilizzabile in occasione di un evento parossistico AE Area effettiva del bacino tgs pendenza media del bacino | r è la percentuale tra la copertura areale del materiale immediatamente suscettibile al moto e l'area effettiva del bacino h è lo spessore medio dei detriti che possono essere rilasciati n è un coefficiente che esprime il potenziale di detrito disponibile al rilascio in tempi più lunghi, rapportato ad AE variabile da 0 a 10 f è il fattore di frequenza in relazione al numero estrapolato di eventi che si sono verificati in un intervallo standard di 100 anni | | | r= 0,05 h= 0,8 n= 4 f= 0,07 | 41.589,71 | | |
| Bianco (1999) Bianco e Franzi (2000) (149 Dati Italiani e Francesi) | $(G_s/A)_{max/min} = 14.000 i^{(1.5)} IG^{(1+0,1IG)} +/- 13.000 A^{-0,4}$ (m ³) | E' un valido strumento per fornire con sufficiente affidabilità l'ordine di grandezza del volume solido rilasciato in zona di conoide (Gs) a seguito di un evento di debris-flow, | ma bisogna ricordare che la presenza di fattori antropici o altre condizioni particolari possono determinare valori di volumi solidi più elevati di quelli calcolati. | | | IG= 4,5 | Risultato non valido | | |
| | | | | | | | IG= 4,5 | 99.642,89 | |
| Yazawa e Mizuyawa (1993) | $V = NaAVr$ (m ³) | Na Fattore correttivo che tiene conto dell'incremento solido specifico al diminuire dell'area del bacino (varia da 0.5 per A=10 kmq a 3.0 per A=0.1 kmq) | Vr Valore di riferimento del volume specifico di solidi per unità di area (dipendente dal contesto litologico (*)) | (*)Contesto litologico | | Vr= 30000 Na= 1,6 | 271.418,18 | | |
| | | | | Zone Granitiche | | | | Vr | 50.000 |
| | | | | Zone Vulcaniche | | | | | 80.000 |
| | | | | Zone con formazioni terziarie | | | | | 40.000 |
| | | | | Zone fortemente dissestate | | | | | 100.000 |
| | | | | Altre zone | | | | | 30.000 |

BACINO: Rio Comba Ciampiano (BPar.2+3)
Valutazione qualitativa del pericolo da colata (M.LL.PP. GIAPPONESE)

| | |
|--------------|--|
| Indicatore 1 | J = pendenza asta S = area del bacino |
| A1 | J > 15° S > 0.05 km ² |
| A2 | J > 15° S < 0.05 km ² |
| B | 10° < J < 15° |
| C | J < 10° |

| | |
|--------------|--|
| Indicatore 2 | D = Valore medio degli spessori massimi dei depositi nelle sezioni dell'asta con q > 10° |
| a | D > 2 m |
| b | 0.3 m < D < 2 m |
| c | D < 0.3 m |

| Indicatore 1 | Indicatore 2 | PERICOLO |
|--------------|--------------|----------|
| A1 | a,b | ALTO |
| A2 | a | |
| A1 | c | |
| A2 | b,c | MEDIO |
| B | a,b | |
| B | c | BASSO |

BACINO:Rio Comba Ciampiano (BPar.2+3)**Classificazione della PERICOLOSITA' da esondazione nei conoidi secondo AULITZKY (1973)**

| Osservazioni e domande | Punti | |
|---|-------|---|
| 1- Dimensione massima del materiale trasportato o eroso di recente: | | |
| - 1mc ed oltre | 0 | 4 |
| - Tra 0.2 e1 mc | 0 | 3 |
| - Tra 0.2 e 0.01 mc | 2 | 2 |
| - Inferiore a 0.01 mc | 0 | 1 |
| 2- Massimo spessore del singolo strato dei depositi riconoscibili, | | |
| - 1 m e oltre | 0 | 4 |
| - Da 0.5 fino a 1 m | 0 | 3 |
| - Da 0.1 fino a 0.5 m | 0 | 2 |
| - Meno di 0.1 m | 0 | 1 |
| 3- Pendenza del cono di deiezione | | |
| - Superiore al 15% | 0 | 4 |
| - Tra 7 e 15 % | 3 | 3 |
| - Tra 2 e 7 % | 0 | 2 |
| - Infeiore al 2 % | 0 | 1 |
| 4- Attuale copertura vegetale predominante | | |
| - Vegetazione in prevalenza rustica, consorzi ontano-salice su un substrato grossolano, sassoso, fino ad una successione di specie di origine anemofila con larici , pini ed abeti | 0 | 4 |
| - Successione già evoluta, progredita fino a formazione coetanee formate da larici, pini, betulle ed abeti, su substrato grossolano e sassoso | 3 | 3 |
| - Prati e pascoli, tavolta intercalati da muretti di sassi o da terrazzamenti formati da sassi lavorati; terreno misto con piccoli sassi nel terreno | 0 | 2 |
| - Prevalgono i campi senza muretti di sassi o i terrazzamenti formati da sassi lavorati pochi i piccoli sassi nel terreno | 0 | 1 |
| 5- Morfologia del terreno in relazione all'erosione: | | |
| - Alla sommità del conoide la dorsale presenta una solcatura prodotta dall'erosione di grossi massi, che classifica queste aree tra quelle già colpite o con possibilità di colata concentrata e compatta ad alta velocità | 0 | 4 |
| - Sono presenti poche forme di deposito circoscritte, che sono state disseminate dalla dilagante colata, oppure che sono sommerse in occasione dell'ulteriore dilagare della colata stessa | 0 | 3 |
| - Superfici chiaramente sopraelevate, pensili rispetto al livello del torrente, che potrebbero essere colpite solo in caso di una progressiva ostruzione dell'alveo normale. | 2 | 2 |
| - Superfici fortemente sopraelevate rispetto al letto del torrente profondamente incassato, che non possono più essere raggiunte dal torrente, ma in cui i punti di collegamento tra le due sponde possono essere ancora portati via. | 0 | 1 |
| 6- Condizioni di deflusso | | |
| - Area contraddistinta dalla presenza di manufatti che impediscono fortemente il deflusso o altri ostacoli al deflusso, a monte, a valle o a lato della zona in esame (pendenza < 3 %, curve strette, sezione ristretta) che in presenza di maggiore materiale trascinato dall'acqua possono provocare tracimazioni. | 0 | 4 |
| - Area contraddistinta da analoghe situazioni, in cui solo legname trascinato materiale depositato grossolano provocherebbe tracimazioni. | 3 | 3 |
| - Area contraddistinta dalla mancanza di opere che ostacolano o facilitano il deflusso, in presenza di un alveo abbastanza profondo e non troppo piano e di una sufficiente capacità di deflusso. | 0 | 2 |
| - Area contraddistinta dalla presenza di tipi di opere facilitanti il deflusso lungo il corso inferiore, in grado di contenere anche le portate di piena prevedibile | 0 | 1 |

Classificazione della **PERICOLOSITA'** da esondazione nei conoidi secondo **AULITZKY** (1973)

| | |
|-----------------------|-------------|
| Pericolosità | |
| Bassa < 1.6 | 0,00 |
| Media 1.6-2.6 | 2,60 |
| Alta >2.6 | 0,00 |

Bacino: Rio Comba Agrevo C02 (B.Par.5+6+7)

Dati geometrici:

| AREA : | | | |
|-----------------------------------|----------------------|---|-------------------------|
| Area del bacino | A_{bacino} | = | 7,76 [km ²] |
| Area della conoide | A_{conoide} | = | 0,36 [km ²] |
| Area effettiva (Tropeano-Turconi) | A_{eff} | = | 8,12 [km ²] |

| QUOTA : | | | |
|---------------------------------|----------------------|---|-------------|
| Quota max | H_{max} | = | 2159,00 [m] |
| Quota min (apice del conoide) | H_{min} | = | 780,00 [m] |
| Quota confluenza | $H_{\text{confl.}}$ | = | 662,00 [m] |
| Quota massima (asta principale) | H_{maxasta} | = | 2000,00 [m] |

| DISLIVELLO : | | | |
|----------------------------|-----------------------|---|-------------|
| Asta principale nel bacino | DH_{asta} | = | 1220,00 [m] |
| Asta nel conoide | DH_{conoide} | = | 100,00 [m] |

| LUNGHEZZA : | | | |
|---|------------------------|---|-------------|
| Lunghezza asta (bacino 1) | L_{bacino1} | = | 5590,00 [m] |
| Lunghezza asta (bacino 2) | L_{bacino2} | = | [m] |
| Lunghezza asta (conoide) | L_{conoide} | = | 870,00 [m] |
| Lunghezza attiva del canale, ossia il tratto interessato realmente dalla colata | | | |
| Lunghezza massima | $L_{\text{attivamax}}$ | = | 870,00 [m] |
| Lunghezza minima | $L_{\text{attivamin}}$ | = | 50,00 [m] |

| PENDENZA : | | | |
|-------------------------------------|----------------------------|---|-----------|
| Pendenza asta principale del bacino | i_{bacino} | = | 25,85 [%] |
| Pendenza asta del conoide | i_{conoide} | = | 12,20 [%] |
| Pendenza media del conoide | im_{conoide} | = | 5,65 [%] |
| Pendenza media del bacino | im_{bacino} | = | 31,02 [%] |
| Pendenza apice conoide | $i_{\text{conoide-apice}}$ | = | 10,00 [%] |

BACINO: Rio Comba Agrevo C02 (B.Par.5+6+7)

| Autore | Formula | | | | Scelta dei coefficienti | Risultato (m ³) | |
|---|-------------------------------|-------------------|---|---|---|---|------------------|
| Takei (552 Dati Raccolti in Giappone tra il 1972 e 1977) | $G_s = c * 13.600 * A^{0.61}$ | (m ³) | c fattore correttivo legato alla probabilità dell'evento: vale 1 per la linea di regressione, 8,38 per una probabilità di superamento del 5% | | c = 1 | 47.462,93 | |
| Bottino e Crivellari (1996) (6 valori misurati in occasione di eventi verificatisi nella zona di Ivrea) | $G_s = 21.241 * A^{0.28}$ | (m ³) | | | | 37.699,56 | |
| Marchi e Tecca (1996) | $G_s = 70.000 * A$ | (m ³) | | | | 543.200,00 | |
| Van Dine (1985-1996) | $G_s = 10.000 * A$ | (m ³) | | | | 77.600,00 | |
| Kronfellner e Kraus (1984-1985) | $G_s = (K_1 e^{-K_2 A}) A_i$ | (m ³) | A espressa in km2 | $K_1 e^{-K_2 A}$ è indicato come fattore di torrezialità determinato dalle due costanti K_1 e K_2 dipendenti dall'area morfologica-climatica alla quale appartiene il bacino. Gli autori dividono il territorio Austriaco in quattro zone omogenee e per ognuna di esse | $G_{s_{inf}}$ | $K_{1_{inf}} = 540$ $K_{2_{inf}} = 0,008$ | 13.253,34 |
| | | | | | $G_{s_{sup}}$ | $K_{1_{sup}} = 1150$ $K_{2_{sup}} = 0,014$ | 27.149,67 |
| Rickenmann e Zimmermann (1993) (circa 80 debris flow verificatisi nell'estate del 1987 in Svizzera) | $G_s = L_c(6,4S-23)$ | (m ³) | Valida per 7% < S < 15% | | S = 0,00 | 4.793,75 | |
| | $G_s = L_c(110-2,50S)$ | | Valida per 5% < S < 40% | | $L_{c_{min}} = 50,00$ $L_{c_{medio}} = 460,00$ $L_{c_{max}} = 870,00$ S = 7,33 | 44.102,50 83.411,25 | |
| Hampel (1997) (Austria) | $G_s = 150A(S-3)^{2,3}$ | (m ³) | | | | 191.718,92 | |

BACINO: Rio Comba Agrevo CO2 (B.Par.5+6+7)

| Autore | Formula | | | | Scelta dei coefficienti | Risultato (m ³) | | |
|--|---|---|--|---|---|-----------------------------|-------------------|----------|
| Ceriani et alii (2000) (97 conoidi delle principali valli lombarde) | $M=k(A)^a(Me)^b(Sc)^c(IF)^d$ (m ³) | M è la magnitudo in 10 ³ m ³ a=1; b=0,8; c=1; d=2 Costanti ricavate dall'analisi statistica Me = numero di Melton | K=3 per debris flow associato a bed load o debris flood oppure per debris flood associato a bed load k= 5,4 per debris flow I.F. è l'indice di frana(*) | (*)I.F. | | k= 5,4 I.F. 3 | 323.652,92 | |
| | | | | 1 | se sono presenti frane rilevanti che interagiscono col reticolo idrografico | | | |
| | | | | 2 | se non sono presenti frane rilevanti che interagiscono col reticolo idrografico | | | |
| | | | | 3 | se non sono presenti frane significanti nel bacino | | | |
| Melton | $(H_{max}-H_{min})A^{0.5}$ | Hmax/min quote max e minime del bacino | se Me >0.5 il bacino è a rischio di Debris Flow | | | 0,50 | | |
| D'Agostino (1996) (62 Dati relativi a bacini del Trentino Orientale) | $G_s=39 A(IG)^{1.5}I.T.^{-0.3}$ (m ³) | A espressa in km ² IG Indice geologico in grado di descrivere la maggiore o minore propensione del bacino a produrre materiale(*) I.T. Indice di torrenzialità che vale 1 nel caso di Debris Flow 2 nel caso di Dbris Flood 3 nel caso di Bed Load serve per tener conto della decrescente quantità di materiale solido della corrente | (*)Classe litologica | Punteggio | | IG= 4,5 I.T.= 3 | 128.715,02 | |
| | | | | Copertura morenica, alluvionale e di falda | | | | 5 |
| | | | | Rocce metamorfiche:Filliadi, Gneiss... | | | | 4 |
| | | | | Rocce terrigene: Marnee, strati di Werfen | | | | 3 |
| | | | | Rocce Laviche degradate, tufi basaltici, brecce | | | | 2 |
| | | | | Rocce Calcaree | | | | 1 |
| | | | | Rocce Porfiche, granitiche, dioritiche | | | | 0 |
| Tropeano e Turconi (1996) (48 Dati relativi ad Alpi Italiane centro-Occidentali) | $V=(AE r h(n+/-1)e^f tgs)/1000$ (m ³) | V Volume totale di detrito mobilizzabile in occasione di un evento parossistico AE Area effettiva del bacino tgs pendenza media del bacino | r è la percentuale tra la copertura areale del materiale immediatamente suscettibile al moto e l'area effettiva del bacino h è lo spessore medio dei detriti che possono essere rilasciati n è un coefficiente che esprime il potenziale di detrito disponibile | | r= 0,05 h= 0,8 n= 1 f= 0,07 | 21.372,33 | | |
| Bianco (1999) Bianco e Franzi (2000) (149 Dati Italiani e Francesi) | $(G_s/A)_{max/min} = 14.000 i^{1.5} IG^{(1+0,11G)} +/- 13.000A^{-0,4}$ (m ³) | E' un valido strumento per fornire con sufficiente affidabilità l'ordine di grandezza del volume solido rilasciato in zona di conoide (Gs) a seguito di un evento di debris-flow, | ma bisogna ricordare che la presenza di fattori antropici o altre condizioni particolari possono determinare valori di volumi solidi più elevati di quelli calcolati. | G _s min | IG= 4,5 | Risultato non valido | | |
| | | | | G _s max | IG= 4,5 | 123.989,36 | | |
| Yazawa e Mizuyawa (1993) | $V=NaAVr$ (m ³) | Na Fattore correttivo che tiene conto dell'incremento solido specifico al diminuire dell'area del bacino (varia da 0.5 per A=10 kmq a 3.0 per A=0.1 kmq) | Vr Valore di riferimento del volume specifico di solidi per unità di area (dipendente dal contesto litologico *) | (*)Contesto litologico | | Vr= 30000 Na= 1,1 | 248.084,85 | |
| Zone Granitiche | | 50.000 | | | | | | |
| Zone Vulcaniche | | 80.000 | | | | | | |
| Zone con formazioni terziarie | | 40.000 | | | | | | |
| Zone fortemente dissestate | | 100.000 | | | | | | |
| Altre zone | | 30.000 | | | | | | |

Bacino: Rio Comba Agrevo C03 (B.Par.5+6+7)

Dati geometrici:

| AREA : | | | |
|-----------------------------------|----------------------|---|-------------------------|
| Area del bacino | A_{bacino} | = | 7,76 [km ²] |
| Area della conoide | A_{conoide} | = | 0,05 [km ²] |
| Area effettiva (Tropeano-Turconi) | A_{eff} | = | 8,10 [km ²] |

| QUOTA : | | | |
|---------------------------------|----------------------|---|-------------|
| Quota max | H_{max} | = | 2159,00 [m] |
| Quota min (apice del conoide) | H_{min} | = | 680,00 [m] |
| Quota confluenza | $H_{\text{confl.}}$ | = | 662,00 [m] |
| Quota massima (asta principale) | H_{maxasta} | = | 2000,00 [m] |

| DISLIVELLO : | | | |
|----------------------------|-----------------------|---|-------------|
| Asta principale nel bacino | DH_{asta} | = | 1220,00 [m] |
| Asta nel conoide | DH_{conoide} | = | 40,00 [m] |

| LUNGHEZZA : | | | |
|---|------------------------|---|-------------|
| Lunghezza asta (bacino 1) | L_{bacino1} | = | 5590,00 [m] |
| Lunghezza asta (bacino 2) | L_{bacino2} | = | [m] |
| Lunghezza asta (conoide) | L_{conoide} | = | 277,00 [m] |
| Lunghezza attiva del canale, ossia il tratto interessato realmente dalla colata | | | |
| Lunghezza massima | $L_{\text{attivamax}}$ | = | 277,00 [m] |
| Lunghezza minima | $L_{\text{attivamin}}$ | = | 50,00 [m] |

| PENDENZA : | | | |
|-------------------------------------|----------------------------|---|-----------|
| Pendenza asta principale del bacino | i_{bacino} | = | 24,84 [%] |
| Pendenza asta del conoide | i_{conoide} | = | 12,20 [%] |
| Pendenza media del conoide | im_{conoide} | = | 7,33 [%] |
| Pendenza media del bacino | im_{bacino} | = | 29,81 [%] |
| Pendenza apice conoide | $i_{\text{conoide-apice}}$ | = | 12,80 [%] |

BACINO: Rio Comba Agrevo C03 (B.Par.5+6+7)

| Autore | Formula | | | | Scelta dei coefficienti | Risultato (m ³) | |
|---|-------------------------------|-------------------|---|---|--|---|------------------|
| Takei (552 Dati Raccolti in Giappone tra il 1972 e 1977) | $G_s = c * 13.600 * A^{0.61}$ | (m ³) | c fattore correttivo legato alla probabilità dell'evento: vale 1 per la linea di regressione, 8,38 per una probabilità di superamento del 5% | | c= 1 | 47.462,93 | |
| Bottino e Crivellari (1996) (6 valori misurati in occasione di eventi varificatesi nella zona di Ivrea) | $G_s = 21.241 * A^{0.28}$ | (m ³) | | | | 37.699,56 | |
| Marchi e Tecca (1996) | $G_s = 70.000 * A$ | (m ³) | | | | 543.200,00 | |
| Van Dine (1985-1996) | $G_s = 10.000 * A$ | (m ³) | | | | 77.600,00 | |
| Kronfellner e Kraus (1984-1985) | $G_s = (K_1 e^{-K_2 A}) A_i$ | (m ³) | A espressa in km2 | $K_1 e^{-K_2 A}$ è indicato come fattore di torrezialità determinato dalle due costanti K_1 e K_2 dipendenti dall'area morfologica-climatica alla quale appartiene il bacino. Gli autori dividono il territorio Austriaco in quattro zone omogenee e per ognuna di esse forniscono i valori dei due parametri; tuttavia riscontrano, in una ulteriore verifica compiuta su 333 eventi di piena, che i 2/3 delle alluvioni osservate ricadono in un campo intermedio di torrenzialità delimitato superiormente da $K_1 = 1.150$ e $K_2 = 0,014$ e inferiormente da $K_1 = 540$ e $K_2 = 0,008$ | $G_{s_{inf}}$ | $K_{1_{inf}} = 540$ $K_{2_{inf}} = 0,008$ | 12.739,18 |
| | | | | | $G_{s_{sup}}$ | $K_{1_{sup}} = 1150$ $K_{2_{sup}} = 0,014$ | 26.096,41 |
| Rickenmann e Zimmermann (1993) (circa 80 debris flow verificatisi nell'estate del 1987 in Svizzera) | $G_s = L_c(6,4S-23)$ | (m ³) | Valida per 7% < S < 15% | | S= 7,33 | 1.195,60 | |
| | $G_s = L_c(110-2,50S)$ | | Valida per 5% < S < 40% | | $L_{c_{min}} = 50,00$ $L_{c_{medio}} = 163,50$ $L_{c_{max}} = 277,00$ S= 0,00 | 3.909,61 6.623,62 | |
| Hampel (1997) (Austria) | $G_s = 150A(S-3)^{2,3}$ | (m ³) | | | | 191.718,92 | |

BACINO: Rio Comba Agrevo C03 (B.Par.5+6+7)

| Autore | Formula | | | | Scelta dei coefficienti | Risultato (m ³) | | |
|--|--|---|--|---|---|-----------------------------|-------------------|----------------|
| Ceriani et alii (2000) (97 conoidi delle principali valli lombarde) | $M=k(A)^a(Me)^b(Sc)^c(IF)^d$ (m ³) | M è la magnitudo in 10 ³ m ³ a=1; b=0,8; c=1; d=2 Costanti ricavate dall'analisi statistica Me = numero di Melton | K=3 per debris flow associato a bed load o debris flood oppure per debris flood associato a bed load k= 5,4 per debris flow I.F. è l'indice di frana(*) | (*)I.F. | | k= 5,4 I.F. 3 | 342.296,65 | |
| | | | | 1 | se sono presenti frane rilevanti che interagiscono col reticolo idrografico | | | |
| | | | | 2 | se non sono presenti frane rilevanti che interagiscono col reticolo idrografico | | | |
| | | | | 3 | se non sono presenti frane significanti nel bacino | | | |
| Melton | $(H_{max}-H_{min})A^{0.5}$ | Hmax/min quote max e minime del bacino | se Me >0.5 il bacino è a rischio di Debris Flow | | | 0,53 | | |
| D'Agostino (1996) (62 Dati relativi a bacini del Trentino Orientale) | $G_s=39 A(IG)^{1.5}I.T.^{-0.3}$ (m ³) | A espressa in km ² IG Indice geologico in grado di descrivere la maggiore o minore propensione del bacino a produrre materiale(*) serve per tener conto della decrescente quantità di materiale solido della corrente | I.T. Indice di torrenzialità che vale 1 nel caso di Debris Flow 2 nel caso di Dbris Flood 3 nel caso di Bed Load | (*)Classe litologica | | IG= 4,5 I.T.= 1 | 168.651,42 | |
| | | | | Punteggio | | | | |
| | | | | Copertura morenica, alluvionale e di falda | | | | 5 |
| | | | | Rocce metamorfiche:Filliadi, Gneiss... | | | | 4 |
| | | | | Rocce terrigene: Marnee, strati di Werfen | | | | 3 |
| | | | | Rocce Laviche degradate, tufi basaltici, brecce | | | | 2 |
| | | | | Rocce Calcaree | | | | 1 |
| Rocce Porfiche, granitiche, dioritiche | | 0 | | | | | | |
| Tropeano e Turconi (1996) (48 Dati relativi ad Alpi Italiane centro-Occidentali) | $V=(AE r h(n+/-1)e^f tgs)/1000$ (m ³) | V Volume totale di detrito mobilizzabile in occasione di un evento parossistico AE Area effettiva del bacino tgs pendenza media del bacino | r è la percentuale tra la copertura areale del materiale immediatamente suscettibile al moto e l'area effettiva del bacino h è lo spessore medio dei detriti che possono essere rilasciati n è un coefficiente che esprime il potenziale di detrito disponibile al rilascio in tempi più lunghi, rapportato ad AE variabile da 0 a 10 f è il fattore di frequenza in relazione al numero estrapolato di eventi che si sono verificati in un intervallo standard di 100 anni | | r= 0,05 h= 1 n= 4 f= 0,05 | 62.924,38 | | |
| | | | | | | | | |
| Bianco (1999) Bianco e Franzi (2000) (149 Dati Italiani e Francesi) | $(G_s/A)_{max/min} = 14.000 i^{1.5} IG^{(1+0,11G)} +/- 13.000A^{-0,4}$ (m ³) | E' un valido strumento per fornire con sufficiente affidabilità l'ordine di grandezza del volume solido rilasciato in zona di conoide (Gs) a seguito di un evento di debris-flow, | ma bisogna ricordare che la presenza di fattori antropici o altre condizioni particolari possono determinare valori di volumi solidi più elevati di quelli calcolati. | GS _{min} | IG= 4,5 | Risultato non valido | | |
| | | | | GS _{max} | IG= 4,5 | 122.576,50 | | |
| Yazawa e Mizuyawa (1993) | $V=NaAVr$ (m ³) | Na Fattore correttivo che tiene conto dell'incremento solido specifico al diminuire dell'area del bacino (varia da 0.5 per A=10 kmq a 3.0 per A=0.1 kmq) | Vr Valore di riferimento del volume specifico di solidi per unità di area (dipendente dal contesto litologico *) | (*)Contesto litologico | | Vr= 30000 Na= 1,1 | 248.084,85 | |
| | | | | Zone Granitiche | | | | 50.000 |
| | | | | Zone Vulcaniche | | | | 80.000 |
| | | | | Zone con formazioni terziarie | | | | 40.000 |
| | | | | Zone fortemente dissestate | | | | 100.000 |
| | | | | Altre zone | | | | 30.000 |

BACINO: Rio Comba Agrevo (B.Par.5+6+7)
Valutazione qualitativa del pericolo da colata (M.LL.PP. GIAPPONESE)

| | |
|--------------|--|
| Indicatore 1 | J = pendenza asta S = area del bacino |
| A1 | J > 15° S > 0.05 km ² |
| A2 | J > 15° S < 0.05 km ² |
| B | 10° < J < 15° |
| C | J < 10° |

| | |
|--------------|--|
| Indicatore 2 | D = Valore medio degli spessori massimi dei depositi nelle sezioni dell'asta con q > 10° |
| a | D > 2 m |
| b | 0.3 m < D < 2 m |
| c | D < 0.3 m |

| Indicatore 1 | Indicatore 2 | PERICOLO |
|--------------|--------------|----------|
| A1 | a,b | ALTO |
| A2 | a | |
| A1 | c | MEDIO |
| A2 | b,c | |
| B | a,b | |
| B | c | BASSO |

BACINO: Rio Comba Agrevo (B.Par.5+6+7)**Classificazione della PERICOLOSITA' da esondazione nei conoidi secondo AULITZKY (1973)**

| Osservazioni e domande | Punti | |
|---|-------|---|
| 1- Dimensione massima del materiale trasportato o eroso di recente: | | |
| - 1mc ed oltre | 0 | 4 |
| - Tra 0.2 e1 mc | 3 | 3 |
| - Tra 0.2 e 0.01 mc | 0 | 2 |
| - Inferiore a 0.01 mc | 0 | 1 |
| 2- Massimo spessore del singolo strato dei depositi riconoscibili, | | |
| - 1 m e oltre | 0 | 4 |
| - Da 0.5 fino a 1 m | 0 | 3 |
| - Da 0.1 fino a 0.5 m | 0 | 2 |
| - Meno di 0.1 m | 0 | 1 |
| 3- Pendenza del cono di deiezione | | |
| - Superiore al 15% | 0 | 4 |
| - Tra 7 e 15 % | 3 | 3 |
| - Tra 2 e 7 % | 0 | 2 |
| - Infeiore al 2 % | 0 | 1 |
| 4- Attuale copertura vegetale predominante | | |
| - Vegetazione in prevalenza rustica, consorzi ontano-salice su un substrato grossolano, sassoso, fino ad una successione di specie di origine anemofila con larici , pini ed abeti | 0 | 4 |
| - Successione già evoluta, progredita fino a formazione coetanee formate da larici, pini, betulle ed abeti, su substrato grossolano e sassoso | 3 | 3 |
| - Prati e pascoli, tavolta intercalati da muretti di sassi o da terrazzamenti formati da sassi lavorati; terreno misto con piccoli sassi nel terreno | 0 | 2 |
| - Prevalgono i campi senza muretti di sassi o i terrazzamenti formati da sassi lavorati pochi i piccoli sassi nel terreno | 0 | 1 |
| 5- Morfologia del terreno in relazione all'erosione: | | |
| - Alla sommità del conoide la dorsale presenta una solcatura prodotta dall'erosione di grossi massi, che classifica queste aree tra quelle già colpite o con possibilità di colata concentrata e compatta ad alta velocità | 0 | 4 |
| - Sono presenti poche forme di deposito circoscritte, che sono state disseminate dalla dilagante colata, oppure che sono sommerse in occasione dell'ulteriore dilagare della colata stessa | 0 | 3 |
| - Superfici chiaramente sopraelevate, pensili rispetto al livello del torrente, che potrebbero essere colpite solo in caso di una progressiva ostruzione dell'alveo normale. | 2 | 2 |
| - Superfici fortemente sopraelevate rispetto al letto del torrente profondamente incassato, che non possono più essere raggiunte dal torrente, ma in cui i punti di collegamento tra le due sponde possono essere ancora portati via. | 0 | 1 |
| 6- Condizioni di deflusso | | |
| - Area contraddistinta dalla presenza di manufatti che impediscono fortemente il deflusso o altri ostacoli al deflusso, a monte, a valle o a lato della zona in esame (pendenza < 3 %, curve strette, sezione ristretta) che in presenza di maggiore materiale trascinato dall'acqua possono provocare tracimazioni. | 0 | 4 |
| - Area contraddistinta da analoghe situazioni, in cui solo legname trascinato materiale depositato grossolano provocherebbe tracimazioni. | 3 | 3 |
| - Area contraddistinta dalla mancanza di opere che ostacolano o facilitano il deflusso, in presenza di un alveo abbastanza profondo e non troppo piano e di una sufficiente capacità di deflusso. | 0 | 2 |
| - Area contraddistinta dalla presenza di tipi di opere facilitanti il deflusso lungo il corso inferiore, in grado di contenere anche le portate di piena prevedibile | 0 | 1 |

Classificazione della **PERICOLOSITA'** da esondazione nei conoidi secondo **AULITZKY** (1973)

Pericolosità
Bassa < 1.6
Media 1.6-2.6
Alta >2.6

0,00
0,00
2,80